

5.2009

РАДИО

АУДИО • ВИДЕО • СВЯЗЬ • ЭЛЕКТРОНИКА • КОМПЬЮТЕРЫ

ЗОЛОТОЙ
ФОНД
ПРЕССЫ
ММХ

история радиосвязи

HISTORY OF RADIO COMMUNICATION

ЛЕТОПИСЬ
ЖИЗНИ И ДЕЯТЕЛЬНОСТИ
АЛЕКСАНДРА
СТЕПАНОВИЧА
ПОПОВА



7 МАЯ

День радио

САНКТ-ПЕТЕРБУРГСКИЙ ГОСУДАРСТВЕННЫЙ
ЭЛЕКТРОТЕХНИЧЕСКИЙ УНИВЕРСИТЕТ «ЛЭТИ»
Из истории изобретения
и начального периода
развития радиосвязи



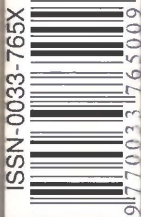
Сборник документов и материалов

Санкт-Петербург
2008

- Резонатор Гельмгольца в громкоговорителе
- Малогабаритный источник питания
- Редактор изображений для графических индикаторов
- Генератор коллоидного серебра

...и еще 22 конструкции

5
2009



2 мая – День Победы Великая Отечественная...



«Ленд-лизовская аппаратура» (передатчик BC-610 и приемник AR-88-F) на любительской радиостанции Эрнста Теодоровича Кренкеля (RAEM).

Wireless Set No. 48 Mk I — общевойсковая ранцевая КВ радиостанция. Американский вариант английской радиостанции Wireless Set No. 18, выпускавшийся для поставок по ленд-лизу. Диапазон частот: 6...9 МГц. Виды работы — ТЛГ и АМ. Выходная мощность 0,25 Вт. Питание от сухих батарей или 10-ваттного ручного генератора.

СРЕДСТВА СВЯЗИ ПО ЛЕНД-ЛИЗУ

for RED ARMY ally

«Ленд-лиз — система, по которой Соединенные Штаты Америки помогали своим союзникам по Второй мировой войне военными материалами, включая боеприпасы, танки, самолеты, грузовики, а также продовольствие и сырье... Конгресс Соединенных Штатов Америки принял Закон о ленд-лизе в марте 1941 года. Этот закон давал президенту США право помогать любой стране, чью оборону он сочтет жизненно важной для Соединенных Штатов... Хотя ленд-лиз в первую очередь был введен с целью помочь Великобритании и странам Британского Содружества, он был распространен на Китай в апреле и на Советский Союз — в сентябре».

Новая Британская Энциклопедия, 1994, том 7



AR-88-F — всеволновый приемник AR-88 в стойном исполнении из комплекта DR-89 для разнесенного приема. Использовались три идентичных приемника, работавших на три разные антенны. Диапазон частот 0,54...32 МГц. Виды работы — ТЛГ и АМ. Питание от сети переменного тока.



V-100-B — переносная общевойсковая КВ радиостанция. Диапазон частот 3...7 МГц. Передатчик имел также четыре фиксированные частоты, стабилизированные кварцем. Виды работы — ТЛГ и АМ. Выходная мощность в режиме ТЛГ — 15 Вт, в режиме АМ — 5 Вт. Все надписи на передней панели выполнены на русском языке.



BC-312-NX — общевойсковой КВ приемник. Диапазон частот 1,5...18 МГц, виды работы — ТЛГ и АМ, кварцевый фильтр. Входил в состав мобильных комплектов SCR-399 и SCR-499, которые поставлялись в СССР по ленд-лизу.



Wireless Set No. 19 Mk II — танковая и общевойсковая КВ и УКВ радиостанция. Диапазоны частот: КВ 2...8 МГц (два поддиапазона) для дальней связи со штабами и УКВ 229...241 МГц для ближней связи между танками. Виды работы — ТЛГ и АМ. Выходная мощность до 5 Вт (на КВ телеграфом) и 0,4 Вт (УКВ).

КОНТРОЛЬНО-ИЗМЕРИТЕЛЬНЫЕ ПРИБОРЫ РАДИОМОНТАЖНОЕ ОБОРУДОВАНИЕ ПРОМЫШЛЕННАЯ МЕБЕЛЬ

AM-3001

АСК-2034/2067

АСК-2028

AM-3005

AM-3002
AM-3004

ATH-3333
ATH-3335

ATH-1333
ATH-1335

ОБО ВСЕХ МОДЕЛЯХ
И ПОДРОБНЕЕ НА
www.aktakom.ru

AM-1016

AM-1019

AM-1038

AM-1109

AM-1198

AM-1089

AM-1193

AM-1061

AM-1006

AM-1092

AM-1069

ЦИФРОВЫЕ МУЛЬТИМЕТРЫ
подробнее на www.aktakom.ru

АКТАКОМ® AM-1109/AM-1089/AM-1060
AM-1061/AM-1069

Параметры	AM-1109	AM-1089	AM-1060/ AM-1061	AM-1069
Постоянное напряжение	1 мкВ...1000 В	0,1 мВ...1000 В	0,1 мВ...1000 В	100 мкВ...1000 В
Переменное напряжение	1 мкВ...1000 В	0,1 мВ...750 В	0,1 мВ...1000 В	100 мкВ...750 В
Постоянный ток	10 нА...10 А	1 мкА...10 А	0,1 мкА...10 А	0,1 мкА...10 А
Переменный ток	10 нА...10 А	1 мкА...10 А	0,1 мкА...10 А	0,1 мкА...10 А
Сопротивление	0,01 Ом...40 МОм	0,1 кОм...50 МОм	0,1 Ом...40 МОм	0,1 Ом...40 МОм
Емкость	10 пФ...1000 мкФ	0,001 нФ...50 мФ	1 пФ...40 000/ 10 пФ...100 мкФ	1 пФ...40 мкФ
Частота	TTL ур.: 1 Гц...2 МГц Синусоидальный сигнал: 1 Гц...200 кГц	0,01 Гц...10 МГц	1 Гц...40 МГц/ 0,001 Гц...4	0,1 Гц...1 МГц
Скважность	0,001 %...100 %	-	-	-
Температура	-	-	-20...750°C (AM-1060)	-
Коэффициент заполнения	-	-	1...99% (AM-1061)	-

ЦИФРОВЫЕ LCR-МЕТРЫ
подробнее на www.aktakom.ru

АКТАКОМ®

AM-3001

AM-3003

- Частота измерений 100 Гц, 120 Гц, 1 кГц, 10 кГц, 100 кГц
- R+Q: R 0,0001 Ом...2000 МОм
Q 0,00001...50
- L+Q: L 0,0001 мкГн...99999 Гн
Q 0,0001...50
- C+D: C 0,0001 пФ...99999 мкФ
D 0,00001...10
- C+R: C 0,0001 пФ...99999 мкФ
R 0,00001...99999 кОм

- Емкость 0,1 пФ...10 мФ
- Индуктивность 0,1 мкГн...1 кГн
- Сопротивление 1 МОм...10 МОм
- Тангенс угла потерь: 0,0001...999
- Добротность 0,001...999
- Угол потерь: ±90°

AM-3004

- Индуктивность 0,1 мкГн...10000 Гн
- Емкость 0,01 пФ...10 мФ
- Сопротивление 0,001 Ом...10 МОм

ЦИФРОВЫЕ ОСЦИЛЛОГРАФЫ
подробнее на www.aktakom.ru

АКТАКОМ® АСК-2034/АСК-2067

Параметры	АСК-2034	АСК-2067
Каналы	2	2
Полоса пропускания	25 МГц	60 МГц
Дискретизация	100 МГц	250 МГц
Вертикальная чувствительность	5 мВ/дел ... 5 В/дел	5 мВ/дел ... 5 В/дел
Вх импеданс	1 МОм ± 2%, 20 пФ ± 3 пФ	1 МОм ± 2%, 20 пФ ± 5 пФ
Диагональ экрана	8"	8"

ИСТОЧНИКИ ПИТАНИЯ
подробнее на www.aktakom.ru

АКТАКОМ® ATH-1333/ATH-1335/ATH-3333/ATH-3335

Параметры	ATH-1333	ATH-1335	ATH-3333	ATH-3335
Количество каналов	1	1	3	3
Выходное напряжение	0...30 В	0...30 В	2 x 0...30 В	2 x 0...30 В
Выходной ток	0...3 А	0...5 А	2 x 0...3 А	2 x 0...5 А
Фиксированный канал	-	-	5 В/3 А	5 В/3 А
Погрешность установки	1% U _{уст} +2 епр	1% U _{уст} +2 епр	1% U _{уст} +2 епр	1% U _{уст} +2 епр
Погрешность установки выходного тока	1,5% I _{уст} +2 епр	1,5% I _{уст} +2 епр	1,5% I _{уст} +2 епр	1,5% I _{уст} +2 епр
Пульсация+шум по напряжению	1 мВ	1 мВ	1 мВ	1 мВ

Оборудование включено в Госреестр средств измерений

Скачайте новые каталоги с <http://www.aktakom.ru/catalogs.php>

«ЭЛИКС»: 115211, Москва, Каширское шоссе, дом 57, корпус 5

Тел.: (495) 781 4969 (многокан.), 344 9765, 344 9766; факс 344 9810 E-mail: eliks-tm@eliks.ru Internet: www.eliks.ru

ВЫСТАВКИ 9

ЗВУКОТЕХНИКА 10

РАДИОПРИЕМ 15

ИЗМЕРЕНИЯ 17

ИСТОЧНИКИ ПИТАНИЯ 21

МИКРОПРОЦЕССОРНАЯ ТЕХНИКА 26

РАДИОЛЮБИТЕЛЬСКАЯ ТЕХНОЛОГИЯ 28

РАДИОЛЮБИТЕЛЮ-КОНСТРУКТОРУ 30

ПРИКЛАДНАЯ ЭЛЕКТРОНИКА 32

ЭЛЕКТРОНИКА ЗА РУЛЕМ 39

СПРАВОЧНЫЙ ЛИСТОК 41

"РАДИО" — НАЧИНАЮЩИМ 45

"РАДИО" — О СВЯЗИ 53

Б. Степанов. ВЕЛИКАЯ ОТЕЧЕСТВЕННАЯ... СРЕДСТВА СВЯЗИ ПО ЛЕНД-ЛИЗУ. . . 4	
С. Мишенков. "УЧИТЫВАЯ ВЫДАЮЩИЙСЯ ВКЛАД А. С. ПОПОВА В РАЗВИТИЕ РАДИО..." 5	
ЛИСТАЯ СТАРЫЕ ЖУРНАЛЫ... (1960—1969 гг.) 6	
НТТМ — ФОРУМ МОЛОДЫХ И ТАЛАНТЛИВЫХ. 9	
А. Шихатов. РЕЗОНАТОР ГЕЛЬМГОЛЬЦА В МАЛОГАБАРИТНОЙ АС. 10	
С. Григорьев. УМЗЧ НА КОМПЛЕМЕНТАРНЫХ ТРАНЗИСТОРАХ 13	
В. Рубцов. О ЧИСТКЕ ЛИНЗЫ ПКД МУЗЫКАЛЬНОГО ЦЕНТРА LG. 14	
П. Михайлов. НОВОСТИ ВЕЩАНИЯ 15	
В. Нефедов. ИЗМЕРИТЕЛЬ КОЭФФИЦИЕНТА ЗАПОЛНЕНИЯ. 17	
За рубежом. МОСТОВОЙ ИЗМЕРИТЕЛЬ ИМПЕДАНСА — ПРИСТАВКА К КОМПЬЮТЕРУ. 18	
И. Нечаев. МАЛОГАБАРИТНЫЙ ЛАБОРАТОРНЫЙ ИП 21	
С. Петров. МАКРОМОДЕЛЬ КОНТРОЛЛЕРА TL494 В СРЕДЕ MICRO-CAP 8 24	
П. Высочанский. РЕДАКТОР ИЗОБРАЖЕНИЙ ДЛЯ ГРАФИЧЕСКИХ ИНДИКАТОРОВ 26	
В. Келехсашвили. УСТАНОВКА СКОРОСТИ РАБОТЫ USART МИКРОКОНТРОЛЛЕРА ATtiny2313 28	
И. Шмарин. ИЗГОТОВЛЕНИЕ ПЕЧАТНОЙ ПЛАТЫ С ПОМОЩЬЮ ПЛЕНОЧНОГО ФОТОРЕЗИСТА 28	
В. Савченко, Л. Грибова. ПРИБОР ДЛЯ ОБНАРУЖЕНИЯ ВОДЫ В ЖИДКОСТЯХ С ВЫСОКИМ УДЕЛЬНЫМ СОПРОТИВЛЕНИЕМ 30	
С. Голубков. "ПРОЗВОНЩИК" ПЛОСКИХ КАБЕЛЕЙ. 32	
С. Косенко. ГЕНЕРАТОР КОЛЛОИДНОГО СЕРЕБРА. 34	
А. Бутов. СВЕТООЗВУКОВОЙ СИГНАЛИЗАТОР ПРОВАЛОВ СЕТЕВОГО НАПРЯЖЕНИЯ 36	
В. Андриюшкевич. РЕМОНТ ГАРНИТУРЫ "НОКИА HS-23" 37	
С. Иванюта. ИК ВЫКЛЮЧАТЕЛЬ С ПУЛЬТОМ ДИСТАНЦИОННОГО УПРАВЛЕНИЯ 38	
В. Нефедов. СИГНАЛИЗАТОР ПРИБЫТИЯ АВТОМОБИЛЯ 39	
А. Нефедов. МИКРОСХЕМНЫЕ СТАБИЛИЗАТОРЫ НАПРЯЖЕНИЯ 41	
А. Ознобихин. ТРЕХРЕЖИМНЫЙ СВЕТОДИОДНЫЙ ФОНАРЬ 45	
А. Лечкин. СВЕТОДИНАМИЧЕСКАЯ УСТАНОВКА "УЗОР" 46	
Г. Гудков. МНОГОФУНКЦИОНАЛЬНЫЙ ДИКТОФОН "ГОВОРУН" 49	
Д. Мамичев. ИГРУШКА-СУВЕНИР "ТИР" 51	
R150ASP В ЭФИРЕ С ОСТРОВА ГОГЛАНД. 53	
НА ЛЮБИТЕЛЬСКИХ ДИАПАЗОНАХ 54	
Н. Тихонов. ИЗМЕРЕНИЕ КОЭФФИЦИЕНТА УКРОЧЕНИЯ И ВОЛНОВОГО СОПРОТИВЛЕНИЯ КАБЕЛЯ 55	
За рубежом. ПРОСТОЙ SDR-ТРАНСИВЕР ДИАПАЗОНА 3,5 МГц 56	
А. Проскуряков. О НАСТРОЙКЕ МНОГОДИАПАЗОННОЙ КОМБИНИРОВАННОЙ АНТЕННЫ 58	
И. Нечаев. АНТЕННА 5/8λ ДИАПАЗОНА 1296 МГц 59	
П. Середа. ДОРАБОТКА ТРАНСИВЕРА DRAGON SY-550 59	
А. Голышко. ШАГИ В БУДУЩЕЕ: ВАМ И НЕ СНИЛОСЬ..... 60	

НАША КОНСУЛЬТАЦИЯ (с. 63).

ДОСКА ОБЪЯВЛЕНИЙ (с. 1, 3, 7, 8, 20, 23, 25, 31, 37, 64).

На нашей обложке. Издано к 150-летию со дня рождения А. С. Попова (см. статью на с. 5).

**ЧИТАЙТЕ
В СЛЕДУЮЩЕМ
НОМЕРЕ:**

**ЛИНЕАРИЗАЦИЯ ТОКОВОГО ЗЕРКАЛА
МИКРОКОНТРОЛЛЕРНЫЙ ИЗМЕРИТЕЛЬ ЕМКОСТИ
ЗАРЯДНО-РАЗРЯДНОЕ УСТРОЙСТВО ДЛЯ АККУМУЛЯТОРОВ
БЛОК ИНДИКАЦИИ СОСТОЯНИЯ КОМПЬЮТЕРА**

ВНИМАНИЮ РАДИОЛЮБИТЕЛЕЙ!

Напоминаем, что подписаться на журнал, а также купить любой имеющийся в наличии номер (см. ниже) можно и в редакции.

Стоимость полугодовой подписки при получении журнала в редакции — 295 (312) руб.

Стоимость с рассылкой из редакции для индивидуальных подписчиков России — 462 (495) руб.,

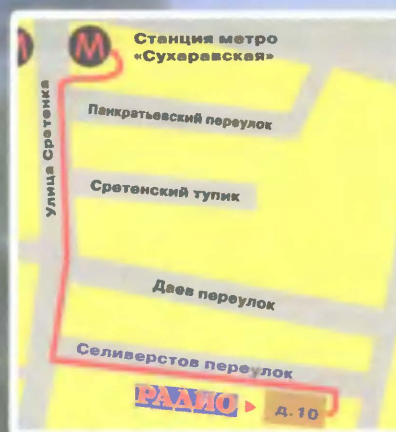
для индивидуальных подписчиков Белоруссии — 504 (546) руб.,

для индивидуальных подписчиков из стран СНГ — 642 (696) руб.

В скобках указана цена для юридических лиц.

Стоимость подписки с адресной рассылкой для жителей дальнего зарубежья на полугодие — 40 USD, на год — 80 USD.

Узнать подробную информацию можно по телефону: (495) 607-77-28.



При спуске с эскалатора повернуть налево, а затем, выйдя в подземный переход, — направо. Идти по улице Сретенка (справа от выхода из метро) до поворота на Селиверстов переулоч. Пройти по нему почти до конца, с правой стороны четырехэтажное желтое здание редакции (дом 10), к которому принадлежит ограждение из черных вертикальных прутьев.

УВАЖАЕМЫЕ ЧИТАТЕЛИ!

Деньги за интересующие вас журналы нужно отправить переводом на расчетный счет.

Получатель: ЗАО "Журнал "Радио",
р/с 40702810438090103159 в Мещанском ОСБ № 7811 Сбербанка России
ОАО г. Москва,
к/с 30101810400000000225,
БИК 044525225, ИНН 7708023424
(почтовый индекс банка 101000).

Наложенным платежом редакция журналы не высылает!

Обязательно напишите, за какие журналы вы переводите деньги, и укажите свой точный почтовый адрес с почтовым индексом. После того как деньги поступят на расчетный счет, мы отправим вам журналы.

В редакции "Радио" можно приобрести журналы, перечисленные в таблице.

Цены снижены!

Адрес редакции: 107045, г. Москва, Селиверстов пер., 10.

Часы работы: с 10.00 до 17.00, без перерыва.

В пятницу — с 10.00 до 16.00.

Год выпуска	Номер журнала	Стоимость одного номера в редакции	Стоимость одного номера с пересылкой, руб.		
			в Россию	в Белоруссию	в другие страны СНГ
2003	1, 3—12	10 руб.	35,00	48,00	70,00
2004	2—12	10 руб.	35,00	48,00	70,00
2005	1, 3—12	15 руб.	40,00	53,00	75,00
2006	1—12	15 руб.	40,00	53,00	75,00
2007	1—12	25 руб.	50,00	63,00	85,00
2008	1—6	40 руб.	67,00	79,00	100,00
2008	7—12	45 руб.	72,00	84,00	105,00
2009	с 1-го	50 руб.	77,00	89,00	110,00



Издаётся с 1924 года

РАДИО

"Радиолучитель" — "Радиопрофонт" — "Радио"

5·2009

МАССОВЫЙ
ЕЖЕМЕСЯЧНЫЙ
НАУЧНО-ТЕХНИЧЕСКИЙ
ЖУРНАЛ

"Radio" is monthly publication on audio, video, computers, home electronics and telecommunication

УЧРЕДИТЕЛЬ И ИЗДАТЕЛЬ: РЕДАКЦИЯ ЖУРНАЛА «РАДИО»

Зарегистрирован Комитетом РФ по печати 21 марта 1995 г.

Регистрационный № 01331

Главный редактор Ю. И. КРЫЛОВ

Редакционная коллегия:

В. И. ВЕРЮТИН, А. В. ГОЛЫШКО, А. С. ЖУРАВЛЕВ, Б. С. ИВАНОВ,
Е. А. КАРНАУХОВ (отв. секретарь), С. Н. КОМАРОВ, А. Н. КОРОТКОШКО,
В. Г. МАКОВЕЕВ, С. Л. МИШЕНКОВ, А. Л. МСТИСЛАВСКИЙ, А. Н. ПОПОВ,
Б. Г. СТЕПАНОВ (первый зам. гл. редактора), Р. Р. ТОМАС, В. В. ФРОЛОВ,
В. К. ЧУДНОВ (зам. гл. редактора)

Выпускающие редакторы: А. С. ДОЛГИЙ, В. К. ЧУДНОВ

Обложка: С. В. ЛАЗАРЕНКО

Верстка: Е. А. ГЕРАСИМОВА

Корректор: Т. А. ВАСИЛЬЕВА

Адрес редакции:

107045, Москва, Селиверстов пер., 10

Тел.: (495) 607-31-18. Факс: (495) 608-77-13

E-mail: ref@radio.ru

Группа работы с письмами — (495) 607-08-48

Отдел рекламы — (495) 608-99-45; e-mail: advert@radio.ru

Распространение — (495) 608-81-79; e-mail: sale@radio.ru

Подписка и продажа — (495) 607-77-28

Бухгалтерия — (495) 607-87-39

Наши платежные реквизиты:

получатель — ЗАО "Журнал "Радио", ИНН 7708023424,

р/сч. 40702810438090103159 в Мещанском ОСБ № 7811, г. Москва

Банк получателя — Сбербанк России, г. Москва

корр. счет 30101810400000000225 БИК 044525225

Подписано к печати 19.04.2009 г. Формат 84×108/16. Печать офсетная.

Объем 8 физ. печ. л., 4 бум. л., 10,5 уч.-изд. л.

В розницу — цена договорная

Подписной индекс:

по каталогу «Роспечати» — 70772;

по каталогу Управления федеральной почтовой связи — 89032.

За содержание рекламного объявления ответственность несет рекламодатель.

За оригинальность и содержание статьи ответственность несет автор.

Редакция не несет ответственности за возможные негативные последствия использования опубликованных материалов, но принимает меры по исключению ошибок и опечаток.

В случае приема рукописи к публикации редакция ставит об этом в известность автора. При этом редакция получает исключительное право на распространение принятого произведения, включая его публикации в журнале «Радио», на интернет-страницах журнала, CD или иным образом.

Авторское вознаграждение (гонорар) выплачивается в течение одного месяца после первой публикации в размере, определяемом внутренним справочником тарифов.

По истечении одного года с момента первой публикации автор имеет право опубликовать авторский вариант своего произведения в другом месте без предварительного письменного согласия редакции.

В переписку редакция не вступает. Рукописи не рецензируются и не возвращаются.

© Радио®, 1924—2009. Воспроизведение материалов журнала «Радио», их коммерческое использование в любом виде, полностью или частично, допускается только с письменного разрешения редакции.

Отпечатано в ООО «ИД Медиа-Пресса», 127137, Москва, ул. «Правды», д. 24, стр. 1. Зак. 90772.

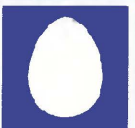


Компьютерная сеть редакции журнала «Радио» находится под защитой антивирусной программы Dr.WEB И. Данилова.

Техническая поддержка ООО «СалД» (Санкт-Петербургская антивирусная лаборатория И. Данилова).

<http://www.drweb.ru>

Тел.: (812) 294-6408



COMSTAR

Тел.: 956-00-00

Интернет: www.comstar-uts.ru

9 мая — День Победы

ВЕЛИКАЯ ОТЕЧЕСТВЕННАЯ...

Средства связи по ленд-лизу

Б. СТЕПАНОВ (RU3AX), г. Москва

Приведенное на 2-й странице обложки определение понятия "ленд-лиз" не так уж много скажет молодым читателям журнала. А военное и послевоенное поколения советских радиолучителей с ним хорошо знакомы. Надо подчеркнуть, что система ленд-лиза создавалась не под СССР. Вскоре после начала Второй мировой войны военную помощь у США попросили англичане. Причем она должна была идти не путем покупки вооружения, а путем его предоставления на основе арендных отношений — лизинга. В целом в годы Второй мировой войны американскую помощь по этой программе получали почти полсотни государств, воевавших против нацистской Германии и ее союзников. В денежном исчислении примерно две трети этой помощи пришлось на Британскую Империю и примерно пятая ее часть — на Советский Союз. Не надо также забывать, что ленд-лиз, вопреки распространенному ошибочному мнению, не был безвозмездной помощью. Техника, которая была выведена из строя или уничтожена во время боевых действий, действительно не подлежала оплате. Остальное, включая материалы и оборудование, надо было оплатить (частично или полностью).

Действие закона о ленд-лизе на СССР было распространено осенью 1941 г., и с весны 1942-го к нам начали поступать танки, самолеты, автомобили, средства радиосвязи. Доставка их шла различными путями. Это были и знаменитые арктические конвои PQ и RS, и менее известные тихоокеанские конвои, и перегоны самолетов с Аляски через Сибирь. Но больше всего ленд-лизовских поставок прошло южным маршрутом, через Персидский залив и далее по суше через Иран.

Дать простую оценку роли ленд-лиза для СССР невозможно — ведь победа в Великой Отечественной войне была добыта в первую очередь кровью нашего народа. Но понятно, что наши людские потери были бы больше, не будь поставок вооружения, военной техники и других материалов из США, Канады и Англии. Особенно важны они были в первые военные годы, когда нехватка военной техники была велика, поскольку значительную часть оборонных заводов пришлось эвакуировать в тыл, запускать их "с нуля" на новых местах.

Некоторые образцы связной техники, поступавшей к нам в рамках ленд-лиза, показаны на 2-й странице обложки. О масштабах поставок говорят такие цифры: радиостанций V-100 было получено 12600, радиостанций WS No 19 Mk II — 12780, радиостанций SCR-284 — 11500. По некоторым данным, в СССР по ленд-лизу было поставлено около 40 тысяч радиостанций и примерно 6 тысяч радиоприемников. А поставки военно-полевых телефонов из США исчислялись сотнями тысяч.

Уцелевшие в годы войны ленд-лизовские средства связи и навигации использовались по ее окончании в гражданском авиации и народном хозяйстве. Со временем их стали снимать с эксплуатации и передавать на радость радиолучителям в радиоклубы Обороны общества, поскольку в значительной своей части военную технику тех лет без особых проблем можно было использовать на любительских радиостанциях. Так на областных коллективных радиостанциях появились мощные КВ передатчики BC-610 и великолепные по тем временам общевойсковые приемники AR-88 или отличные приемники поскромнее типа BC-312. А то оборудование, которое было не очень удобно использовать в домашних любительских радиостанциях, длительное время служило основой для изготовления самодельной аппаратуры, неиссякаемым источником прекрасных элементов связной техники.

Коллекционировать ленд-лизовскую связную технику в нашей стране одним из первых начал калининградский коротковолновик Анатолий Москаленко (UA2AQ). После его смерти эта коллекция была передана в Военно-исторический музей артиллерии, инженерных войск и войск связи в С.-Петербурге.

На сегодняшний день самая полная в России коллекция радиоаппаратуры ленд-лиза, заметно превосходящая коллекцию UA2AQ, собрана в Радиомузее РКК, г. Москва.

"Учитывая выдающийся вклад А. С. Попова в развитие радио..."

С. МИШЕНКОВ, г. Москва

Именно с этих слов начинается Указ Президента Российской Федерации Д. А. Медведева "О праздновании 150-летия со дня рождения А. С. Попова". Нашего соотечественника Александра Степановича Попова — великого инженера, ученого, изобретателя, педагога, которому принадлежит честь открытия эры радио.

16 марта его юбилей отмечали по всей стране, но главные торжества прошли в С.-Петербурге (основном месте его деятельности). Торжественное заседание в Смольном вел Министр связи и массовых коммуникаций Российской Федерации И. О. Щеголев. С основными докладами выступили Губернатор С.-Петербурга В. И. Матвиенко, заместитель председателя Правительства Российской Федерации С. Б. Иванов, вице-президент Российской академии наук, академик Ю. В. Гуляев, начальник Главного штаба ВМФ адмирал М. Л. Абрамов и ректор С.-Петербургского государственного электротехнического университета "ЛЭТИ" им. В. И. Ульянова (Ленина) профессор Д. В. Пузанков.

Доклады были посвящены истории открытия радио, развитию радиотехники вплоть до наших дней, ее перспективам.

дость для поклонников творчества великого ученого, историков, инженеров и просто любителей радио доставило издание нескольких книг, посвященных этой дате. Особо можно выделить три книги:

♦ "Летопись жизни и деятельности Александра Степановича Попова", авторы Л. И. Золотинкина, М. А. Партала, В. А. Урвалов, под редакцией академика РАН Ю. В. Гуляева, С.-Петербургский Государственный электротехнический университет "ЛЭТИ" им. В. И. Ульянова (Ленина), С.-Петербург 2008;

♦ "Из истории изобретения и начального периода развития радиосвязи", составители Л. И. Золотинкина, Ю. Е. Лавренко, В. М. Пестриков, под редакцией профессора В. Н. Ушакова, С.-Петербургский Государственный электротехнический университет им. В. И. Ульянова (Ленина), С.-Петербург 2008;

♦ "История радиосвязи в экспозиции Центрального музея связи имени А. С. Попова — каталог (фотоальбом)" Н. А. Борисова, В. К. Марченков, В. В. Орлов и др. — СПб: Центральный музей связи имени А. С. Попова, 2008 г.

Эти три издания, созданные работниками Мемориального музея А. С. Попова в ЛЭТИ и Центрального музея связи имени А. С. Попова неразрывно связаны и дополняют друг друга. Они составляют

них", Дж. К. Максвелла "Трактат об электричестве и магнетизме, Г. Р. Герца "Исследования по распространению электрической силы", "О весьма быстрых электрических колебаниях", "О лучах электрической силы", Н. А. Умова и Дж. Г. Пойнтинга "Уравнения движения энергии в телах" и "О переносе энергии в электромагнитном поле" соответственно, Э. Бранли "Изменения проводимости под различными электрическими воздействиями", Н. Теслы "О колебательных явлениях при высокой частоте" и, наконец, О. Лоджа "Творение Герца".

Основными публикуемыми документами можно считать выписку из Протокола заседания Физического отделения РФХО о докладе А. С. Попова "Об отношении металлических порошков к электрическим колебаниям" от 25 апреля (7 мая) 1895 г. и А. С. Попов "Прибор для обнаружения и регистрирования электрических колебаний" (Журнал РФХО, часть физ., вып. 1, отд. 1, 1896).

Любителям истории развития радио, помимо приведенных патентов А. С. Попова, очень интересен "Акт комиссии о производстве опытов телеграфирования без проводов по способу А. С. Попова на Черном море". В нем помимо констатации фактов работы радиостанций на кораблях, их взаимовлияния на корабле и взаимовлияния станций различных кораблей на прием, построения антенн (проблем ЭМС — электромагнитной совместимости), впервые появляется идея применения криптографии в радиосвязи для защиты передаваемой информации.

В опубликованных документах четко прослеживаются основные цели исследования: влияние на дальность распространения радиоволн мощности передатчика, высот подвеса антенн, частоты применяемых колебаний, наличие прямой видимости и параметров подстилающей поверхности (равнина, лес, овраги, солонность морской воды); поиск иных кроме связи применений (радиолокация, местоопределение, радиоперехват и закрытие информации).

Опубликованная переписка Александра Степановича показывает его заботу о производстве, внедрении радиосредств и подготовке персонала по их использованию от адмирала до матроса.

Альбом по истории радиосвязи, выпущенный Центральным Музеем связи им. А. С. Попова, содержит фотографии, как оборудования применяемого им, разработанного им самим или под его руководством, и оборудования следующих этапов развития радиотехники. Альбом отличает продуманная подборка, профессиональные тексты и, впрочем, как и два других издания, очень высокое качество печати.

Три вышеперечисленные книги займут достойное место в библиотеках связистов и просто любителей истории радио, истории техники и будут долго радовать читателей.

К знаменательной дате был приурочен выпуск юбилейной марки, конвертов и открыток, специальное гашение которых производилось 16 марта.



В этих докладах, а также в статьях, опубликованных в периодической печати, был сделан упор не на тысячекратное повторение фактов, говорящих о приоритете А. С. Попова (это признается во всем мире еще с 1900 г.). В них речь шла о гражданской позиции ученого, основных принципах его работы и служению интересам Родины. О поддержке государством развития науки и на ответном, самозабвенном труде по поиску и развитию, а затем производству и внедрению на кораблях и на суше необходимых средств связи, обнаружения противника, перехвата и закрытия передаваемой информации, его работах по обучению, как морских офицеров, так и гражданских специалистов.

Празднование 150-летия со дня рождения А. С. Попова включало много различных мероприятий, но особенную ра-

подробную, полную летопись жизни великого соотечественника, подтвержденную документально и богато иллюстрированную фотографиями.

Конечно, профессиональные историки техники и музейные работники могли знакомиться с этими документами и экспонатами в различных музеях (в экспозициях и депозитариях), но сведенные вместе и изданные тиражом 3000 экз. они становятся доступны широкой общественности. Особенно интересны эти издания тем, что они позволяют проследить последовательность, принципы деятельности Александра Степановича при исследовании и разработках в энергетике, рентгенотехнике и открытии радио, ознакомиться с работами из предистории радио.

В каких еще изданиях массовый читатель мог ознакомиться с работами М. Фарадея "Мысли о лучевых колеба-



Листая старые журналы... (1960—1969 гг.)

1960 г. Идет четвертое десятилетие издания журнала. Тираж возрос до 450 тыс., это в десять раз больше, чем при его основании. Коллектив редакции и само издание с успехом выполняют задачу объединения творческих сил конструкторов-радиолюбителей и радиолюбителей-спортсменов. В стране в этом году создана Федерация радиоспорта СССР, председателем которой стал Э. Т. Кренкель, а его заместителем Ф. С. Вишневецкий (в то время главный редактор журнала "Радио" — прим. ред.).

В техническом отношении журнал помог уже не одному поколению любителей пополнить свои знания и даже поделиться со своей будущей профессией. С ростом технического кругозора радиолюбителей изменились и приоритетные направления — от массовой радиофикации города и деревни радиолюбители пришли к решению проблем массового охвата телевизионным вещанием, стереофоническим воспроизведением. Журнал организует постоянные рубрики "Путь в телевидение", "Справочный листок" с привлечением авторов из научных и производственных кругов. Постепенно меняется и элементная база в конструкторском творчестве. "Старушка" радиолампа все чаще уступает место молодому поколению усилительных элементов — полупроводниковым триодам. Преимущества очевидны, кроме наименования самого радиоэлемента — длинно и неудобно... И вот в проводимой в этом году за рубежом радиовыставке в отчетах промелькнула фраза — "японские транзисторные приемники". Вот оно — транзистор! Хотя и не русский термин, но настолько удобный, что вошел в "свой" во всей русскоязычной технической литературе, в том числе и в наш журнал.

В стране начались регулярные опытные передачи цветного телевидения. Еще одно необъятное поле деятельности для радиолюбителей.

1961 г. Год прошел под знаком первого полета человека в космос. Весь мир по радио и телевидению показывает русского парня с обворожительной улыбкой. А для радиолюбителей это новый мотив для работы над установками дальнего и сверхдальнего приема телевидения. В журналах публикуется большое число антенн конструктора К. Харченко.

В радиовещательных приемниках конструкторов-радиолюбителей транзисторы практически вытеснили радиолампы. Отечественная радиопромышленность тоже выпустила переносный приемник "Атмосфера" и малогабаритные конструкции "Чайка" и "Нева" на транзисторах.

В Москве началось строительство нового телевизионного центра в Останкине.

1962 г. Министр связи Н. Псурцев выступает в журнале со статьей "За технический прогресс в радиовещании и телевидении", в кото-

рой рассказывает о перспективах развития отрасли.

Число телевизоров у населения неизменно растет. Телевизионная техника, конечно, более сложная по сравнению с другими устройствами бытовой техники, поэтому в журнале публикации рекомендаций по ремонту телевизоров стали постоянными и с большой благодарностью приняты читателями.

Для повышения уровня знаний радиолюбителей организована образова-



тельная рубрика "Путь в радиотехнику и электронику. Физические свойства полупроводников". Как показала практика публикаций, это хорошее подспорье для радиолюбителей, которые не имеют возможности получить такие знания на курсах профессионального обучения.

1963 г. "Победная" поступь транзисторов в радиолюбительском конструировании продолжается. Транзисторы по своему функциональному назначению и техническим параметрам становятся все больше и больше. "Забота" журнала — правильно ориентировать радиолюбителей в их выборе и использовании. В публикациях этого года большое место отведено сводным таблицам параметров отечественных полупроводниковых изделий.

1964 г. Журналу "Радио" — 40 лет! Поздравления нет числа, в том числе и от космонавтов за подписью Ю. Гагарина.

Тираж журнала достиг 500 тыс. экземпляров и продолжает возрастать. Из отдельных регионов страны поступают сообщения, что подписка ограничена.

В публикациях этого года следует отметить повышенный интерес радиолюбителей к стереофоническим системам воспроизведения с самодельными акустическими системами высокой верности воспроизведения, электромузыкальным инструментам.

Обращают на себя внимание обзорные статьи по пленочной электронике, микромодулям и микроминиатюриза-

ции — технологиям нового поколения.

1965 г. Тираж журнала возрос до 720 тыс. И поток писем в редакцию тоже увеличивается. К сожалению, не все из них являются "образцом" исполнения в техническом отношении. Поэтому на страницах журнала в виде таблиц с рекомендациями выкладываются материалы с условными обозначениями на схемах электрических принципиальных в соответствии с нормами ГОСТов (Государственными стандартами).

Журнал знакомит читателей с возможностями, конструкционными особенностями и сферой использования полевых (униполярных) транзисторов. Из практических конструкций следует отметить четырехдорожечный магнитофон.

1966 г. Этот год в жизни журнала ознаменовался введением сразу нескольких тематических рубрик. Вчерашние начинающие радиолюбители вырастают и переходят к решению более сложных задач. А на смену им приходит новое поколение и весьма многочисленное. Задача журнала — научить их азам радиотехники. Вот мы и предусмотрели сразу две рубрики — "Радио" для юных и "Азбука КВ спорта". Последнюю ведет заслуженный тренер СССР Н. Казанский. Ну а для повзрослевших радиолюбителей мы ввели рубрику "Проектирование транзисторных приемников".

Тираж журнала достиг 1 млн экземпляров!

1967 г. В этом году редакция журнала впервые провела конкурс среди наших авторов на лучшую публикацию года (по материалам 1966 г.). Основными судьями, конечно, стали сами читатели. Новшество настолько понравилось, что стало традиционным. Кстати, сотрудники редакции отмечают и одновременное повышение качества материалов, предоставляемых в редакцию.

На страницах журнала появились статьи о домашних видеомэгнитофонах и еще одна рубрика для более опытных радиолюбителей — "Страничка автолюбителя".

1968 г. В октябре этого года в Москве на ВДНХ организована первая выставка ТТМ (техническое творчество молодежи). Из числа трех тысяч экспонатов пятьсот представляли радиоэлектронику и применение радиоэлектронных средств в различных отраслях науки и народного хозяйства.

1969 г. Стереофония набирает силу и почитателей. Стереофония — в музыкальном воспроизведении, радиовещании и... телевидении. Что касается последнего, то пока еще теоретические аспекты стоящих задач, проблем и возможных путей их решения.

А вот цвет в телевидении уже серьезно заявил о своей необходимости. С. Сотников предложил несложную конструкцию для самостоятельного изготовления в домашних условиях.

Из других технических новинок интересно отметить статьи по вопросам создания кассетных магнитофонов.

Уважаемые читатели!

Для того чтобы упростить процедуру оплаты журналов и наборов (см. 4-ю обложку) по почте, печатаем на этой странице бланк почтового перевода с уже вписанными в него платежными реквизитами ЗАО "Журнал "Радио".

На этом бланке, который следует вырезать, нужно

вписать сумму перевода, ваши фамилию и инициалы, адрес. В графе "Сообщение" укажите, за что высылаете деньги.

Если на вашей почте по каким-то причинам отсутствуют подписные Каталоги, сообщаем, что оформить подписку на второе полугодие 2009 г. (№ 7—12)

можно через редакцию. Журналы будем высылать по почте. Стоимость подписки — 462 руб. с учетом почтовых расходов.

Для оплаты подписки воспользуйтесь напечатанным здесь бланком. В графе "Сообщение" напишите **"Подписка на 2-е полугодие 2009 г."**.



П
Р
И
Е
М

ф. 112зф

ПОЧТА РОССИИ

№ _____
(по накладной ф. 16)

№ _____
(по реестру ф. 10)

ПОЧТОВЫЙ ПЕРЕВОД на _____ руб. _____ коп.

(Рубли прописью, копейки цифрами)

Кому: **ЗАО «Журнал «РАДИО»**

(для юридического лица - полное или краткое наименование, для гражданина - фамилия, имя, отчество полностью)

Куда: _____

(Адрес получателя)

☐ Заполняется при приеме перевода в адрес юридического лица
☐ Выплатить наличными деньгами

Индекс: **101000**

ИНН: **7708023424** Кор/счет: **30101810400000000225**

Наименование банка: **Сбербанк России Мещанское ОСБ №7811**

Рас/счет: **40702810438090103159** БИК: **044525225**

От кого: _____

(фамилия, имя, отчество)

Адрес отправителя: _____

Адрес места жительства (регистрации), адрес пребывания (использовать зачеркнуть)

Индекс: _____

Сообщение: _____
(назначение платежа)

Предъявлен _____ Серия _____ № _____ выдан _____ 20 ____ г.

(наименование документа)

(наименование учреждения)

Для нерезидента России

Предъявлен _____ Серия _____ № _____ выдан _____ 20 ____ г.

(наименование документа)

Дата срока пребывания с _____ 20 ____ г., по _____ 20 ____ г.

Гражданство: _____

Подпись отправителя _____

Обведенное жирной линией заполняется отправителем

Исправления не принимаются

(штрих и подпись) (подпись оператора)



С 24-го по 27 июня 2009 г. в павильоне № 75 Всероссийского выставочного центра состоится IX Всероссийская выставка научно-технического творчества молодежи НТТМ-2009.

Организаторами форума выступают Министерство спорта, туризма и молодежной политики РФ, Министерство образования и науки РФ, Федеральное агентство по делам молодежи, Правительство Москвы, Всероссийский выставочный центр, Совет ректоров вузов Москвы и Московской области при поддержке Государственной Думы Федерального Собрания РФ и Торгово-промышленной палаты РФ. Учитывая значение выставки НТТМ в реализации государственной молодежной политики, IX Всероссийская выставка научно-технического творчества молодежи включена в План основных мероприятий проведения в Российской Федерации Года молодежи в 2009 г.

Выставка проводится с целью выявления и поддержки талантливой молодежи, создания условий для раскрытия ее творческих способностей, привлечению молодых людей к участию в научной деятельности и научно-техническом творчестве. Ежегодно выставка собирает лучших представителей творческой молодежи со всех уголков России. За годы ее проведения участниками выставки стали свыше 9 тысяч молодых ученых, исследователей, конструкторов, изобретателей, которые представили более 6 тысяч проектов.

В экспозиции НТТМ-2009 будут представлены научные и технические проекты молодых специалистов, аспирантов и студентов вузов, учащихся средних учебных заведений, учреждений дополнительного образования, представителей общественных молодежных организаций — победителей региональных конкурсов, смотров, олимпиад по трем основным разделам: техническое творчество детей и подростков, научно-исследовательские проекты, инвестиционные проекты молодых технократов. Экспозиция выставки будет дополнена интерактивными и анимационными площадками, на которых можно будет познакомиться с действующими моделями в областях робототехники,

авиации и космонавтики, мототехники, судомоделизма и др., участвовать в соревнованиях и конкурсных заданиях. Выставка предоставит участникам возможность презентации проектов перед широкой аудиторией, включающей потенциальных работодателей и инвесторов. Авторы лучших проектов и программ будут награждены дипломами и ценными призами.

В рамках выставки пройдет ежегодный Всероссийский конкурс НТТМ. По его итогам будут определены претенденты на присуждение премии для поддержки талантливой молодежи. Оценку представленных работ проведет Экспертный совет в составе ученых РАН, преподавателей, специалистов по работе с молодежью, представителей научных и общественных организаций. Проекты лауреатов публикуются в Сборнике лучших работ, который является итоговым печатным изданием конкурса.

Для участников выставки подготовлены обширные деловая, научная и культурная программы, которые предполагают проведение семинаров, презентаций, круглых столов, мастер-классов, консультаций и встреч с ведущими учеными и специалистами по различным аспектам научной и предпринимательской деятельности.

Значимым событием выставки станет научно-практическая конференция "Научно-техническое творчество молодежи — путь к обществу, основанному на знаниях", главная цель которой — стимулировать получение новых знаний, составляющих основу технологических инноваций, содействовать развитию творческой активности и профессиональному росту молодых специалистов, формировать сообщество специалистов новой формации.

НТТМ — твой первый шаг в области инноваций, самостоятельной научно-исследовательской и инженерно-конструкторской деятельности.

Узнать подробности и подать заявки на участие в выставке можно на сайте www.nttm-expo.ru или по тел. (495) 748-34-17.



Резонатор Гельмгольца в малогабаритной АС

А. ШИХАТОВ, г. Москва

В статье предлагается конструкция малогабаритной низкочастотной АС с акустическим режекторным фильтром на основе резонатора Гельмгольца и методика расчета подобных громкоговорителей.

Кто мешает тебе выдумать порох непромокаемый?

К. Прутков

Акустика — одна из прикладных дисциплин, где влияние резонанса особенно ощутимо. Поскольку рабочая полоса низкочастотных динамических головок захватывает область основного механического резонанса, степень его демпфирования оказывает значительное влияние на характер звучания акустической системы (АС) в этом диапазоне частот.

Резонансы в громкоговорителях должны быть эффективно подавлены, в противном случае звучание будет сопровождаться нежелательными призвуками (гулом, "бубнением"). Причем при избыточной добротности готового громкоговорителя подавить основной резонанс НЧ головки невозможно даже при использовании современных усилителей с высоким коэффициентом демпфирования. В этом случае можно перейти к акустическим методам демпфирования.

В каноническом виде резонатор Гельмгольца представляет собой сосуд сферической формы с открытой горловиной (рис. 1). Воздух в горловине является колеблющейся массой, а объем воздуха в сосуде играет роль упругого элемента. Разумеется, это деление условно, но при достаточно большом

Например, для сосуда объемом 1 л с горловиной длиной 1 см и сечением 1 см² частота резонанса составит примерно 170 Гц. Обратите внимание, что длина волны для этой частоты составляет около 2 м, что значительно больше характерных размеров резонатора.

Кстати, череп, как и любая замкнутая полость с отверстием, тоже является резонатором Гельмгольца. По некоторым данным, резонансной областью для черепа являются частоты 20...25 Гц. Как известно, облучение человека звуковыми колебаниями частотой 25 Гц в течение 30 мин при достаточной интенсивности источника вызывает эпилептический припадок — так что поаккуратнее с сабвуферами!

Фазоинвертор громкоговорителя — это все тот же резонатор Гельмгольца, возбуждаемый изнутри, и в этом случае он играет роль акустического "усилителя". Если такой резонатор возбуж-

для частичного подавления первой и второй гармоник сетевой частоты лампового усилительного тракта (на конденсаторах фильтра выпрямителя там явно сэкономили). Кроме того, режектор устранял неизбежный "горб" на АЧХ, характерный для обычных в то время высокодобротных динамиков ($Q_{IS} > 1$). Конструктивно фильтр представлял собой отдельный объем в корпусе АС, отделенный от основного перегородкой с двумя отверстиями диаметрами 23 и 31 мм. Общий объем АС был значительным — примерно 80 л.

В конструкции современных акустических систем, однако, резонатор Гельмгольца используется крайне редко. Например, в сверхкомпактном автомобильном сабвуфере Pioneer TS-WX30 режекторный фильтр предназначен для подавления струйных шумов фазоинвертора (рис. 2, рис. 3) [1].

Применение резонатора Гельмгольца очень перспективно при создании малогабаритных акустических систем



Рис. 3

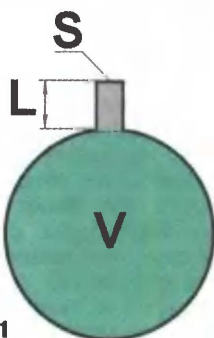


Рис. 1

значении отношения площади отверстия к площади сечения полости точность такого приближения вполне удовлетворительна. Основная часть кинетической энергии колебаний оказывается сосредоточенной в горле резонатора, где колебательная скорость частиц воздуха имеет наибольшую величину.

Собственную частоту резонатора Гельмгольца определяют по формуле

$$F = \frac{C_0}{2\pi} \sqrt{\frac{S}{VL}}, \quad (1)$$

где F — частота, Гц; C_0 — скорость звука в воздухе (340 м/с); S — сечение отверстия, м²; L — длина отверстия, м; V — объем резонатора, м³.

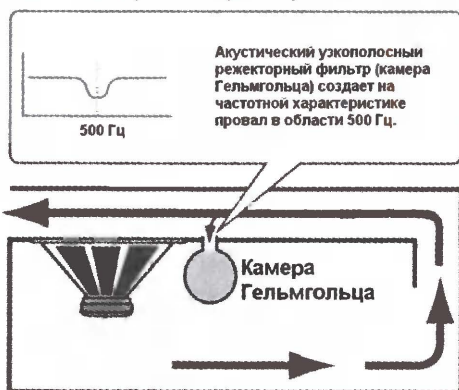


Рис. 2

дать снаружи, он становится режекторным фильтром, поглощающим энергию внешних колебаний. Глубину режекции можно изменить, увеличив потери в горле резонатора с помощью звукопоглощающего материала или уменьшив сечение отверстия.

В акустической системе первой отечественной стереофонической радиолы "Симфония" в качестве низкодобротного двухчастотного режекторного фильтра использовался резонатор Гельмгольца. Частоты настройки составляли 50 и 100 Гц, а режектор предназначался

на основе высокодобротных динамических головок.

В малогабаритных громкоговорителях закрытого типа традиционно используют динамические головки низкой добротности ($Q_{IS} = 0,3...0,4$) с низкой частотой собственного резонанса $F_s = 20...25$ Гц. После установки в закрытый корпус упругость воздуха в объеме этого корпуса складывается с упругостью подвеса, в результате чего частота резонанса и полная добротность возрастают до оптимальных значений — соответственно $F_s = 40...50$ Гц и $Q_{IC} = 0,7...0,8$. Однако снижение добротности и частоты основного резонанса таких головок достигнуто ценой значительного увеличения массы подвижной системы, что приводит к понижению чувствительности до 82...84 дБ/Вт/м. В результате для возбуждения низкочастотной АС требуется усилитель значительной мощности — многие десятки и даже сотни ватт.

Очевидно, что повышение чувствительности АС до значений 90...92 дБ/Вт/м позволит снизить потребляемую мощность усилителя до 30...40 Вт. Как известно, для повышения чувствительности АС следует выбирать головки с повышенной полной добротностью ($Q_{IC} = 0,7...1$). Частота основного резонанса таких головок при умеренно жестком подвесе не может быть слишком низкой

($F_s = 40...70$ Гц), поэтому эквивалентный объем V_{as} измеряется десятками литров. При установке подобной головки в корпус небольшого объема частота резонанса и добротность возрастут до недопустимых значений ($Q_{tc} = 1,5...2$; $F_s = 100...150$ Гц). Но это обстоятельство меньше всего волнует разработчиков дешевых музыкальных центров. Впрочем, гулкий, "размытый" бас возникает не только от этого.

Предлагается способ решения этой проблемы — подавление резонансного "горба" режекторным фильтром в виде резонатора Гельмгольца, что позволит сохранить высокую чувствительность громкоговорителя и получить гладкую АЧХ. Немаловажно и то, что размеры резонатора малы в сравнении с длиной волны гасимых колебаний и габариты АС существенно не увеличиваются.

При разработке конструкции такого громкоговорителя необходимо измерить или рассчитать частоту резонанса головки в корпусе заданного объема. Затем рассчитываем на эту частоту резонатор Гельмгольца. Естественно, для расчета нужно брать объем корпуса за вычетом объема, занимаемого динамической головкой. Этот объем упоминается далеко не всегда; для головок диаметром 13—16 см его можно принять равным 0,5...1 л и 1...1,5 л для головок диаметром 20—25 см. Можно измерить объем, занимаемый головкой, методом вытеснения соответствующего объема воды, упаковав динамик в полиэтиленовый пакет. Топить его полностью не обязательно — достаточно погрузить в воду магнитную систему и большую часть диффузора-держателя.

Для расчета частоты резонанса головки можно воспользоваться известной формулой

$$F_c = F_s \sqrt{1 + \frac{V_{as}}{V_c}}, \quad (2)$$

где F_c — частота резонанса головки в закрытом оформлении, Гц; F_s — частота основного резонанса головки в свободном пространстве, Гц; V_{as} — эквивалентный объем, л; V_c — объем корпуса, л.

Теперь на эту частоту нужно рассчитать резонатор Гельмгольца, предварительно выбрав объем режекторной камеры. Для эффективного поглощения он должен составлять 10...30 % объема основной камеры. Понятно, что чем больше добротность динамической головки (и выше резонансный пик), тем больший объем камеры нужен, но пока здесь чистейшая эмпирика, математического аппарата у автора нет.

Если в формуле (1) выразить площадь отверстия через диаметр, раскрыв радикалы и сократить, получим выражение для определения диаметра отверстия (рис. 4):

$$d = \frac{4F}{C_0} \sqrt{\pi V L}, \quad (3)$$

где F — частота, Гц; C_0 — скорость звука в воздухе (340 м/с); d — диаметр отверстия, м; L — длина отверстия (толщина перегородки), м; V — объем резонатора, м³.

Просто? Но только на первый взгляд. Этих формул достаточно для расчета

корпусов объемом в десятки литров (как в "Симфонии"). Но при разумном объеме режекторной камеры (до 3...5 л, иначе АС уже не будет малогабаритной) и толщине перегородки 8...10 мм диаметр отверстий получается смехотворно малым — миллиметры. Для таких малых отверстий необходимо учитывать пограничный слой воздуха вдоль отверстия (в идеале и чистоту обработки его поверхности) — в результате эффективный диаметр отверстия меньше физического на 1...3 мм. Очевидно, что этого недостаточно для подавления серьезного резонанса, и эффективность подобного фильтра близка к нулю. Экспериментальная проверка на макете двухкамерной АС подтвердила предположение — потребное по формуле (3) отверстие диаметром 5 мм никак не повлияло ни на частоту резонанса, ни на "бубнение".

Для решения этой проблемы есть два способа. Первый — увеличить глубину отверстия, т. е., по существу, перейти к внутреннему фазоинвертору. Причем его необходимо разместить в основном объеме корпуса (рис. 5) — в противном случае занимаемый тоннелем объем придется вычесть из объема режекторной камеры, что усложнит расчет.

Второй способ — сохранив диаметр отверстий, увеличить их число; перегородка при этом превратится в разновидность панели акустического сопротивления (ПАС). Таким образом, каждое отверстие будет представлять собой отдельную колебательную систему со своей собственной частотой резонанса. Для расширения полосы подавления можно разнести частоты настройки (как это делается в многоконтурных полосовых LC-фильтрах).

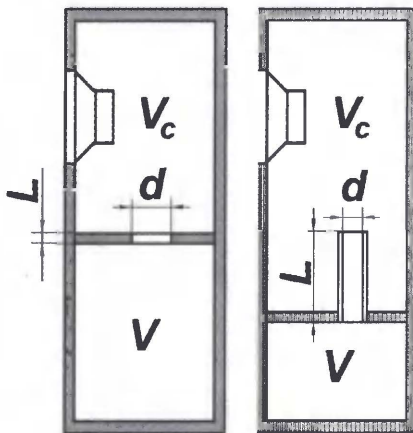


Рис. 4

Рис. 5

Однако четкого критерия для определения числа отверстий у автора нет. С одной стороны, их не должно быть слишком много, иначе нарушатся условия работы резонатора. Суммарная площадь отверстий не должна превосходить 10 % эффективной площади сечения режекторной камеры (критерий максимума). С другой стороны, из опыта изготовления ПАС (популярных 30—40 лет назад) известно, что суммарная площадь отверстий должна быть соизмерима с площадью диффузора (критерий минимума).

Эти критерии при определенных условиях могут противоречить друг другу, но здравый смысл подсказывает, что суммарная площадь отверстий должна быть не меньше 10 % от площади диффузора:

$$0,1S_{диф} \leq \sum S_{отв} \leq 0,1V^{2/3} \quad (4)$$

Такое акустическое оформление использовано автором при разработке относительно компактных низкочастотных автомобильных АС — полный объем корпусов не превышает 10,5 л. Громкоговорители установлены под передними сиденьями автомобиля Renault Kangoo [2] и работают в низкочастотном звене системы с многополосным усилением, номинальная подводимая мощность составляет 35 Вт.

Для реализации проекта были выбраны автомобильные эллиптические низкочастотные головки из комплекта трехполосной АС Prology Iridium IX-69.3с [3]. Их параметры вполне типичны для головок средней ценовой категории: размеры — 6"×9" (160×230 мм); площадь диффузора $S_{диф} = 250$ см²; эквивалентный объем $V_{as} = 40$ л; частота основного резонанса $F_s = 40$ Гц; полная добротность $Q_{ts} = 0,6$; чувствительность $SPL = 92$ дБ/Вт/м; максимальная мощность $P_{max} = 40$ Вт.

Головки такого типа предназначены для работы в акустическом экране или в корпусе значительного объема — не менее 80 л. Доступный для установки динамик объем — 7,5...8 л (левый и правый корпуса несколько различаются). По всем канонам ничего хорошего ждать не приходится — в таком корпусе частота резонанса и полная добротность (по формуле 2) составят $F_c = 97...100$ Гц, $Q_{tc} = 1,47...1,5$. Для классического закрытого корпуса на редкость отвратительные характеристики, не так ли? И это еще не самый худший вариант, поскольку данный тип динамиков выбран с учетом частоты резонанса. Для динамиков 6"×9" массовых серий частота $F_s = 50...60$ Гц и показатели будут еще хуже.

В качестве разумного компромисса между желаниями и возможностями был выбран объем режекторной камеры 1 л. Толщина перегородки — 8 мм. По формуле (3) получаем диаметр отверстия 5,7 мм. Чтобы скомпенсировать неизбежные погрешности расчета и изготовления, разбор и изменение характеристик динамических головок со временем, резонатор выполнен двухчастотным. Частоты поглощения нанесены выше и ниже расчетной частоты резонанса таким образом, что их среднее геометрическое совпадает с ней. Для этого в перегородке выполнено 50 отверстий диаметром 5 мм и 30 отверстий диаметром 6,5 мм. Частоты настройки — соответственно 85 и 110 Гц (формула 1). Суммарная площадь отверстий составляет 20 см² и распределена между отверстиями разного диаметра примерно поровну.

Результаты измерений готовой АС могут показаться фантастическими: частота резонанса — 55...58 Гц, добротность — 0,83...0,85. Уверенно и без искажений воспроизводится диапазон от 50 Гц, с незначительными искаже-

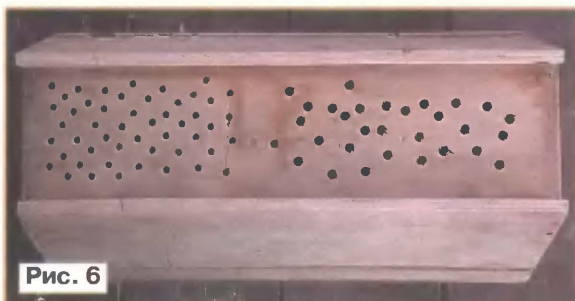


Рис. 6

Готовый корпус зашпаклеван, обработан шлифовальной машиной, покрыт автомобильной мастикой "Антигравий", затем окрашен. На лицевую панель наклеен декоративный алюминированный пластик. К шпангоуту прикреплен кусок мягкого поролона, выполняющий функции

звукопоглотителя; для подключения проводов на боковой стенке установлена стандартная чашка с пружинными контактами.

Некоторые этапы изготовления АС представлены в иллюстрациях. Так, на фото **рис. 6** показаны перегородка и режекторная камера в процессе изготовления, вид сзади. В перегородке видны отверстия; задняя и боковые стенки режекторной камеры еще не установлены. На фото **рис. 7** — перегородка и режекторная камера в процес-



Рис. 7



Рис. 9

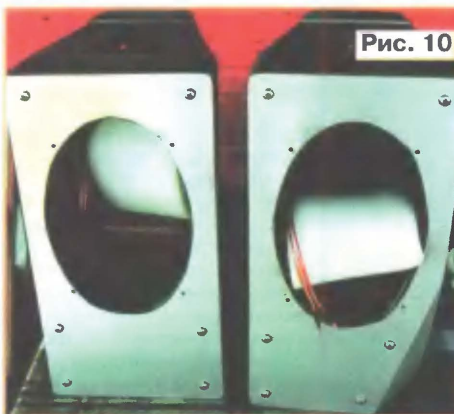


Рис. 10

се изготовления, вид сбоку. Хорошо видно поперечное сечение корпуса и стыки деталей. На фото **рис. 8** показана герметизация режекторной камеры (вид спереди). Задняя и боковые стенки режекторной камеры приклеены. На фото **рис. 9** в отверстия левого корпуса (вид спереди) виден шпангоут. На фото **рис. 10** показан этап отделки панели, а к шпангоуту прикреплен поролон. На фото **рис. 11** — готовая АС. Ее левый и правый громкоговорители устанавливаются под передними сиденьями, как показано на фото **рис. 12**.

Чертежи корпуса не приводятся намеренно. Во-первых, для домашней акустики столь причудливые формы совершенно не нужны — они имеют смысл только для Renault Kangoo именно в этой комплектации, именно с такими сиденьями (поэтому на корпусе под левым сиденьем появился скос). Габариты определялись "по месту" с помощью картонных шаблонов, затем — картонного макета корпуса. Во-вторых, акустическое оформление рассчитано не только под определенную модель, но и под совершенно конкретные экземпляры динамиков. Это не означает, что для повто-



Рис. 8

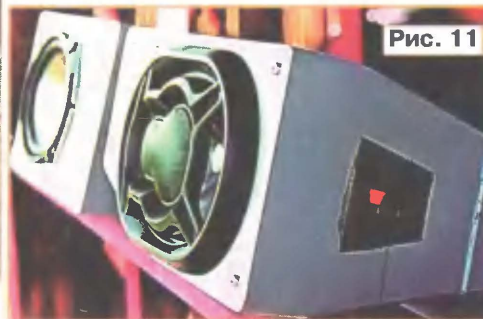


Рис. 11



Рис. 12

ниями и ослаблением — от 40 Гц. Звучание музыкальных композиций отличается плотным и мягким басом.

Корпуса АС выполнены из традиционных материалов — фанеры и МДФ на эпоксидном клее. В средней части корпуса установлен подкрепляющий шпангоут. Для повышения жесткости верхней и нижней стенок в промежутках между шпангоутом и боковыми стенками вклеены пластины МДФ (ламинат), затем стенки залиты сплошным слоем эпоксидной смолы и прогреты феном. Задняя стенка поглотительной камеры, верхний и нижний скосы выполнены из МДФ. Толщина стенок корпуса достигает 30 мм, продолжительность сушки перед финишной обработкой корпуса — 12 дней.

рения нужно искать именно Prology Iridium IX-69 и никакие другие — но для других динамических головок и параметры будут другие, поэтому весь расчет придется проделать заново. И для достижения максимального результата лучше параметры измерить, а не брать из справочника — отклонения бывают довольно значительными.

Предложенная методика применима и к расчету домашней АС. По-

скольку массогабаритные показатели там не столь существенны, к проектированию можно подходить более гибко — начиная с выбора динамических головок. Средне- и высокочастотные громкоговорители домашней АС, а также разделительные фильтры следует выбирать исходя из оптимального сопряжения границ рабочей полосы частот для используемых головок.

ЛИТЕРАТУРА

1. Шихатов А. Акустические резонаторы. — Мастер 12 вольт, 2004, № 55.
2. Шихатов А. Угрошение резонанса. — Мастер 12 вольт, 2005, № 68.
3. Компонентная акустика Prology IX-69.3с. — <<http://www.prology.ru/good/294>>.

Редактор — А. Соколов, иллюстрации — автора

УМЗЧ на комплементарных транзисторах

С. ГРИГОРЬЕВ, пос. Попова, Комсомольский р-н Хабаровского края

Усилитель мощности отличается симметрией структуры, использованием нескольких петель ООС, стабилизирующей режимы каскадов УМЗЧ при изменении напряжения питания в широких пределах. Такой усилитель можно использовать и с комбинированной обратной связью введением петли общей ООС по току нагрузки, как это сделано в аналоговых усилителях с повышенным выходным сопротивлением.

Предлагаемый вниманию читателей УМЗЧ имеет симметричную структуру и выполнен на комплементарных биполярных транзисторах. Особенность усилителя в том, что входная цепь каждого последующего каскада питается от коллекторной цепи предыдущего. Такое построение позволило добиться высокого коэффициента усиления при большой перегрузочной способности. УМЗЧ работоспособен при больших колебаниях питающего напряжения, и его значение ограничено областью безопасной работы примененных транзисторов и оксидных конденсаторов.

На транзисторах VT1 и VT2 (схема на рисунке) построен источник тока, создающего на резисторах R4, R5 необходимое постоянное напряжение между базами транзисторов VT3, VT4 первого усилительного каскада. Подстроечный резистор R2 служит для коррекции смещения постоянного напряжения на выходе УМЗЧ.

Входной сигнал, пройдя через пассивные ФВЧ (C1R_{вх}) и ФНЧ (R4C2, R5C3), поступает на базы транзисторов VT3 и VT4, которые усиливают его по напряжению и току. На транзисторах VT5, VT6 собран второй усилительный каскад. Мощные транзисторы VT8, VT9 усиливают сигналы по току. Подстроечным резистором R13 устанавливают при регулировке постоянный ток транзисторов VT8, VT9 в интервале 10...20 мА.

Стабилизация режимов каскадов достигается несколькими петлями ООС. Можно добиться большей стабилизации тока покоя УМЗЧ, если эмиттеры транзисторов VT1, VT2 подключить к резисторам R14, R15, но при этом, возможно, потребуются некоторая дополнительная частотная коррекция усилителя. В противном

случае эти резисторы целесообразно исключить.

Все усилительные каскады работают в режиме небольшого постоянного тока, что позволило добиться высокой стабильности работы УМЗЧ в

более 5 кОм, а неравномерность АЧХ очень незначительна. Остальные параметры усилителя зависят от сопротивления нагрузки и напряжения питания, которое не должно превышать ± 40 В (источник двухполярного напряжения). При указанном на схеме напряжении питания номинальная мощность на нагрузке сопротивлением 4 Ом примерно равна 25 Вт. Такой мощности при использовании АС с чувствительностью 88...90 дБ/Вт/м в большинстве случаев достаточно для жилых помещений.

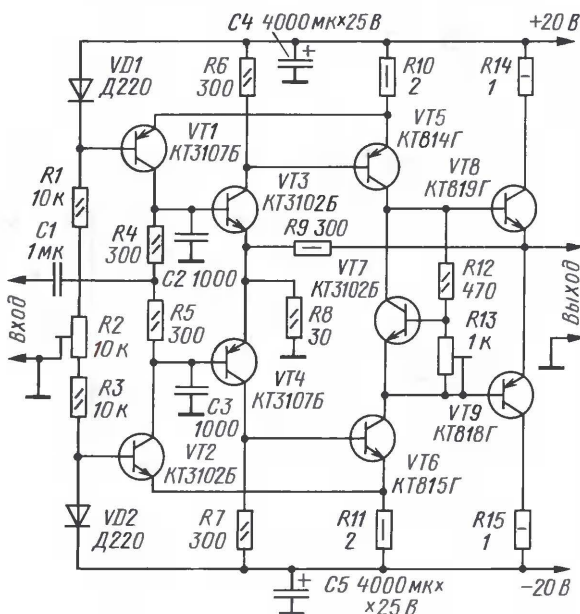
Мощность трансформатора блока питания для двухканального усилителя следует выбирать не менее 80 Вт, а выпрямители выполнить отдельными для каждого из каналов.

Вместо транзисторов КТ814Г, КТ815Г можно применять соответственно серии КТ816, КТ817, а также более высокочастотные КТ646А, КТ626Б (КТ626В) либо их импортные аналоги. Оксидные конденсаторы — К50-6 на соответствующее напряжение (с запасом не менее 20 %) или малогабаритные импортные, например JAMICON. Оксидные конденсаторы желательно шунтировать пленочными конденсаторами К73-9, К73-17 емкостью 0,47...1 мкФ.

Теплоотводы для мощных транзисторов обязательны, их минимальная поверхность рассчитывают исходя из площади 200 см² на 10 Вт рассеиваемой мощности. Стабильности тока покоя усилителя достигают, обеспечив тепловой контакт транзистора VT7 с одним из теплоотводов.

При длине кабелей к акустической системе больше 3 м на выходе усилителя целесообразно включить RL-звено (параллельно включенные резистор сопротивлением 10 Ом и катушка индуктивности 2...3 мГн). Это защитит усилитель от влияния емкостной нагрузки, снижающей устойчивость усилителя с общей ООС.

Редактор — А. Соколов, графика — Ю. Андреев



целом. При этом практически все каскады усилителя могут обеспечить амплитуду тока нагрузки (последующего каскада), заметно превышающую ток покоя, этим достигается повышенная скорость нарастания напряжения.

Чувствительность усилителя — 1,1 В (эфф.), ее можно несколько повысить подбором резистора R9, входное сопротивление в полосе ЗЧ —

О чистке линзы ПКД музыкального центра LG

В. РУБЦОВ, г. Астана, Казахстан

Музыкальные центры с чейнджером на три диска достаточно популярны, и их нечастые отказы в работе — один из поводов, по которым радиолюбители имеют возможность познакомиться с внутренним устройством аудиокomплекса. Загрязнение линзы читающего устройства — наиболее вероятная причина отказа в работе проигрывателя компакт-дисков (ПКД). Как провести очистку линзы, не нарушая юстировки оптической системы, и рассказано в статье с иллюстрациями самого процесса.

Домашний музыкальный центр фирмы LG (показан на **фото 1**) моделей FFH-262A/L/S/AX/AD, FE-262E, FFH-363A/L/S/AX/AD и FE-363E после нескольких лет эксплуатации начинает давать сбои. Довольно часто отказ проявляется отсутствием воспроизведения с компакт-диска. Причиной тому —

очищать через отверстие диаметром 6 мм в пластмассовой раме шасси практически наугад. Поэтому положительный результат такого ремонта удался не с первого раза, а лишь после нескольких попыток. Да и велик был риск сместить головку от установленного при сборке положения.

Поэтому я предлагаю другой способ устранения этой неисправности — менее трудоемкий, более безопасный и удобный. Его производят в следующем порядке.

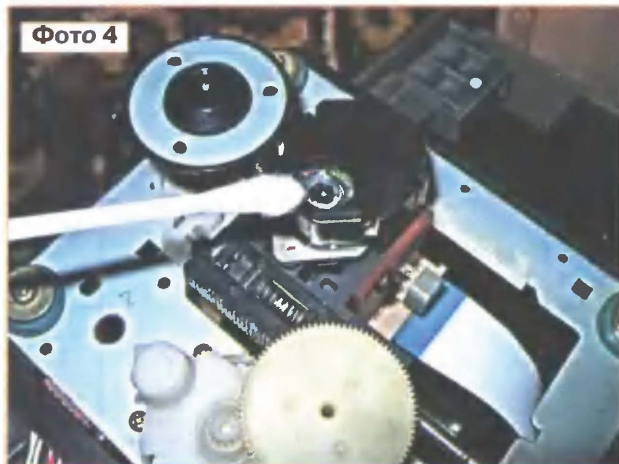
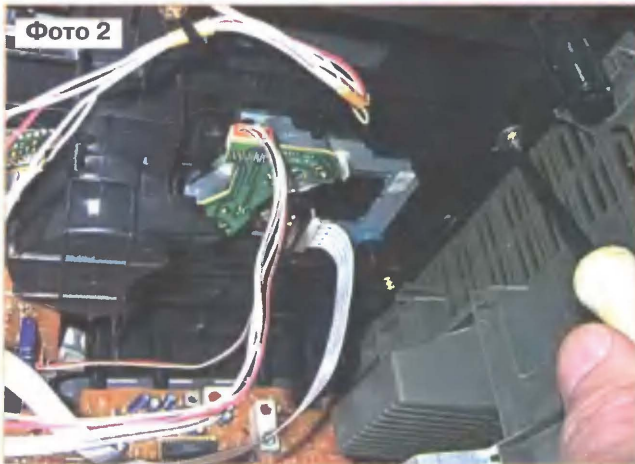
Включают музыкальный центр, выдвигают каретку с компакт-дисками и удаляют их. Не задвигая каретки и не нажимая кнопку вы-

изводят чистку внутренностей пылесосом способом всасывания пыли (для удаления пыли в труднодоступных местах следует использовать кисточку) и протирки ветошью.

Корпус музыкального центра укладывают на левую боковину (на закрытую крышку) и вывинчивают один болт крепления (верхний в таком положении) оси рамы считывающего устройства (на **фото 2** болт, который нужно вывинтить, показан жалом отвертки!). Раму вынимают из оставшегося нетронутым второго узла крепления оси (слегка вверх и на себя) и поворачивают к себе линзой считывающего элемента (**фото 3**) (провода не отсоединяют!).

Чистку линзы производят палочкой с ватой (**фото 4**) в три этапа: сначала сухой ватой (удаляют пыль), затем ватой, смоченной в спирте. После его высыхания снова протирают линзу сухой ватой для удаления возможного налета.

После чистки устанавливают раму со



загрязнение линзы читающего устройства. В журнале ранее опубликована заметка о методике чистки линзы в ПКД, и я попробовал воспользоваться предложенными рекомендациями. Однако методика оказалась весьма трудоемкой: приходилось снимать несколько крышек корпуса, при этом пришлось "ломать голову", открывая хитроумные защелки верхней пластмассовой крышки корпуса и рискуя поломать их. Да и линзу приходилось

включения питания(!), вынимают сетевую вилку из розетки. При таком выключении аппаратуры каретка остается в открытом положении, а рама со считывающей головкой освобождается от захватов и ее передняя часть опускается вниз на соответствующий упор, что облегчает в дальнейшем съем узла для чистки.

Затем снимают правую боковую крышку устройства (смотреть спереди!), вывинтив шесть шурупов. Про-

считывающей головкой на место, затем боковую крышку корпуса и проверяют работу музыкального центра в режиме воспроизведения с компакт-диска.

Такая процедура ремонта занимает всего несколько минут (положительный результат достигается с первой попытки!), она менее трудоемка, более безопасна для самой аппаратуры и намного комфортнее предыдущего способа, ибо

П. МИХАЙЛОВ (RV3ACC), г. Москва

РАДИОВЕЩАНИЕ

РОССИЯ

МОСКВА. Премьер-министр В. Путин поддержал предложение Минкомсвязи РФ изыскать средства на содержание и ремонт Шуховской телевизионной башни в Москве. При этом он заметил, что "башня является одним из символов нашего телевидения". Глава правительства также поддержал идею присвоения недавно запущенному спутнику связи последнего поколения "Экспресс-AM 44" имени первооткрывателя радио Александра Попова.

♦ Высший арбитражный суд РФ запретил трансляцию аудиорекламы в общественном транспорте в любом виде. Действие запрета распространяется не только на видеоролики, сопровождаемые звуком, но и на рекламные объявления, транслируемые через динамики. Основанием для такого решения суда послужила статья 20 Закона "О рекламе", в которой говорится о недопустимости распространения звуковой рекламы с использованием транспортных средств.

♦ ФГУП "Московская городская радиотрансляционная сеть" (МГРС) заключила договор сроком до пяти лет с "Мостелекомом", входящим в холдинг "Национальные телекоммуникации" — НТК, на построение цифровой сети. "Мостелеком" создаст для МГРС выделенную корпоративную сеть передачи данных. Каналы "Мостелекома" соединят более 400 технологических объектов МГРС, повысят отказоустойчивость трансляционной сети и улучшат ее управляемость. Кроме того, МГРС сможет расширить количество транслируемых каналов. Сейчас их всего три: "Радио России", "Маяк" и "Говорит Москва".

♦ На частоте 96,0 МГц начал работу передатчик радиостанции "Вояж FM" (она же "Радио путешественник" или "Дорожная Волна"). Теперь в московском диапазоне УКВ-2 не осталось ни одной свободной частоты!

♦ Московская радиостанция "Кино FM" (98,0 МГц) планирует в третий раз сменить концепцию и стать "разговорным" радио, рассчитанным на широкую аудиторию. Напомним, что в октябре 2008 г. радиостанция "Кино FM" уже сменила свой формат, и в интервалах между музыкальными произведениями начала звучать заставка "98 FM — 98 хитов".

♦ На сайте РИА "Новости" (<www.rian.ru>) появился новый сервис "Звуковые РИА Новости", позволяющий прослушать краткую подборку основных событий последнего часа. Аудионюсности представлены в двух форматах: в виде минутной подборки анонсов "60 секунд" и "Полный выпуск" продолжительностью в несколько ми-

нут. Содержание звуковых записей обновляется по мере поступления новой информации. Пока сервис работает в тестовом режиме: выпуск обновляется только по рабочим дням с 10.00 до 17.00 (по московскому времени).

САНКТ-ПЕТЕРБУРГ. Действующие радиостанции (по состоянию на конец марта 2009 г.):

— Длинные и средние волны (частоты в кГц) — 198 и 549 — "Маяк"; 684 — поочередно "Радонеж", "НЕРПС", "Народный Фактор", "Слово", "Свободный Голос", "Транс-Мировое радио", "Православное радио Санкт-Петербурга"; 828 — поочередно "Слово", "Православное радио Санкт-Петербурга"; 873 — "Радио России"; 1053 — "Мария"; 1089 — "Телос"; 1125 — "Орфей" (Москва); 1188 — "Немецкая Волна" (Германия); 1260 — "Би-Би-Си" (Великобритания); 1323 — поочередно "Град Петров", "Транс-Мировое радио", "Радонеж", "Свободный Голос"; 1440 — "Звезда"; 1494 — "Голос России" — вещание в направлении стран Северной Европы (поочередно "Всемирная Русская служба", "Содружество", "Русское Международное радио").

— Диапазон УКВ (частоты в МГц) — 66,30 — "Радио России" и "Россия — Санкт-Петербург"; 67,45 — "Маяк"; 68,24 — "Love radio"; 68,66 — "Ваня"; 69,05 — "Гардарики"; 69,47 — "Петербург"; 71,24 — "Балтика"; 71,66 — "Ретро FM"; 72,14 — "Наше радио"; 72,68 — "Европа Плюс"; 73,10 — "Мелодия"; 73,82 — "Максимум"; 87,5 — "Навигатор — Дорожное радио"; 88,0 — "Ретро FM"; 88,4 — "Авторadio Санкт-Петербург"; 88,9 — "Юмор FM"; 89,3 — "Вести FM"; 89,7 — "Зенит"; 90,1 — "Эрмитаж"; 90,6 — "Хит"; 91,1 — "Кеос FM"; 91,5 — "Эхо Москвы" / "Эхо Петербурга"; 100,1 — "Ваня"; 100,9 — "Петроград — Русский Шансон"; 101,4 — "Эльдорадио"; 102,0 — "РОКС Северо-Запад"; 102,4 — "Метро"; 103,4 — "DFM" ("Динамит FM"); 103,7 — "Детское радио" ("Дети FM"); 104,0 — "Наше радио"; 104,4 — "Шансон"; 104,8 — "Балтика"; 105,3 — "Love radio"; 105,9 — "Монте-Карло" ("Питер FM"); 106,3 — "Рекорд"; 107,0 — "Маяк FM" (бывш. "Маяк-24"); 107,4 — "Бизнес FM"; 107,8 — "Русское радио".

НОВОСИБИРСК. Здесь начала работать радиостанция "Дача" (частота — 106,7 МГц). Мощность передатчика — 1 кВт, зона охвата: Новосибирск и его окрестности в радиусе 100 км, включая Бердск, Искитим, Обь, Краснообск, Пашино.

ПЕНЗА. На частоте 105,2 МГц началось вещание радиостанции "Экспресс".

Радиоккомпания "Голос России"

Всемирная Русская служба:
— В направлении Европы (частоты в кГц): 06.00—15.00 — 999;
08.00—10.00 и 12.00—13.00 — 9730
DRM (цифровая модуляция в стандарте
DRM); 13.00—14.00 — 9750 DRM; 16.00—

18.00 — 999, 7310; 17.00—18.00 — 630, 999, 1431, 1575; 17.00—20.00 — 11630; 18.00—19.00 — 1494; 18.00—20.00 — 7310; 19.00—21.00 — 1215; 20.00—23.00 — 999; 21.00—22.00 — 630, 693, 1323, 1431, 1575.

— Для Москвы и Московской области (частоты в кГц): 19.00—20.00; 21.00—22.00 — 612.

— В направлении Австралии и Новой Зеландии (частоты в кГц): 12.00—14.00 — 12030, 15660.

— В направлении Центральной Америки (частоты в кГц): 01.00—03.00 — 7260.

— В направлении Азии (частоты в кГц): 02.00—04.00 — 15735, DRM; 15585, 15755; 12.00—14.00 — 1143, 1503, 9745, 12030; 13.00—14.00 — 12055; 15.00—16.00 — 1251, 12055; 15.00—20.00 — 1503.

— В направлении Юго-Восточной Азии (частоты в кГц): 12.00—13.00 — 7390; 12.00—14.00 — 15660.

— В направлении Ближнего и Среднего Востока (частоты в кГц): 01.00—03.00 — 972, 1503; 01.00—04.00 — 648; 06.00—11.00 — 864, 1377; 11.00—12.00 — 648; 12.00—14.00 — 864, 1143, 1377; 12.00—15.00 — 13755, 13870; 12.00—20.00 — 1503; 13.00—14.00 — 15540; 14.00—15.00 — 11985; 14.00—16.00 — 1170; 15.00—16.00 — 1251; 17.00—18.00 — 15540; 17.00—19.00 — 1170; 17.00—20.00 — 648; 18.00—19.00 — 11610; 19.00—21.00 — 12055; 20.00—21.00 — 1170.

— В направлении стран Балтии (частоты в кГц): 07.00—15.00 — 1170; 17.00—20.00 — 11630.

— В направлении Белоруссии (частоты в кГц): 07.00—15.00 — 1170; 16.00—20.00 — 7310; 18.00—20.00 — 1413.

— В направлении Украины и Молдавии (частоты в кГц): 06.00—08.00, суббота—воскресенье: 08.00—09.00, 09.00—15.00, 16.00—18.00, 20.00—23.00 — 999; 12.00—15.00 — 1548.

— В направлении стран СНГ в Средней Азии (частоты в кГц): 01.00—03.00 — 972, 1503; 01.00—04.00 — 648; 02.00—03.00 — 7410; 05.00—07.00, 09.00—12.00 — 972; 06.00—08.00, 11.00—12.00 — 648; 12.00—14.00 — 1143, 15660; 12.00—21.00 — 1503; 13.00—14.00 — 1251; 13.00—17.00 — 12055; 14.00—18.00 — 9800; 16.00—19.00 — 1026; 17.00—18.00 — 5925; 17.00—20.00 — 648.

— В направлении стран СНГ в регионе Кавказа (частоты в кГц): 03.00—15.00 — 1377; 12.00—15.00 — 13755, 13870; 14.00—18.00 — 1089; 14.00—15.00 — 11985; 14.00—19.00 — 1170; 18.00—19.00 — 11610; 19.00—20.00 — 1089, 12055; 20.00—21.00 — 1170, 12055.

Международное "Русское Радио":

— В направлении Европы (частоты в кГц): 02.00—22.00 — 621; 12.00—15.00 — 630, 693, 1323, 1431, 1575; 15.00—18.00 — 1494; 17.00—19.00 — 7300; 19.00—21.00 — 630, 693, 1431, 1575; 21.00—23.00 — 1215.

— В направлении Центральной Америки (частоты в кГц): 01.00—03.00 — 7250; 03.00—04.00 — 9480.

— В направлении Ближнего и Среднего Востока (частоты в кГц): 01.00—

09.00—801; 03.00—05.00—1170; 03.00—12.00—1314; 10.00—12.00—1323; 11.00—12.00—801; 14.00—15.00—15540; 15.00—17.00—801, 15430; 17.00—22.00—5925; 18.00—19.00—1323; 18.00—22.00—1143; 20.00—22.00—1314; 21.00—22.00—864.

— В направлении стран Балтии (частоты в кГц): 00.00—04.00—1170; 15.00—18.00—1494.

— В направлении Белоруссии (частоты в кГц): 00.00—04.00—1170; 08.00—10.00—1215; 12.00—17.00, 18.00—21.00—1143.

— В направлении Украины и Молдавии (частоты в кГц): 02.00—22.00—621.

— В направлении Средней Азии (частоты в кГц): 01.00—09.00, 11.00—12.00, 15.00—17.00—801; 10.00—12.00, 18.00—19.00—1323; 23.00—02.00—1026.

— В направлении Кавказа и Закавказья (частоты в кГц): 02.00—04.00—1089; 03.00—05.00—1170; 03.00—12.00, 20.00—22.00—1314; 14.00—17.00—15540; 17.00—22.00—5925.

Программы "Голоса России" можно также слушать в Интернете по адресу <www.ruvr.ru>.

ЗАРУБЕЖНЫЕ СТРАНЫ

БОЛГАРИЯ, София. Радиостанция "Болгария" в наступившем (летнем) сезоне вещает на русском языке по следующему расписанию: 03.00—04.00—на частотах 1224, 6100, 7400 кГц; 05.00—05.30—на частотах 6100, 7400 кГц; 10.30—11.00—на частотах 11600, 13600 кГц; 14.00—15.00—на частотах 1224, 5900, 7400 кГц; 14.00—15.00—на частоте 7400 кГц; 15.30—16.00—на частоте 9400 DRM кГц; 16.00—16.30 и 18.00—19.00—на частотах 5900, 7400 кГц; 23.00—24.00—на частоте 6200 кГц.

Программа для любителей дальнего радиоприема "DX MIX" транслируется на русском языке на соответствующих частотах (см. выше): по субботам—в 14.40—15.00, 15.40—16.00, 16.10—16.30, 18.40—19.00 и 23.40—24.00; по воскресеньям—в 03.40—04.00, 05.10—05.30 и 10.40—11.00; по понедельникам—в 05.10—05.30; по средам—в 10.40—11.00.

ВЕЛИКОБРИТАНИЯ. В вещании Русской службы "Би-Би-Си" произошли существенные изменения. Подробности можно узнать на интернет-сайте корпорации <<http://news.bbc.co.uk/hi/russian/programmes/default.stm>>.

ВЬЕТНАМ, Ханой. Радиостанция "Голос Вьетнама" на русском языке использует следующее расписание: 11.30—12.00 и 12.30—13.00—на частотах 7220, 9550 кГц; 16.30—17.00 и с 20.00—20.30—на частотах 7280, 9730; 19.00—19.30—на частотах 9725 кГц.

Он-лайн вещание в Интернете (в режиме реального времени) в 16.30—17.00 и 20.00—20.30 по адресу <<http://www.vovnews.com.vn/?page=165&rid=6>>.

ГЕРМАНИЯ. Летнее расписание работы радиостанции "Немецкая Волна" (на коротких волнах): 00.00—01.00—на частотах 6180, 11865, 17865 кГц; 01.00—02.00—на частотах 6115, 9685 кГц; 02.00—03.00—на частоте 15450 кГц;

03.00—04.00—на частотах 11780, 15450 кГц; 04.00—05.30—на частотах 5915, 9545, 13780 кГц; 14.00—15.00—на частотах 11915, 15265, 15620, 15700 кГц; 15.00—16.00—на частотах 15265, 15620, 15690 кГц; 16.00—17.00—на частотах 9715, 11915 кГц.

Часть программ ретранслируется на частотах средневолнового диапазона 693 кГц (Москва), 999 кГц (Молдавия), 1188 кГц (Санкт-Петербург), а также на частотах УКВ 102,4 МГц (Ереван, Армения) и 102,9 МГц (Тбилиси, Грузия).

ИСПАНИЯ, Мадрид. Русская служба радиостанции "Международное Испанское радио" ("REE") отныне работает в 17.00—17.30 на частоте 15325 кГц. Передачи Международного Испанского радио на русском языке можно, в частности, слушать и в Интернете: <<http://www.rtve.es/programas/este>> (нажать линк: "PROGRAMAS").

СЛОВАКИЯ, Братислава. Радиостанция "Международное радио Словакии" ("Radio Slovakia International") с переходом на летнее расписание вещает на русском языке: 13.00—13.30—на частотах 7345, 9440 кГц; 15.00—15.30—на частотах 7345, 9535 кГц; 17.30—18.00—на частотах 5920, 7345 кГц.

США. "Семейное радио" (WYFR—"The Family radio") на русском языке в наступившем вещательном сезоне работает в 4.00—5.00 на частоте 9355 кГц; 16.00—18.00—на частоте 18930; 19.00—20.00—на частоте 15600 кГц.

УКРАИНА. Национальный совет по вопросам телевидения и радиовещания Украины обязал российский канал "РТР-Планета" открыть украинское представительство. Позиция украинской стороны заключается в том, чтобы РТР стал лицензиатом Нацсовета Украины по ТВ и радиовещанию. После этого стороны смогут вернуться к переговорному процессу относительно трансляции канала "РТР-Планета" на территории Украины.

ФИНЛЯДИЯ. Исследования, проведенные профессором хельсинкского Технологического университета Микко Самсом, показали, что прослушивание радио повышает у человека активность мозга, развивает память и способность к изучению языков. Ученый считает, что люди, много слушающие радио, как и играющие на музыкальных инструментах, намного более чувствительны к улавливанию нюансов речи, лучше обнаруживают в разговоре эмоциональные оттенки и тратят меньше времени на изучение иностранных языков. Рассказывая о своих исследованиях в эфире финской телерадиокомпании "Юле", Самс заметил, что радио, по его мнению, является лучшей по сравнению с телевидением обучающей формой при освоении иностранных языков, поскольку требует от своих слушателей большей концентрации и не дает человеку возможности получить дополнительную информацию за счет видеоряда. "Чем больше мы концентрируем внимание и память, тем больше заучиваем",— утверждает профессор. "Иллюзия о том, что все мы слышим мир одинаково, неверна",— утверждает профессор Самс.

ШВЕЦИЯ. Радиостанция "Радио Швеции" на русском языке в летнем вещательном сезоне 2009 г. передает на русском языке: для Европы и Азии в 13.00—13.30—на частоте 12075 кГц, плюс спутниковый канал; для Европы в 14.00—14.30—на частоте 11550 кГц; в 16.30—17.00—на частоте 9690 кГц; в 18.30—19.00 и 19.30—20.00—на частотах 6065, 1179 кГц.

В регионе Большого Стокгольма русские программы "Радио Швеции" транслируются ежедневно на частоте 89,6 МГц в 20.30 по местному времени. Вещание через спутники—подробности—на <www.sr.se/cgi-bin/International/nyhetssidor/artikel.asp?nyheter=1&ProgramID=2103&Artikel=1128346>.

НОВОСТИ ТЕЛЕВИЗИОННОГО ВЕЩАНИЯ

МОСКВА. Гостелерадиофонд организует интернет-портал <cccp-tv.ru>, на котором со временем будут размещены видеоматериалы из архива Гостелерадиофонда. На первом этапе для размещения на сайте будет представлено 40 час. контента из коллекции фонда, включая такие программы, как "Кабачок 13 стульев", "Хоккей СССР—Канада", "Чуковский в гостях у детей" и многие другие. Гостелерадиофонд насчитывает более 1 млн единиц звуковых записей, более 400 тыс. единиц аудиовизуальной продукции. Создатели портала надеются на то, что сайт привлечет молодую аудиторию, которая интересуется историей, и людей старше 35 лет, у которых эти программы вызовут приятные ностальгические воспоминания. Для входа на сайт пользователю будет необходимо зарегистрироваться, а потом скачать программу для просмотра. Регистрация, как и просмотр видео, будет бесплатной. Архив включает программы и телефильмы, произведенные в СССР по заказу Гостелерадио, в том числе такие популярные программы, как "Голубой огонек", "Клуб путешественников", а также фильм "Место встречи изменить нельзя" и др. В этом году Гостелерадиофонд получил в управление права на фильмы и программы, произведенные на студиях "Экран" и "Союзтелефильм".

ПАНАМА. Русскоязычный телеканал "Inter Russia TV Channel", базирующийся в Панаме, начал круглосуточное вещание на территорию Латинской Америки. Канал охватывает страны от Мексики до Аргентины и Чили и транслирует выпуски новостей о жизни в России и мире, в первую очередь в Латинской Америке. Кроме того, зрителям предлагаются передачи на темы культуры, спорта и образования. По словам создателей канала, его потенциальная аудитория в странах Латинской Америки составляет порядка 120000 человек. Это—граждане России и стран СНГ, которые там живут и работают, а также выпускники российских и советских вузов, сохранившие интерес к русской культуре.

Хорошего приема и 73!

Измеритель коэффициента заполнения

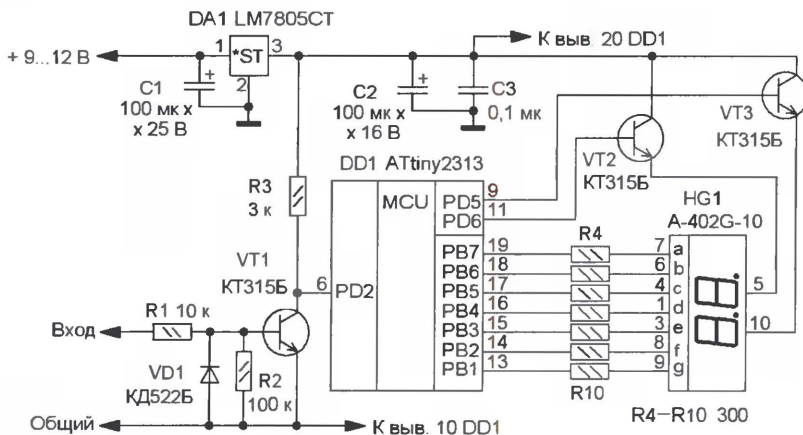
В. НЕФЕДОВ, г. Брянск

В практике радиолюбителя измерения скважности или коэффициента заполнения бывает необходимо при налаживании или проверке различных узлов импульсной техники, автоэлектроники и т. д. Предлагаемое устройство собрано на микроконтроллере и измеряет коэффициент заполнения периода импульса в процентах. Следует

пульсы непосредственно с тактового генератора микроконтроллера.

Если частота входного сигнала менее нижней границы диапазона рабочих частот, на индикаторе отображаются символы "Lo", если более верхней — символы "Hi", как для диапазона до 40 кГц, так и для диапазона до 100 кГц.

Поскольку долговременной стабильности тактового генератора микроконтроллера не требуется, использован встроенный RC-генератор, работающий на частоте 8 МГц, что упрощает схему устройства. На транзисторе VT1 собран узел согласования уровней входного сигнала с логическими уровнями микроконтроллера, что необходимо при измерении сигналов с различной амплитудой. Дiode VD1 защищает эмиттерный переход транзистора VT1 от пробоя при подаче на вход переменного или импульсного сигнала минусовой полярности. Напряжение питания микроконтроллера стабилизировано микросхемным стабилизатором DA1.



напомнить, что скважность S — это отношение периода следования T (повторения) импульсов одной последовательности к их длительности t . Величина, обратная скважности, называется коэффициентом заполнения D : $S = T/t = 1/D$. Частое применение в практике находит сигнал с $S = 2$ или $D = 0,5$ — меандр.

Устройство отображает коэффициент заполнения в интервале от 1 до 99 % с разрешением 1 %, погрешность в середине интервала составляет 1...2 %. Диапазон частот входного импульсного сигнала — от 4 Гц до 40 кГц и может быть расширен до 100 кГц, амплитуда сигнала — от 1 до нескольких десятков вольт. Вычисление коэффициента заполнения в процентах осуществляется в соответствии с выражением $D = 100/T$. Алгоритм измерения длительности импульса и периода основан на счете импульсов тактового генератора микроконтроллера с помощью 16-разрядного таймера-счетчика TC1. Для расширения диапазона измерений и обеспечения их точности частота импульсов, поступающих на вход таймера-счетчика TC1, при необходимости понижается делителем частоты в 64 раза. Это происходит в том случае, если за период следования входного импульсного сигнала происходит прерывание по переполнению счетчика-таймера TC1. Если этого не происходит, делитель частоты отключается и на таймер-счетчик TC1 поступают им-

```

:020000020000FC
:100000004AC01895189518951895DFC0B8VC018956B
:100010001895189518951895189518951895189578
:100020001895189518951895189518951895189578
:10003000809010111213141516171819202122233C
:1000400024252627282930313233343536373839BC
:10005000404142434445464748495051525354550A
:100060005657585960616263646566676869707164
:100070007273747576777879808182838485868788
:100080008889909192939495969798990039F250DBE
:10009000999A9B9C9D9E9F00010203040506070809
:1000A00002B0C0D0E0F00010203040506070809
:1000B0000E0F000102030405060708090A0B0C0D0E0F
:1000C0000789A00004FF00CF4B7F1121319F01F3F2
:1000D00021F005C032E052E02C021E052E11274C
:1000E0008299FECF22272EBD0002DBD2C8B829B04
:1000F000FECF5EBC8299FECF829BFCF22272EBD13
:10010000ECB5FDB340FD0C0F2339F4E83C28F40A
:100110001FED7CF4E7F1127B4CF8299FECF222752
:100120002EBD0002DBD2C8B829BFCF5EBC8299F2
:10013000FECF22272EBD8C4BD424E6DD24C22EF2
:1001400006D0FF24AC2C8B2CF24CE2EDF2E41D05E
:10015000146E1A19143610F01127B3CF0FE0E8E2D4
:10016000E10FC895502D5F70602D607F6295F0E0C3
:10017000EC8E8F93E50FC8B888E1A1C8B1CEEC1C75
:1001800006D09FCF4F6B8951A9469F424E612EDB
:100190004460112331F01F3F09F005C052E1F609BB
:1001A00002C055EC63EE41FF08C04D7F93980000FA
:1001B000969A000058BB4FBE189542609698000072
:1001C000959A000068BB4FBE18954F6B41604FBE70
:1001D000189577249918881889E1A1C8B1CEEC1C75
:1001E0008A9309F40895771C881C991C7C188D0841
:1001F0009F0828F47C0C801C9F1C8894ECF0894DB
:10020000ECBFF24EE2480ED694C79410F4EA05DE
:10021000F1CF794E794D794C7948A953F708958F
:00000001FF
    
```

Схема измерителя показана на рисунке. Основа устройства — микроконтроллер ATtiny2313, работающий по программе, коды которой приведены в табл. 1. Он производит все необходимые вычисления и выводит информацию на светодиодный двухразрядный индикатор в режиме динамической ин-

Таблица 2

CDIV8	1
CKOUT	1
SUT1	1
SUT0	0
CKSEL3	0
CKSEL2	0
CKSEL1	1
CKSEL0	0
WDTON	1

Таблица 3

CDIV8	1
CKOUT	1
SUT1	0
SUT0	1
CKSEL3	1
CKSEL2	1
CKSEL1	0
CKSEL0	0
WDTON	1

Печатная плата не разрабатывалась, все детали смонтированы на макетной плате с использованием проводного монтажа. Применены резисторы МЛТ, C2-23, оксидные конденсаторы — импортные, C3 — К10-17. Стабилизатор напряжения LM7805 можно заменить на KP142EH5A. Индикатор A-402G-10 — на два отдельных семизначных светодиодных индикатора с общим анодом, объединив выводы одноименных элементов, а общие аноды, соединив с эмиттерами транзистора VT2 или VT3 (к VT2 подключают аноды младшего разряда). Питая устройство напряжением 9...12 В можно от нестабилизированного блока питания, потребляемый ток зависит от индицируемых значений и не превышает 60 мА.

Если микроконтроллер настроить на работу от генератора с внешним кварцевым резонатором на частоте 20 МГц, подключив его по стандартной схеме, верхняя граница диапазона рабочих частот возрастет до 100 кГц. Проверка показаний устройства проводилась с применением цифрового мультиметра APPA-107M, который имеет встроенный измеритель коэффициента заполнения.

Устройство налаживания не требует. При программировании микроконтроллера разряды конфигурации устанавливаются в соответствии с табл. 2. Для генератора с кварцевым резонатором 20 МГц они приведены в табл. 3.

От редакции. Программы для микроконтроллера находятся на нашем FTP-сервере по адресу <ftp://ftp.radio.ru/pub/2009/05/izmd.zip>.

Редактор — И. Нечаев, графика — И. Нечаев

Мостовой измеритель импеданса — приставка к компьютеру

Заинтересовавшись измерением импеданса с помощью компьютера, американский радиолобитель Джордж Стебер (George R. Steber, WB9LVI) разработал простую измерительную приставку, подключаемую к аудиокарте компьютера, и разработал управляющую аудиокартой программу, которая выполняет все необходимые расчеты и наглядно отображает результат на экране монитора. Об этом и о некоторых полученных результатах он написал в статьях [1, 2], опубликованных американскими радиолобительскими журналами QST и QEX. Изложение этих статей мы предлагаем читателям.

Импеданс (от лат. impedire — препятствовать) — полное сопротивление электрическому току, самая важная величина, характеризующая любой элемент линейной электрической цепи: резистор, конденсатор, катушку индуктивности. Обладают импедансом (входным, выходным, а в некоторых случаях и переходным — отношением выходного напряжения к входному току или наоборот) и более сложные устройства — усилители, генераторы, фильтры, антенно-фидерные системы.

Импеданс Z — комплексная величина: $Z = R + jX$.

Его действительная часть — знакомое всем активное сопротивление R — характеризует способность элемента превращать электрическую энергию в тепловую, механическую или излучать ее в пространство в виде электромагнитных волн. Мнимая часть — реактивное сопротивление X . Оно характеризует способность элемента хранить энергию в своем электрическом или магнитном поле.

В соответствии с приведенной выше формулой любой элемент линейной электрической цепи можно рассматривать как состоящий из последовательно соединенных резистора и конденсатора (при $X < 0$) или катушки индуктивности (при $X > 0$). Такие "эквивалентные" схемы самых распространенных элементов приведены в табл. 1. Они неплохо

по ней тока — той, на которой измерен импеданс. Чтобы учесть зависимость свойств реального элемента от частоты точнее, применяют и другие эквивалентные схемы, например, с параллельным соединением активного и реактивного компонентов, а также с увеличенным их числом.

Часто для удобства вычислений импеданс выражают в показательной форме:

$$Z = |Z|e^{j\theta},$$

где $|Z| = \sqrt{R^2 + X^2}$ — модуль полного сопротивления (отношение амплитудных значений синусоидальных напряжения и тока); $\theta = \arctg(X/R)$ — фазовый сдвиг между напряжением и током.

Первоначально автор предполагал применить мостовую схему, показанную на рис. 1. Здесь источники напряжения

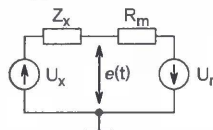


Рис. 1

U_x и U_r — цифроаналоговые преобразователи (ЦАП), генерирующие синусоидальные сигналы одной и той же круговой частоты ω_0 , но разной амплитуды и фазы:

$$U_r = A \sin(\omega_0 t);$$

$$U_x = B \sin(\omega_0 t + \varphi).$$

Таблица 1

Элемент	Эквивалентная схема	Импеданс
Резистор		$Z = R$
Катушка индуктивности		$Z = R_L + j2\pi fL$
Конденсатор		$Z = R_C - \frac{j}{2\pi fC}$

отражают отличия свойств реальных элементов от идеальных, но зачастую лишь вблизи одной частоты приложенного к цепи напряжения или текущего

Амплитуда A образцового напряжения U_r неизменна, а его начальная фаза принята за ноль. Параметры B и φ напряжения U_x изменяют

таким образом, чтобы сбалансировать мост — добиться равенства нулю напряжения $e(t)$, измеряемого компьютером с помощью аналого-цифрового преобразователя (АЦП).

Можно показать, что при балансе выполняется равенство

$$Z_x = R_m \frac{B}{A} \cos \varphi + jR_m \frac{B}{A} \sin \varphi.$$

Для балансировки моста был выбран метод наименьших средних квадратов (англ. LMS — least mean square). Он заключается в вычислении среднеквадратического значения напряжения $e(t)$ и его минимизации постепенным изменением значений B и φ . Соображения по выбору оптимального алгоритма измерения приведены в статье [2].

Достоинство алгоритма LMS заключается в том, что результат измерения не зависит от абсолютных значений амплитуды сигналов, а только от их отношения и от сопротивления образцового резистора R_m . Недостаток — требуется большой объем вычислений, с которым, однако, современный компьютер вполне справляется. Еще один недостаток состоит в том, что элемент Z_x , импеданс которого измеряется, не имеет соединения с общим проводом, что может оказаться значительным неудобством при практических измерениях. Отметим также, что отсчеты формируемых цифровым методом сигналов U_x и U_r , а также напряжения $e(t)$ должны производиться синхронно.

Типовая аудиокарта персонального компьютера содержит прекрасные 16-разрядные двухканальные ЦАП и АЦП. Она, казалось бы, прекрасно справится с поставленной задачей, если бы не требование синхронности выходных и входных отсчетов...

Тот, кто знаком с операционной системой Windows, вероятно, знает, что все операции ввода-вывода она выполняет через буферы. И сама решает, когда тот или иной буфер будет прочитан или заполнен новой информацией для вывода. Это и не дает возможности синхронизировать ввод и вывод с точностью до отсчета.

После безуспешных попыток решить эту проблему автор пришел к заключению, что нужно искать другое схемное решение мостового измерителя импеданса. В результате родилась схема измерительной приставки к компьютеру, показанная на рис. 2. Разъем XS1

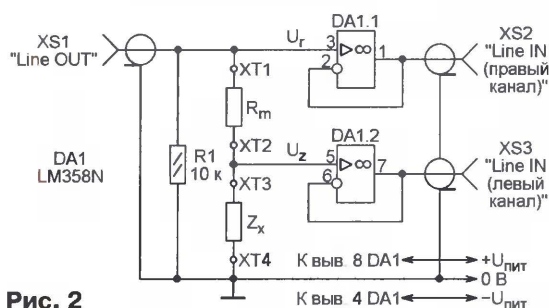


Рис. 2

соединяют с выходом "Line OUT" аудиокарты компьютера, а разъемы XS2 и XS3 — соответственно с правым и левым каналами ее входа "Line IN". Можно

использовать стандартные экранированные аудиокабели с соответствующими разъемами.

К зажимам XT1, XT2 подключают образцовый резистор R_m , а к зажимам XT3, XT4 — элемент, импеданс которого Z_x необходимо измерить. Соприотвление образцового резистора должно быть известно с погрешностью не более 1 %.

ОУ DA1.1 и DA1.2 служат буферами, устраняющими влияние емкости соединительных кабелей и входного сопротивления звуковой карты на результаты измерения. Здесь применен недорогой двоярный ОУ LM358N, однако подойдут и его многочисленные аналоги.

Микросхему DA1 питают от любого двоярного источника постоянного напряжения. Значение $U_{пит}$ должно лежать в интервале 3...15 В, причем рекомендуется выбирать его поменьше, что убережет входы аудиокарты от случайного повреждения. Можно использовать батарею из четырех гальванических элементов типоразмера AAA, сделав отвод от ее середины.

Внешний вид собранной на макетной плате приставки показан на рис. 3.

Желательно, чтобы в компьютере была установлена полнодуплексная аудиокарта с низким уровнем шума и нелинейных искажений. Прекрасно подойдет, например, Sound Blaster Live. Вероятно, пригодны и многие другие аудиокарты, но поскольку Дж. Стебер их не испытывал, он ограничивается описанием работы именно с этой.

Если уровни входных и выходных сигналов отрегулированы неправильно, источниками искажений могут стать как входные, так и выходные усилители аудиокарты. Проверка, проведенная с помощью цифрового осциллографа TDS360, имеющего режим анализатора спектра, показала, что при $R_m=10$ Ом и $Z_x=0$ (зажимы XT3 и XT4 замкнуты) вторая и третья гармоники выходного сигнала становятся заметными, если U_x превышает 820 мВ. Поскольку напряжение сигнала на линейном выходе аудиокарты может достигать 1,62 В, его следует уменьшить с помощью "аудиомикшера" Windows либо с помощью регулировки, предусмотренной в рассматриваемой далее программе измерения импеданса.

Автор предпочел, установив в Windows максимальную громкость воспроизведения, задавать в своей программе легко запоминаемый коэффициент 0,5. Особой точности здесь не требуется, так как алгоритм LMS нечувствителен к фактическому значению напряжения U_x . Однако существует опасность перегрузки входных усилителей линейного входа аудиокарты. Проверка показала, что этого не происходит даже при установке в Windows максимального уровня записи, если напряжение подаваемого на измерительный мост сигнала не превышает 0,82 В.

Очень важна балансировка чувствительности двух входных каналов. Она непосредственно влияет на точность вычисления программой значения U_x-U_y .

Несколько замечаний относительно устаревших, но еще установленных во многих компьютерах аудиокарт SB16 и AWE32 и некоторых других, "совмести-

литека времени исполнения системы Visual Basic, обычно уже установленная на многих компьютерах. В противном случае ее легко найти в виде самораспаковывающегося архива на странице интернет-сайта компании Microsoft <www.microsoft.com/downloads> под названием "Visual Basic 6.0 SP5: Runtime Redistribution Pack (VBRun60sp5.exe)".

При успешном запуске программы LMSbridge на экране монитора появится окно, изображенное на рис. 4. Его центр занимает экран программного осциллографа, отображающего снимаемые с моста сигналы. Вверху слева от экрана в поле "Oscilloscope" находятся органы управления, которыми можно установить наиболее удобный масштаб изображения по вертикали и по горизонтали ("Time Base"). Ниже находится поле управления двумя вертикальными линиями-курсором, с помощью которых можно получить числовые значения отсчетов наблюдаемых осциллограмм.

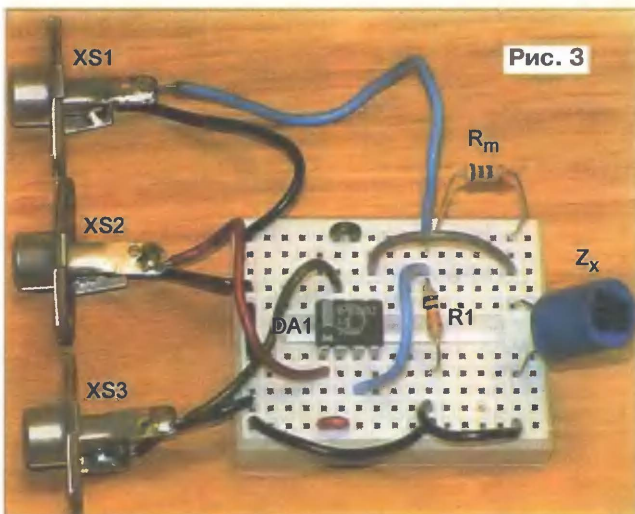


Рис. 3

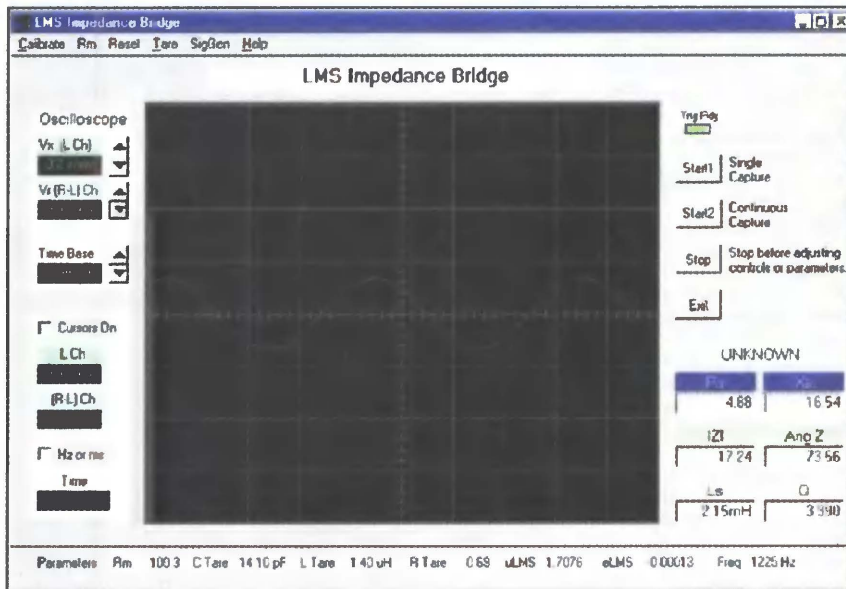


Рис. 4

мых" с Sound Blaster. К сожалению, не все они способны работать в режиме полного дуплекса. После длительных экспериментов автору удалось заставить одну из таких карт работать с программой измерения импеданса, но полученные результаты оказались не совсем удовлетворительными.

Архив с программой LMSbridge можно "скачать" по адресу <www.arrl.org/files/qst-binaries/steber1005.zip>. Распаковав его в отдельную папку, подключите к компьютеру описанную выше приставку и запустите программу. При попытке сделать это на экране может появиться сообщение об ошибке "Required DLL file MSVBVM60.DLL was not found" (требуемый файл динамической библиотеки не найден). Это — биб-

Наиболее важная область окна находится внизу справа под рубрикой "UNKNOWN" (неизвестные). Здесь отображаются результаты измерения: R_s и X_s — соответственно действительная и мнимая части измеренного импеданса (Ом); $|Z|$ и $\text{Ang } Z$ — модуль (Ом) и фазовый угол (град.) импеданса, представленного в показательной форме; L_s и Q — соответствующая измеренному X_s индуктивность (Гн) и ее добротность. Если X_s меньше нуля, то вместо индуктивности на экран выводятся емкость C_s (Ф) и тангенс угла потерь d .

Прежде чем выполнять измерение, необходимо, выбрав пункт "Rm" главного меню программы, задать значение образцового сопротивления, подключенного к зажимам XT1 и XT2. Заданное

значение отображается в самой нижней строке окна программы слева. Чем точнее известно образцовое сопротивление, тем более точным будет результат. Ориентировочные пределы измерения индуктивности и емкости в зависимости от образцового сопротивления при частоте измерительного сигнала 1225 Гц приведены в табл. 2.

Таблица 2

R_m , Ом	L	C
10	13 мкГн — 13 мГн	0,13 мкФ — 1300 мкФ
100	130 мкГн — 130 мГн	0,013 мкФ — 130 мкФ
1000	1,3 мГн — 1,3 Гн	1300 пФ — 13 мкФ
10000	13 мГн — 13 Гн	130 пФ — 1,3 мкФ
100000	130 мГн — 130 Гн	13 пФ — 0,13 мкФ

Частоту и амплитуду этого сигнала можно изменить, воспользовавшись пунктом "SigGen" главного меню. Выбранное значение частоты (Freq) будет отображено в самой нижней строке окна справа.

Однократное измерение выполняют, нажав на кнопку Start1 справа от экрана осциллографа. При нажатии на кнопку Start2 измерения повторяются циклически до нажатия на Stop. Учтите, стандартная кнопка завершения программы в верхнем правом углу ее окна не действует. Чтобы выйти из программы, нужно нажать на расположенную под кнопкой Stop кнопку Exit.

Как и любой измерительный прибор, рассмотренный мост имеет паразитные параметры, которые влияют на результаты измерений. В программе предусмотрен их учет и соответствующая автоматическая корректировка результатов, но для этого необходимо проинформировать ряд контрольных замеров.

При $R_m=100$ кОм и в отсутствие измеряемого элемента Z_x (к зажимам ХТ3 и ХТ4 ничего не подключено) измеряют паразитную входную емкость прибора. У автора она получилась равной 14,1 пФ. Открыв пункт главного меню "Tare — Manual Tare", заносит в соответствующую графу полученное значение. Далее к зажимам ХТ1 и ХТ2 подключают образцовый резистор сопротивлением 10 Ом, не забыв ввести это значение в программу. Зажимы ХТ3 и ХТ4 соединяют короткой перемычкой. Измеряют паразитные индуктивность и сопротивление проводов моста. Полученные значения вводят в соответствующие графы окна "Manual Tare".

Для настройки аудиокарты откройте на "Панели управления" Windows пункт "Звуки и аудиоустройства". На закладке "Аудио" этого окна нажмите на экранную кнопку "Громкость..." в поле "Воспроизведение звука". В открывшемся окне "Общая громкость" установите в максимальное положение движки регулировки громкости "Общая" и "Звук". Все остальные каналы, в том числе "Лин. вход", выключите. Очень важно, чтобы все движки "Баланс" были установлены строго в среднее положение. Иначе можно получить очень странные результаты.

Закрыв окно "Общая громкость", нажмите на кнопку "Громкость..." в поле "Запись звука". В открывшемся окне "Уровень записи" включите "Лин. вход", установите здесь максимальную громкость и выключите все остальное.

Импеданс многих электронных компонентов был измерен как с помощью описанных выше приставки и программы, так и измерителем сопротивления, индуктивности и емкости промышленного изготовления. В спецификации этого прибора было указано, что его погрешность — 1...5 % в зависимости от измеряемой величины и выбранного предела. В большинстве случаев различие показаний двух приборов укладывалось в 1 %. Исключение — малогабаритные катушки индуктивности на ферритовых магнитопроводах, при измерении которых результаты различались значительно больше.

Чтобы измерить входной импеданс усилителя или другого устройства, достаточно подключить "горячий" провод интересующего входа к зажиму ХТ3 моста, а общий ("холодный") — к зажиму ХТ4. Чтобы не перегрузить проверяемое устройство, необходимо установить минимально необходимый уровень подаваемого на мост с аудиокарты напряжения и выбрать образцовое сопротивление, близкое к ожидаемому модулю измеряемого импеданса. Учтите, что входной импеданс многих устройств сильно зависит от частоты и амплитуды сигнала. Поэтому измерения желательно повторять при нескольких значениях этих параметров.

Автору статьи удалось измерить импеданс линейного входа используемой аудиокарты. Для этого оказалось достаточно, исключив из схемы ОУ DA1.2, соединить вход левого стереоканала непосредственно с зажимом ХТ2 или ХТ3. На частоте 1225 Гц при $R_m=1$ кОм получено значение модуля импеданса 28,2 кОм с фазовым углом 6,41°.

Обмотки трансформаторов и громкоговорители подключают непосредственно к зажимам ХТ3 и ХТ4. Измерение импеданса громкоговорителей рекомендуется начинать при $R_m=10$ Ом. В качестве примера автор привел результаты измерения импеданса первичной обмотки небольшого аудио-трансформатора Mouser 42MC003 с коэффициентом трансформации 12,25. При нагрузке вторичной обмотки резистором 8,2 Ом результат получился равным 1,24 кОм с фазовым углом 13,78° (частота 1225 Гц, $R_m=1$ кОм).

Если измерять индуктивность катушки, не имеющей магнитопровода, изменяя с помощью аудиомикшера Windows напряжение сигнала, подаваемого на измерительный мост с аудиокарты, можно убедиться, что результат хотя и немного меняется под действием шума и помех, но в целом от уровня сигнала не зависит. Иное дело — катушка с ферромагнитным магнитопроводом. К удивлению автора статьи (а он все-таки бывший профессор электроники), обнаружилось, что ее индуктивность растет с увеличением уровня сигнала. Оказывается, магнитная проницаемость ферромагнетика имеет наименьшее значение при близкой к нулю напряженности магнитного поля и растет с ее увеличением. Поскольку индуктивность пропорциональна магнитной проницаемости, она

минимальна при самом малом токе сигнала. Если же увеличивать ток, индуктивность возрастает, но при некотором его значении наступает насыщение магнитопровода (об этом-то автор знал!) и индуктивность вновь начинает уменьшаться. Этот факт всегда учитывается разработчиками импульсных стабилизаторов напряжения.

Интересно, что активная часть импеданса катушек индуктивности зависит от частоты. Измерения упомянувшегося выше трансформатора с ненагруженной вторичной обмоткой подтверждают это. При изменении частоты от 525 до 2205 Гц активная часть импеданса изменяется от 1,14 до 3,93 кОм. С нагрузкой 8,2 Ом интервал ее изменения уменьшается до 1,06...1,26 кОм. Подобным образом ведут себя электромагниты. Их импеданс зависит и от положения якоря.

Попробуйте подключить к измерительному мосту в качестве Z_x так называемый конвертер отрицательного со-

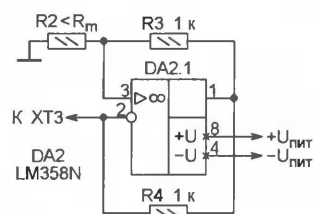


Рис. 5

противления (КОС), собранный по схеме, изображенной на рис. 5 (нумерация элементов продолжает начатую на рис. 2). Нужно обязательно позаботиться о том, чтобы сопротивление резистора R2 было меньше образцового R_m , иначе возникнет генерация. При $R_m=1$ кОм и $R2=470$ Ом программа LMSbridge показывает импеданс **минус** 470 Ом! На практике КОС находят очень ограниченное применение из-за склонности к самовозбуждению.

ЛИТЕРАТУРА

1. Steber G. Low Cost Automatic Impedance Bridge. — QST, 2005, October, p. 36—39.
2. Steber G. An LMS Impedance Bridge. — QEX, 2005, September/October, p. 41—47.

Материал подготовил
А. ДОЛГИЙ

г. Москва

МОДУЛЬНАЯ РЕКЛАМА

Контрольный приемник коротковолновика — цифровой всеволновый **DEGEN DE1103** — 3700 рублей. Описание здесь: <http://www.dessy.ru>. Заказывать здесь: 105318, г. Москва, а/я 52 "ПОСЫЛТОРГ", E-mail: post@dessy.ru, Тел. (495) 543-47-96, (985) 366-87-86.

Малогабаритный лабораторный ИП

И. НЕЧАЕВ, г. Москва

Источник питания (ИП), о котором рассказывается в статье, — усовершенствованный вариант аналогового устройства, описанного в "Радио", 2008, № 12, с. 28, 29 (Нечаев И. "Блок питания на основе понижающего трансформатора галогенных ламп"). Он также собран на основе трансформатора для питания низковольтных галогенных ламп, но в отличие от прежней конструкции может работать в режиме стабилизации выходного тока, что позволяет использовать его для зарядки аккумуляторов различных типов и составленных из них батарей. Новый ИП снабжен встроенным цифровым измерительным прибором, который используется не только для измерения выходных напряжения и тока, но и как автономный вольтметр, что удобно при налаживании и проверке различной радиоэлектронной аппаратуры.

Предлагаемый сетевой ИП предназначен для питания различных радиоэлектронных устройств с контролем выходного напряжения, тока нагрузки и напряжения пульсаций. Прибор отличается малыми габаритами, поэтому для отвода выделяемого тепла в нем применено принудительное воздушное охлаждение.

Основные технические характеристики

Входное напряжение, В 220
 Пределы регулирования выходного напряжения, В 0...12
 Пределы регулирования выходного тока, А 0,1...2,5
 Пределы измерения напряжения встроенного вольтметра, В 0...19,99
 Входное сопротивление вольтметра, МОм 10
 Габариты ИП (без выступающих элементов), мм ... 145×50×100

Схема ИП показана на рис. 1. Переменное напряжение обмотки II сетевого

трансформатора Т1 выпрямляется диодным мостом VD1—VD4, конденсаторы C3, C4 сглаживают пульсации выпрямленного напряжения. Светодиод HL1 — индикатор включения. На микросхеме DA5 собран регулируемый стабилизатор, на транзисторе VT2 и светодиоде HL2 — индикатор пульсаций выходного напряжения.

Микросхема параллельного стабилизатора DA2 использована в качестве источника образцового напряжения для узла управления вентилятором M1 (VT1) и стабилизатора (ограничителя) выходного тока. В состав последнего входят резистивный датчик тока R11, усилитель постоянного тока (DA4.1), дифференциальный усилитель (DA4.2) и усилительный каскад (VT3) — эти узлы управляют стабилизатором напряжения DA5.

Для измерения напряжения на нагрузке и потребляемого ею тока применена цифровая измерительная головка PMLCDL фирмы Velleman (PV1), представляющая собой вольтметр постоянного тока с ЖК индикатором (3½ разряда). Предел измерения выбирают

установкой проволочных перемычек на ее плате и резистивных делителей на входе. Для питания головки необходим источник стабилизированного напряжения 7...12 В, не имеющий гальванической связи с элементами контролируемой цепи. Потребляемый головкой ток не превышает 1 мА.

В положении "I" переключателя SA2.1 вход головки PV1 (выводы 1 и 2) через делитель R12R13 подключен к выходу усилителя постоянного тока на ОУ DA4.1. Его выходное напряжение зависит от падения напряжения на датчике тока R11 и коэффициента усиления, определяемого отношением сопротивлений резисторов R10, R14, которые образуют цепь ООС, охватывающей ОУ. При переводе переключателя в положение "U" головка через тот же делитель подключается к выводу 2 стабилизатора DA5 и измеряет выходное напряжение ИП, а в положение "U_{внешн.}" — к гнезду XS3, на которое подают контролируемое напряжение в цепях питаемого от ИП устройства.

Если предполагается измерять напряжение в цепях, гальваническая связь которых с общим проводом ИП недопустима, переключатель необходимо дополнить второй секцией (SA2.2) и ввести еще одно гнездо (XS4), подключив их, как показано на схеме штриховыми линиями (не забудьте при этом разорвать соединение с общим проводом в точке А). После такой доработки в первых двух положениях переключателя вход IN—(вывод 2) измерительной головки, как и прежде, соединен с общим проводом ИП, а в третьем ("U_{внешн.}") эта связь будет разрываться. Контролируемое напряжение подают на гнезда XS3 и XS4.

На микросхеме DA1 выполнен преобразователь с выходными напряжениями -1,25 и +9 В. Устройство собрано по известной схеме с инвертированием напряжения, но в качестве накопительного дросселя использована обмотка I трансформатора Т2. Возникающие на ней импульсы напряжения отрицательной полярности выпрямляются диодом

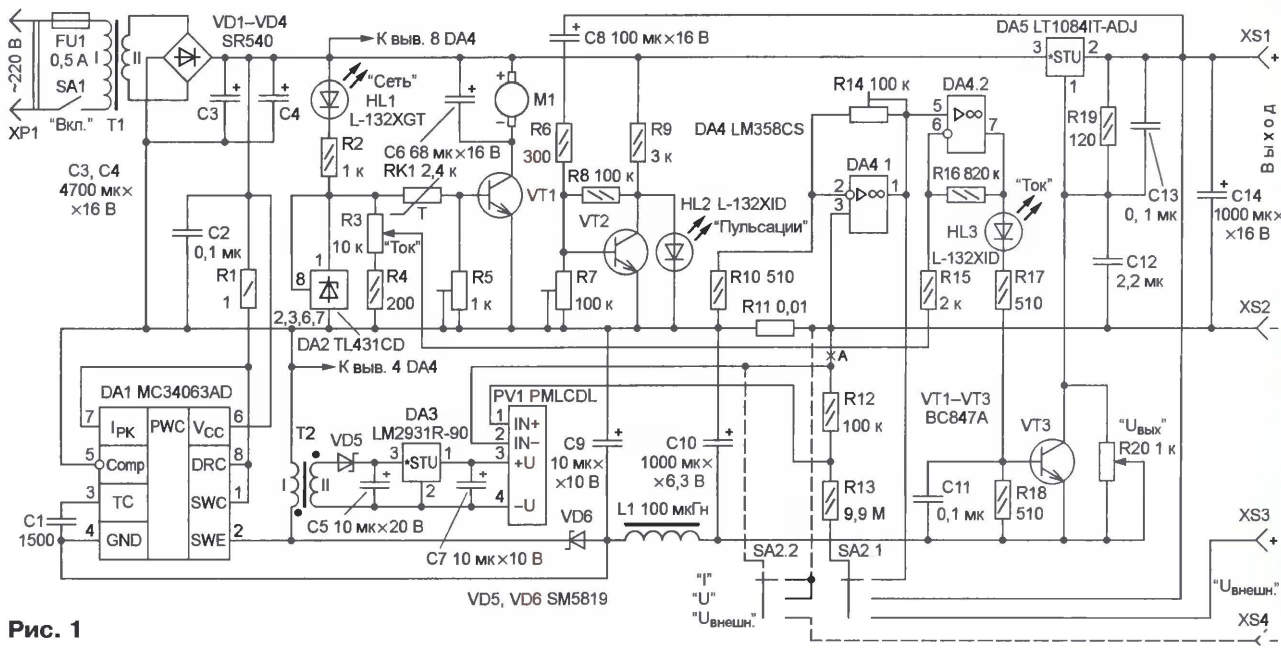


Рис. 1

VD6, и выпрямленное напряжение (-1,25 В) стабилизируется микросхемой DA1. Через фильтр L1C10 оно поступает на эмиттер транзистора VT3 и переменный резистор R20, благодаря чему устанавливаемое им минимальное выходное напряжение равно 0. Напряжение обмотки II выпрямляется диодом VD5, выпрямленное напряжение фильтруется конденсатором C5 и поступает на вход микросхемы DA3. Снимаемое с ее выхода стабилизированное напряжение 9 В используется для питания головки PV1.

В режиме стабилизации выходного напряжения, когда на инвертирующем входе (вывод 6) ОУ DA4.2 напряжение больше, чем на неинвертирующем (вывод 5), а на выходе (вывод 7) близко к нулю, светодиод HL3 не горит, транзистор VT3 закрыт и не шунтирует переменный резистор R20. При увеличении выходного тока напряжение на выходе ОУ DA4.1 и соединенном с ним неинвертирующем входе ОУ DA4.2 возрастает (из-за увеличения падения напряжения на резисторе R11), и когда оно превысит напряжение на инвертирующем входе, увеличится напряжение и на его выходе. Светодиод HL3 начнет светить, а транзистор VT3, открываясь, шунтирует резистор R20, в результате чего выходное напряжение уменьшится. Так устройство поддерживает постоянным выходной ток, когда он превысит заранее установленное значение, которое изменяют переменным резистором R3. Горящий светодиод HL3 индицирует переход ИП в режим стабилизации тока.

Индикатор пульсаций на транзисторе VT2 работает так. В отсутствие пульсаций выходного напряжения транзистор открыт и напряжение на его коллекторе немного меньше необходимого для свечения светодиода HL2. При появлении пульсаций переменная составляющая через конденсатор C8 и резистор R6 поступает на базу транзистора VT2, и при ее отрицательных полуволнах он закрывается, напряжение на его коллекторе возрастает и светодиод HL1 вспыхивает. Поскольку частота пульсаций достаточно велика (100 Гц), его свечение воспринимается как непрерывное. Порог срабатывания индикатора зависит от введенного в цепь базы сопротивления подстроечного резистора R7.

Узел управления вентилятором M1 собран, как упоминалось, на транзисторе VT1. Терморезистор RK1 с отрицательным ТКС, образующий вместе с подстроечным резистором R5 делитель образцового напряжения, подаваемого на базу транзистора, находится в тепловом контакте с теплоотводом, на котором закреплен стабилизатор напряжения DA5. По мере нагрева теплоотвода сопротивление терморезистора уменьшается, транзистор VT1 открывается и на вентилятор M1 поступает питающее напряжение — его крыльчатка начинает вращаться, и с тем большей частотой, чем выше температура. После остывания теп-

лоотвода транзистор VT1 закрывается и вентилятор перестает работать.

Большинство деталей ИП монтируют на двух печатных платах, изготовленных из односторонне фольгированного стеклотекстолита толщиной 1,5 мм. На одной из них (рис. 2) устанавливают

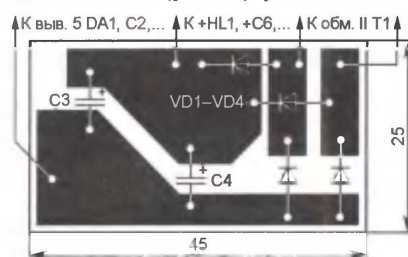


Рис. 2

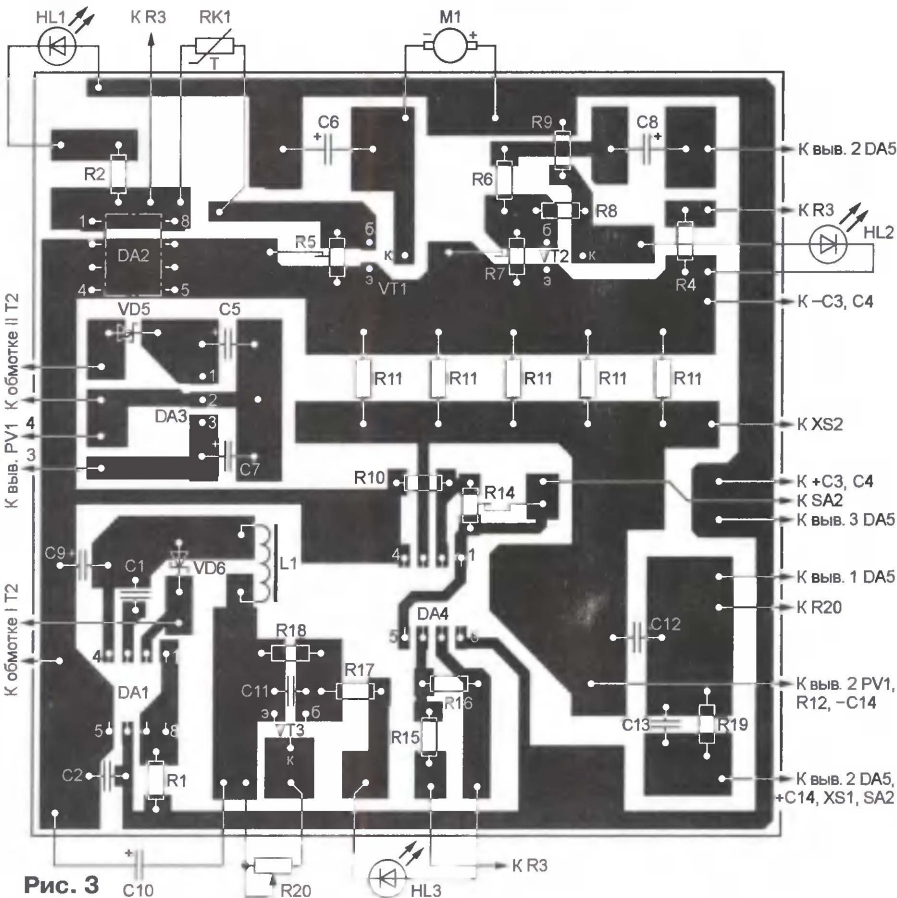
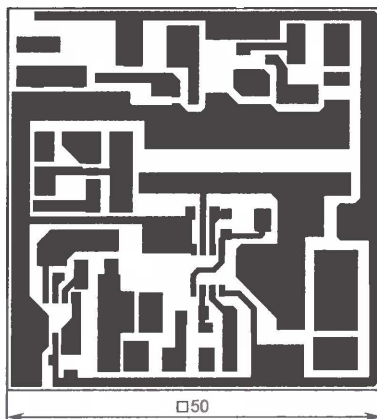


Рис. 3

диоды VD1—VD4 и конденсаторы C3, C4, на другой (рис. 3) — все остальные детали, кроме органов присоединения, управления, контроля и некоторых других. Монтаж ведут на стороне печатных проводников.

Основная плата (рис. 3) рассчитана на применение постоянных резисторов для поверхностного монтажа PH1-12 типоразмера 1206. Исключение — резистор R11, который составлен из десяти соединенных параллельно резисторов типоразмера 2512 сопротивлением 0,1 Ом (на плате их монтируют в два этажа). Резисторы R12, R13 — МЛТ, P1-4, C2-23 (R13 составлен из нескольких, соединенных последовательно), подстроечные R5, R7, R14 — типоразмера 3303 фирмы BOURNS. Терморезистор RK1 — MMT-1,

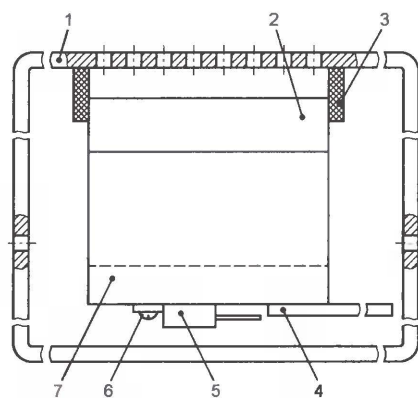


Рис. 4

переменные резисторы R3, R20 — СПО, СП4-1. Конденсаторы C5—C9 — танталовые для поверхностного монтажа, C3, C4, C10, C14 — оксидные импортные для обычного монтажа (например, серии ТК фирмы Jamicon), остальные — керамические K10-17 или аналогичные импортные. Дроссель L1 — CM32522 для поверхностного монтажа типоразмера 1206 (индуктивность — 68...220 мкГн), трансформатор T1 — для галогенных ламп мощностью 40...50 Вт. Трансформатор T2 наматывают на кольцевом магнитопроводе типоразмера K20×10×5 из феррита 2000НМ, его обмотки содержат по 30 витков провода ПЭВ-2 диаметром 0,25...0,3 мм. Выключатель питания — B100G (SWR41), переключа-



Рис. 5

тель SA2 — движковый на три положения и одно или два направления, например SP112-DP3T. Кроме указанных на схеме, в выпрямителе можно применить любые другие диоды Шотки с допустимым прямым током не менее 3 А и обратным напряжением не менее 40 В.

Гнезда XS1—XS3, светодиоды HL1—HL3, переменные резисторы R3, R20, постоянные R12, R13, конденсатор C14, выключатель питания SA1, переключатель SA2 и измерительную головку PV1 устанавливают на передней панели корпуса, держатель плавкой вставки FU1 — на задней. Трансформатор T2 и конденсатор C10 приклеивают к основной плате на стороне, свободной от деталей.

Для охлаждения микросхемы стабилизатора DA5 применен ребристый теплоотвод с вентилятором (габариты последнего — 50×50×20 мм) от микропроцессора персонального компьютера. Рекомендуется размещение деталей этого узла в корпусе ИП показано на рис. 4. Теплоотвод 7 должен быть изолирован от других элементов, в том числе и от корпуса 1. Микросхему 5 (DA5) закрепляют на теплоотводе винтом 6, в непосредственной близости от него эпоксидным клеем приклеивают терморезистор RK1. Таким же клеем приклеивают к теплоотводу основную плату 4 и соединяют ее короткими проводами с выводами микросхемы и терморезистора. Вентилятор 2 устанавливают "наоборот", чтобы поток воздуха был направлен от теплоотвода. В верхней части обечайки корпуса 1, напротив вентилятора, и в ее боковых стенках сверлят вентиляционные отверстия. По краям (по периметру) вентилятора при-

клеивают полосу поролона 3, чтобы воздух всасывался через боковые отверстия и, пройдя между ребрами теплоотвода, выходил через верхние. Смонтированную плату выпрямителя приклеивают эпоксидным клеем к трансформатору T1. Внешний вид ИП показан на рис. 5.

Налаживают устройство в такой последовательности. Установив движки подстроечных резисторов R5, R7, R14 в среднее положение, включают устройство и проверяют выходные напряжения —1,25 и +9 В преобразователя на микросхеме DA1. Затем к выходу ИП подключают образцовый вольтметр с пределом измерения 15—20 В и проверяют пределы регулирования выходного напряжения переменным резистором R20. После этого устанавливают на выходе напряжение 10 В, переводят переключатель SA2 в положение "U" и сравнивают показания образцового вольтметра и измерительной головки PV1. При необходимости ее калибруют подстроечным резистором, расположенным на ее печатной плате.

Далее к выходу ИП подключают соединенные последовательно нагрузочный резистор сопротивлением 5...10 Ом с рассеиваемой мощностью 10 Вт и образцовый амперметр с пределом измерения 2...3 А. Установив выходной ток 1 А, переводят переключатель SA2 в положение "I" и подстроечным резистором R14 уравнивают показания амперметра и головки. Включения вентилятора при заданной температуре теплоотвода (например, +45 °С) добиваются изменением сопротивления подстроечного резистора R5.

Порог срабатывания индикатора пульсаций устанавливают подстроечным резистором R7. Его движок вначале переводят в нижнее (по схеме) положение, при этом светодиод HL2 должен погаснуть. Затем, установив на выходе ИП максимальное напряжение, подключают к нему осциллограф и включенный реостатом проволочный переменный резистор сопротивлением 10...15 Ом с рассеиваемой мощностью не менее 30 Вт (СП5-30, ППБ-50). Плавное уменьшение сопротивления нагрузки, добиваются пульсаций выходного напряжения амплитудой 70...100 мВ, а затем перемещением движка подстроечного резистора R7 — зажигания светодиода HL2. После отключения нагрузки он должен гаснуть.

При зарядке аккумуляторной батареи сначала устанавливают напряжение, до которого ее необходимо зарядить, а после ее подключения — ток зарядки. По мере зарядки напряжение батареи возрастает. Когда зарядный ток станет меньше установленного, устройство перейдет в режим стабилизации напряжения и зарядка продолжится плавно уменьшающимся током. Это исключит перезарядку батареи.

Редактор — В. Фролов, графика — В. Фролов, фото — автора

МОДУЛЬНАЯ РЕКЛАМА

ООО "Электrolэнд"

Поставка любых электронных компонентов и комплектующих. Химия для электроники. Доставка почтой в любую точку России юридическим и физическим лицам. Со склада и под заказ.

WWW.ELEKLAND.RU

E-mail: elekland@mail.ru

Тел./факс — (82147) 42026.

* * *

Отечественные и импортные радиодетали для ремонта радиоаппаратуры, автомобильной электроники и бытовой техники!

Микросхемы. Транзисторы. Стабилитроны. Резисторы. Шлейфы.

Конденсаторы керамические, пленочные, подстроечные, электролитические, высоковольтные. Механика для видеоманитов, видеокамер и аудиотехники. Светодиоды и фотодиоды. Панельки для микросхем. Кассы всех размеров для хранения мелких деталей. Лазерные и видеоголовки. ЧИП-элементы. Многие другие. Оптовая и розничная продажа ежедневно от 9.00 до 18.00 по адресу:

Россия, Москва, Пятницкое шоссе, дом 18, ТК "Митинский радиорынок", 3-й этаж, павильон 546. Проезд от метро "Тушинская" авт. № 2, 210, 266.

Доставка почтой по России. Прайс-листы на бумаге и CD.

Контакты: **107045, г. Москва, аб. ящ. 41.**

www.S-10mitino.narod.ru

* * *

Предлагаем комплектующие для сборки речевого переключателя. Техническую документацию. Предоплата. 617120, Пермский край, г. Верещагино, а/я 74

* * *

Для Вас, радиолюбители!

РАДИОКОНСТРУКТОРЫ всех направлений. Корпусы для РЭА. Радиодетали, монтажный инструмент и материалы, литература, готовые изделия. IBM-комплектующие.

От Вас — оплаченный конверт для бесплатного каталога.

426072, г. Ижевск,

а/я 1333 РТЦ "Прометей".

www.rtc-prometej.narod.ru

Тел./факс **(3412) 36-04-86,**

тел. **22-60-07.**

* * *

Р/детали отеч. и имп. 9000 типов, книги, компьютеры, ПО.

Ваш конверт. 190013, С.-Петербург, а/я 93, Киселевой.

Макромодель контроллера TL494 в среде Micro-CAP 8

С. ПЕТРОВ, г. Красноярск

В настоящее время разработка различных электронных устройств все чаще производится в следующей последовательности: выбор оптимальных для решения данной задачи схемотехнических решений, расчет параметров и режимов работы элементов, проверка работоспособности устройства с помощью какой-либо программы схемотехнического моделирования электрических схем и, наконец, отладка устройства на рабочем макете. Необходимыми компонентами таких программ являются модели различных элементов и функциональных узлов. О такой модели микросхемы контроллера TL494 и рассказано в предлагаемой статье.

Благодаря наличию доступного бесплатного программного обеспечения схемотехнических систем автоматического проектирования (САПР) и моделирования, например, *SwitcherCAD* фирмы *Linear Technology* [1], *TINA-TI* фирмы *Texas Instruments* [2], демо-версии *Micro-CAP 9* фирмы *Spectrum Software* [3], радиолюбители все шире применяют предварительное моделирование создаваемых устройств.

Разработка схемы устройства с помощью указанных программных средств позволяет существенно сократить как время, так и материальные затраты на разработку устройства. По мнению автора, многие радиолюбители недооценивают эффективность этапа моделирования при разработке электронных устройств. Схемотехнические САПР предоставляют конструктору уникальные возможности для анализа работы прибора. Например, можно легко смоделировать работу источника питания на быстро изменяющуюся нагрузку, причем закон изменения может быть произвольным. При макетировании реального изделия для этого потребуется дорогостоящая программируемая электронная нагрузка. С помощью схемотехнических САПР можно построить АЧХ и ФЧХ импульсного источника питания и до этапа макетирования решить проблему его устойчивой работы. В простую процедуру превращается измерение средних и эффективных значений тока и напряжения произвольной формы, индукции в магнитопроводах трансформаторов и дросселей, исследование поведения устройства в переходных режимах и многое другое.

С успехом применяются схемотехнические САПР и при "наладивании" УЗЧ, изготовление которых является традиционно популярным направлением в радиолюбительском творчестве [4]. В целом, на сегодняшний день программы схемотехнического моделирования электрических схем, пройдя большой путь в своем развитии, являются надежным и эффективным инструментом, несмотря на присущий им ряд естественных недостатков.

При разработке блока управления мощного импульсного источника питания на основе контроллера TL494 автор столкнулся с распространенной ситуаци-

ей — в стандартной библиотеке компонентов программы *Micro-CAP 8*, которой пользуется автор, не оказалось модели указанной микросхемы. Двухтактный контроллер TL494 является удачной разработкой фирмы *Texas Instruments*, и целый ряд крупных производителей выпускает полные функциональные аналоги этой популярной микросхемы: KA7500C — фирмы *Fairchild*, MB3759 — фирмы *Fujitsu*, IR3M02 — фирмы *Sharp*, K1114EY4 — отечественный аналог. На сайтах указанных производителей найти модель TL494 также не удалось, поэтому было принято решение разработать такую модель самостоятельно.

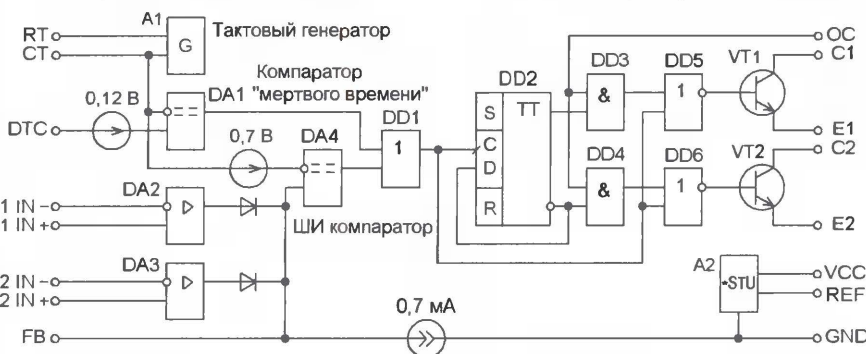


Рис. 1

Пользователь схемотехнической САПР, оказавшийся в подобной ситуации, может разработать модель необходимого компонента либо в виде так называемой *подсхемы* (в терминах *Micro-CAP 8* — *subcircuit*), либо в виде *макромодели* (*macro*). Наиболее простым и доступным способом является разработка макромодели, так как в этом случае от пользователя не требуется знание языка программы SPICE — основы большинства схемотехнических САПР.

Обобщенная структурная схема микросхемы TL494 показана на рис. 1 [5], а на рис. 2 — разработанная схема модели TL494 в том виде, как она выглядит в окне программы *Micro-CAP 8*. Необходимо сделать некоторые пояснения по этой модели. Элементы DA2 (X2) и DA3 (X3) — усилители ошибки с фиксированным напряжением питания +15 В, которое не зависит от напряжения питания "микросхемы", поступающего на вывод "V_{cc}". Такое решение

упрощает модель, не влияя на ее функциональность. На элементах Q3—Q5, X1 и S1 реализован генератор пилообразного напряжения. Пороги переключения триггера Шмитта X1 выбраны равными 0,1 и 3 В. Элемент S1 — "идеальный ключ", управляемый напряжением с выхода триггера X1 (PinB). Генератор формирует пилообразное напряжение с амплитудой 3 В и периодом, определяемым номиналами частотозадающих элементов резистора и конденсатора, подключаемых к входам "Rt" и "Ct" соответственно. Элементы DD1—DD6 (U1—U6) представляют собой логическую часть и полностью соответствуют структуре TL494. Транзисторы выходного каскада VT1 и VT2 моделируются "идеальными ключами" S2 и S3.

Источником образцового напряжения "+5 В" является элемент A2 (E3) — "функциональный источник напряжения" ("function voltage source"), алгоритм работы которого описывается выражением $IF((7 < V_{cc}) < 40, 5, 0)$. На его выходе формируется напряжение 5 В в случае, если напряжение питания микросхемы находится в допустимых пределах — более 7 и менее 40 В. Если это условие не выполняется, на выходе устанавливается напряжение, равное нулю. Так реализована функция контроля за напряжением питания (V_{cc}), которая была введена в микросхеме TL495 — улучшенной версии TL494.

Можно заметить, что в модели в явном виде отсутствует ШИМ compara-

тор и компаратор, формирующий защитный интервал между тактами, — так называемое "мертвое время". Эти элементы реализованы с помощью функциональных источников напряжения E2 и E1. На выходе E1 устанавливается напряжение 0 В, если мгновенное напряжение на входе Ct (амплитуда "пилы") больше напряжения на входе "Dead time control" (DTC) с учетом напряжения смещения +0,2 В. В противном случае на выходе E1 формируется 5 В — высокий логический уровень. Аналогично реализован ШИ компаратор — на выходе источника E2 устанавливается 5 В, если выходное напряжение любого из усилителей ошибки больше мгновенного значения напряжения "пилы", смещенного на +0,7 В, в противном случае на выходе "компаратора" E2 — низкий уровень.

Чтобы воспользоваться готовой макромоделью, необходимо добавить новый компонент "TL494" в библиотеку

МОДУЛЬНАЯ РЕКЛАМА

Интернет-магазин ЧИП-НН
Микроконтроллеры, ЖК индикаторы, датчики и другие радиодетали от 1 шт.

Минимальная сумма заказа не ограничена. Доставка почтой.

<http://www.chipnn.ru>

* * *

Курсы дистанционного обучения программированию микроконтроллеров. Макетные платы для ATmega128, MP3, USB-Flash. Программаторы микроконтроллеров. Конструкторы для сборки сигнализаций GSM.

Разработка электронных устройств и программ на заказ.

E-mail: radio73@rambler.ru,
micro51@mail.ru

www.electroniclab.ru

Т. 8-912-619-5167 (с 07.00 до 18.00 моск. вр.)

* * *

Предлагаем универсальный программатор WizardProg-77USB.

Краткий перечень поддерживаемых типов микросхем:

EPROM: 2716-27C080;

EEPROM/FLASH: серии 28, 29, 39, 49, 50 разных производителей, электрически стираемые 27CXXX Winbond, Firmware/Hub; MCU фирм Intel, Atmel, Philips, Winbond, Microchip;

SEEPROM: 24Cxxx, 93Cxx, 25LCXX;

GA/Lогические матрицы: 16v8x, 20v8x, 22v10A.

Все микросхемы в корпусе DIP программируются в единой розетке ZIF-40 ARIES без применения адаптеров. Программатор питается от линии USB, не нужен блок питания.

Цена — 3300 руб.

www.wizardprog.com

Тел. (351) 265-46-96.

* * *

Издательство "Наука и Техника"
высылает книги
наложенным платежом

Корякин-Черняк С. Л. Справочник по современным автосигнализациям. В 5 томах. **Том 1** — 2009 — 320 с. — 186 руб.

Рязанов М. Г. 1001 секрет телематера. Книги 1, 2, 3 по 252 с. — 175 руб. за том.

Рязанов М. Г. Импульсные источники питания телевизоров. — 400 с. — 186 руб.

Саулов А. Ю. Телевизоры: ремонт, адаптация, модернизация. — 336 с. — 125 руб.

Цены указаны без учета почтовых расходов.

Звоните: 8-812-567-70-25

Пишите: admin@nit.com.ru

192029, г. С.-Петербург, а/я 44

Подробно о книгах
на www.nit.com.ru

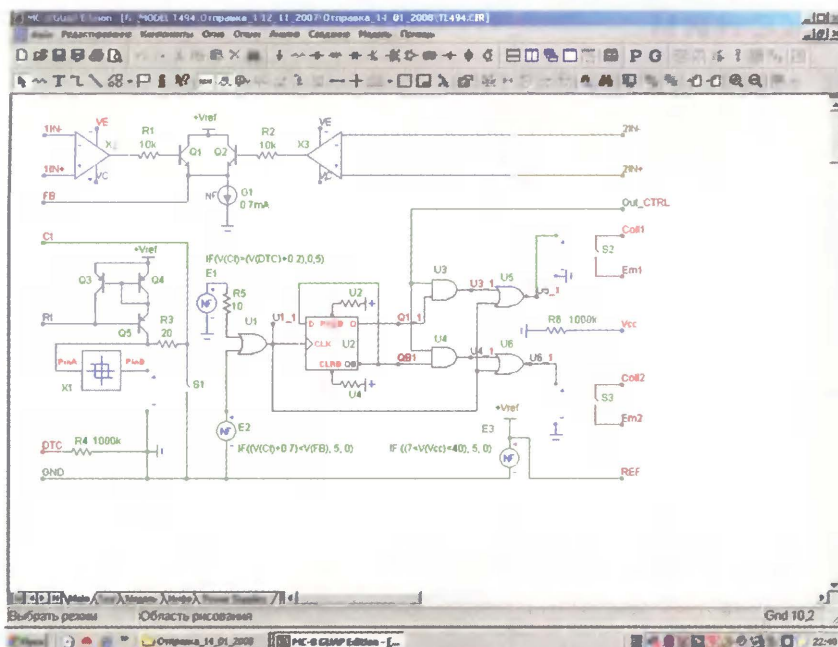


Рис. 2

компонентов. Так как в [6] эта процедура описана кратко, а изучение более подробной оригинальной англоязычной документации для значительной части пользователей может оказаться затруднительным, покажем порядок добавления нового компонента:

— Скопировать файл TL494.CIR в папку C:\Program Files\mc8\DATA\TL494.CIR.

— Открыть файл TL494.CIR в схемном редакторе (Schematic editor) MicroCAP 8.

— Сохранить файл TL494.CIR с расширением .MAC в папку C:\Program Files\mc8\LIBRARY\TL494.MAC.

— С помощью редактора форм (Form editor) создать условно-графическое обозначение (УГО) для нового компонента и присвоить ему название "TL494".

— В редакторе компонентов (Component editor) с помощью мастера добавления компонентов добавить новый библиотечный компонент "TL494" в какую-либо группу элементов, например, в группу Analog primitives/MACRO.

— Назначить наименование выводам нового компонента TL494 на его УГО. Обязательное условие — наименования выводов на УГО и в макромодели должны совпадать. Расположение выводов при этом может быть произвольным.

После того как мастер добавления компонента пройдет все этапы этой процедуры, закрыть его окно, согласившись на предложение сохранить сделанные изменения.

Предлагаемая макромодель может быть использована без каких-либо изменений и в новой версии программы MicroCAP 9. Следует отметить, что приведенная на рис. 2 схема макромодели TL494 представляет собой один из возможных вариантов реализации функциональных возможностей данного контроллера. Например, генератор пилообразного напряжения и "компараторы" E1, E2 могут быть выполнены с

использованием других функциональных элементов MicroCAP 8. Такая множественность решений с одной стороны увеличивает творческую составляющую в процессе разработки модели, а с другой — позволяет оптимизировать модель на этапе ее создания по критичному для разработчика параметру. Как правило, модель оптимизируется либо по минимальному времени ее обработки процессором, либо по максимальной приближенности к реальному устройству.

На основе предложенной макромодели TL494, используя ее в качестве своеобразной "заготовки", несложно разработать модели других распространенных ШИ контроллеров. Добавив в схему модели силовой переключаемый транзистор, можно построить модели интегрированных ШИ контроллеров, таких как, например, микросхемы семейства TOPSwitch и TinySwitch фирмы Power Integration, широко применяемые в сетевых маломощных импульсных источниках питания.

ЛИТЕРАТУРА

1. <<http://www.linear.com/designtools/software/switchercad.jsp>>.
2. <<http://focus.ti.com/docs/toolsw/folders/print/tina-ti.html>>.
3. <<http://www.spectrum-soft.com/demofrm.shtm>>.
4. Правдивцев С. Особенности моделирования УМЗЧ в программе MicroCAP-7. — Радио, 2007, № 5, с. 12—15.
5. <http://focus.ti.com/docs/prod/folders/print/tl494.html>.
6. Амелина М., Амелин С. Программа схемотехнического моделирования MicroCAP 8. — М.: Горячая линия — Телеком, 2007.

От редакции. Файл модели TL494 находится на нашем FTP-сервере по адресу <<ftp://ftp.radio.ru/pub/2009/05/TL494.zip>>.

Редактор — И. Нечаев, графика — И. Нечаев, скриншот — автора

Редактор изображений для графических индикаторов

П. ВЫСОЧАНСКИЙ, г. Рыбница, Приднестровье, Молдавия

В радиолюбительских конструкциях на основе микроконтроллеров (МК) все чаще можно встретить графические ЖКИ. Они обладают рядом преимуществ, одно из которых — способность отображать произвольную информацию. К сожалению, это преимущество превращается в недостаток на этапе разработки программ для МК. Сложность заключается в том, что приходится буквально по точкам переводить рисунок отображаемой картинки в двоичный код. Это не только отнимает много времени и сил, но и приводит к ошибкам. Поэтому этот процесс имеет смысл поручить компьютеру, который выполнит его с помощью специальной программы. О такой программе, разработанной автором статьи, и пойдет речь.

Программа KS0108.exe разрабатывалась для подготовки информации для отображения на распространенных графических ЖКИ с размерами изображения 128×64 элемента, имеющих встроенные контроллеры, совместимые с KS0107 или KS0108 фирмы Samsung. Внешний вид главного окна программы с загруженным изображением показан на рис. 1. Программа имеет десять буферов, в каждом может находиться отдельное изображение. Двоичные коды изображений хранятся в файлах с расширением имени .CHR, но при необходимости для просмотра и редактирования в программу можно загружать не только такие файлы, но и рисунки форматов BMP, JPG

части, соответствующие страницам ОЗУ контроллеров. Назначение тонких вертикальных линий только в том, чтобы совместно с горизонтальными сформировать квадратные фрагменты размерами 8×8 элементов. Это никак не связано с особенностями ЖКИ, а требуется лишь для удобного визуального разделения редактируемых частей изображения.

Программа KS0108.exe может работать в нескольких режимах, основной из которых — редактирование изображения. Выбрать нужный режим можно с помощью одноименного пункта главного меню или экранной кнопки на панели инструментов. В последнем случае переключение режимов происходит по кольцу.

вать или перемещать его как в пределах текущего буфера, так и в любой из остальных девяти буферов программы. Это позволяет предварительно подготовить стандартные наборы символов или рисунков, а затем создавать из них требуемое изображение, просто копируя подходящие фрагменты. Учтите, стандартный буфер обмена Windows при таком копировании не используется!

По окончании редактирования изображения следует создать код, который можно использовать в программах МК. Для этого на панели "Преобразование данных", доступной в режимах "Редактирование" и "Лог. операции", следует выбрать директиву, с которой будут начинаться программные строки, и удобную для визуального восприятия сгенерированного текста длину отступов от начала строки до директивы и от директивы до первого байта информации.

Процесс формирования кода запускают нажатием на экранную кнопку "Преобразовать". Результат будет помещен в окно текстового редактора, находящееся в нижней части главного окна программы. В комментариях (после точки с запятой) указаны номера страницы ОЗУ и контроллера, для которых предназначен каждый 64-байтный массив. Это связано с тем, что перед загрузкой массива в ЖКИ нужно правильно выбрать контроллер логическими уровнями на выводах E1 и E2 индикатора и послать ему специальную команду переключения страниц ("Set Page"). Только после этого выбранную страницу можно заполнять информацией.

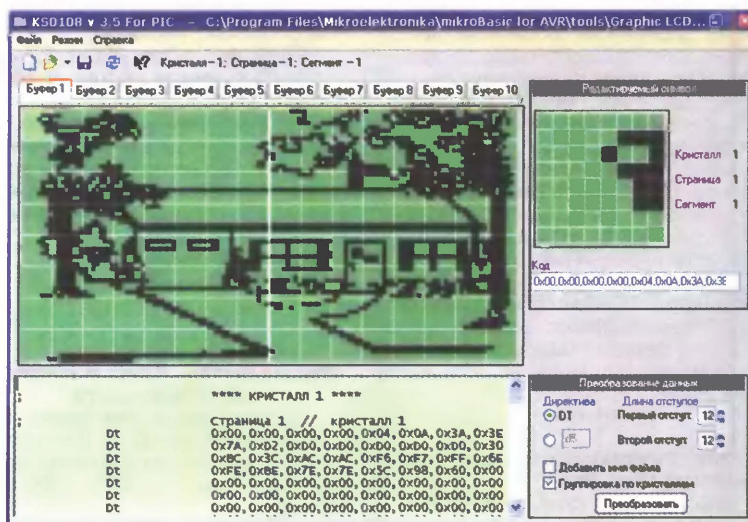


Рис. 1

или PNG. Желательно, чтобы они были черно-белыми (bitmap) и имели размеры, соответствующие матрице элементов изображения ЖКИ (128×64). Иначе возможны искажения, порой изменяющие рисунок до неузнаваемости.

Изображение в окне программы разбито на фрагменты, что связано с некоторыми особенностями ЖКИ. Утолщенная вертикальная линия посередине разделяет зоны, которыми управляют два встроенных в ЖКИ контроллера (их часто называют просто кристаллами). Горизонтальные линии делают изображение на

Для редактирования нужный фрагмент изображения выбирают двойным щелчком по нему левой кнопкой мыши. Содержимое фрагмента отображается на панели "Редактируемый символ". Элемент изображения делают темным с помощью левой кнопки мыши, а светлым — с помощью ее правой кнопки. Чтобы завершить редактирование выбранного фрагмента, достаточно однократно щелкнуть мышью по любому другому.

Контекстное меню, вызываемое щелчком правой кнопки мыши по фрагменту изображения, позволяет копи-

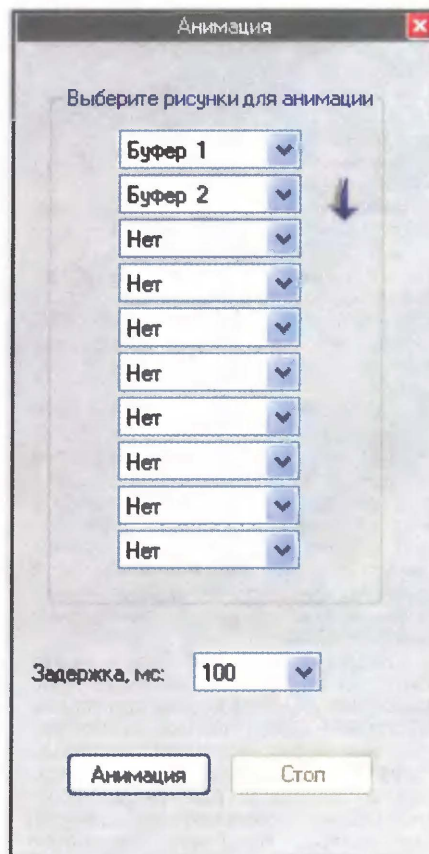


Рис. 2

Учтите, если формирование кода производится при отмеченном пункте "Группировка по кристаллам", то сначала в окно текстового редактора помещается информация для восьми страниц ОЗУ первого контроллера, а затем — второго. В противном случае страницы обоих контрол-

и ускоряет вывод изображений на индикатор. Цена такой оптимизации — некоторое усложнение программы МК, вынужденной чаще переключать контроллеры и передавать команды установки адреса очередного байта. Но если сменяющиеся изображения различаются не-

нажатие на кнопку "Сканировать" не требуется.

Режим "Преобразование в BIN" служит для сохранения образов предназначенных для вывода на ЖКИ изображений в файлах простого двоичного формата. Информацию из этих файлов в дальнейшем можно

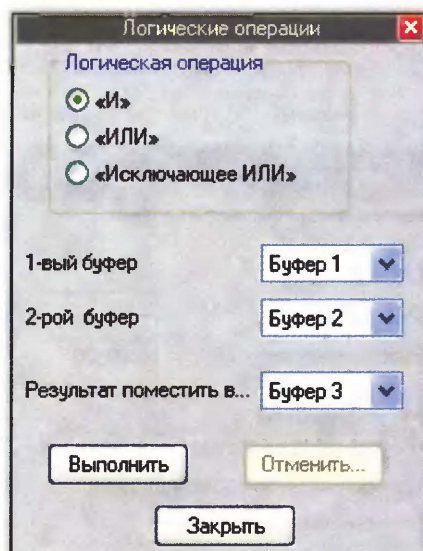


Рис. 3

леров чередуются, что может усложнить программу МК, управляющего ЖКИ.

Полученный текст допускается редактировать, однако внесенные в него изменения не будут отображены в графическом окне программы. Содержимое окна текстового редактора можно скопировать в буфер обмена Windows или сохранить в файле, вызвав контекстное меню редактора.

В режиме "Анимация" можно наблюдать за быстрой сменой нескольких изображений, хранящихся в разных буферах программы. При выборе этого режима в окне программы появится одноименная панель, показанная на рис. 2. Из выпадающих списков нужно выбрать буферы, которые будут участвовать в анимации. В графе "Задержка, мс:" задают в миллисекундах продолжительность присутствия на экране содержимого одного буфера. После нажатия на кнопку "Анимация" изображения из буферов начнут выводиться на экран в заданной последовательности. Однако реальная скорость анимации может отличаться от заданной, поскольку она зависит и от производительности компьютера.

Режим "Лог. операции" позволяет выполнять над содержимым двух буферов поразрядные логические операции "И", "ИЛИ", "Исключающее ИЛИ", помещая результат в третий буфер. Вид операции и номера используемых буферов выбирают на панели, показанной на рис. 3.

Режим "Оптимизация кода" служит для поиска совпадений в изображениях, хранящихся в нескольких буферах. Ведь если одно из них будет выводиться на ЖКИ вслед за другим, нет никакого смысла повторно передавать неизменную часть информации. Исключение повторов не только сокращает потребный для хранения изображений объем памяти, но

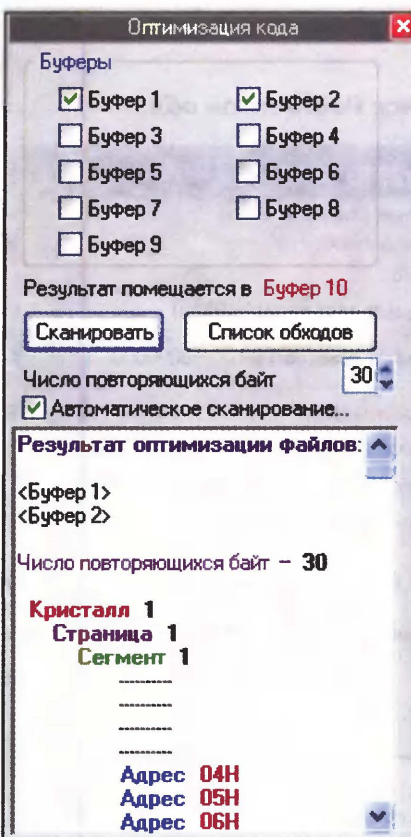


Рис. 4

значительно, оптимизация дает несомненную выгоду.

При выборе этого режима в окне появится панель "Оптимизация кода", показанная на рис. 4. В области "Буферы" следует отметить, какие из них подлежат сравнению, после чего нажать на экранную кнопку "Сканировать". Результат будет отображен в буфере 10: байты, находящиеся в зачерненных зонах, одинаковы во всех сравниваемых изображениях.

Нажатием на кнопку "Список обходов" создают список адресов байтов, которые можно пропустить. Результат отобразится в текстовом окне панели "Оптимизация кода". Вызвав контекстное меню, содержимое окна можно скопировать в буфер обмена Windows или сохранить в файле форматов RTF (с сохранением цветового оформления) или TXT (обычный текст). Нерационально, конечно, пропускать всего один или два байта, но чем больше их следует подряд, тем значительней экономия. Минимальное число пропускаемых подряд байтов задают в графе "Число повторяющихся байт". Отметкой пункта "Автосканирование" предписывают программе сравнить содержимое буферов перед составлением списка обходов. В этом случае предварительное

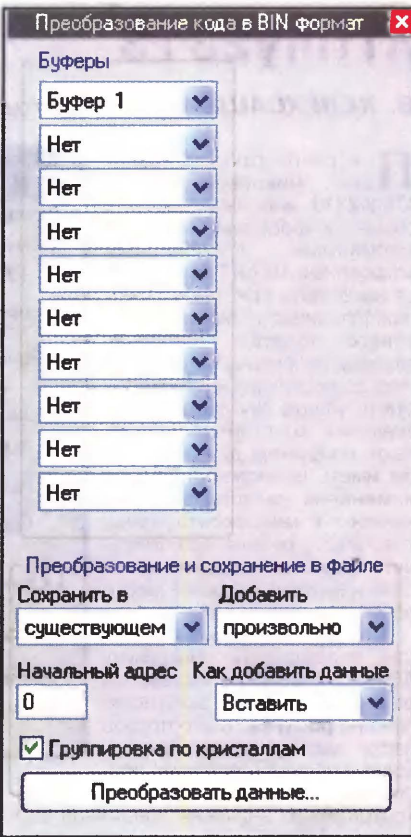


Рис. 5

загрузить в отдельные микросхемы (например, серии 24Схх), подключаемые к МК, управляющему ЖКИ, в качестве внешней памяти. Это дает возможности хранить и выводить на ЖКИ большое число различных изображений, не расходуя значительный объем внутренней памяти МК, который обычно ограничен.

На показанной на рис. 5 панели с помощью выпадающих списков в поле "Буферы" следует задать изображения для записи в файл. Они будут записываться именно в том порядке, в котором указаны в этом поле (сверху вниз).

Перед записью следует указать в поле "Преобразование и сохранение в файле" ее особенности: будет ли создан новый файл или изменен уже существующий; должна ли новая запись уничтожить имевшуюся в файле ранее информацию, быть добавлена к ней или заменена частично, начиная с указанного адреса. Фактическая запись в файл выполняется при нажатии на кнопку "Преобразовать данные".

От редакции. Программа KS0108.exe версии 3.5 находится на нашем FTP-сервере по адресу <ftp://ftp.radio.ru/pub/2009/05/KS0108.zip>.

Редактор — А. Долгий, скриншоты — автора

Установка скорости работы USART микроконтроллера ATtiny2313

В. КЕЛЕХСАШВИЛИ, г. Волгодонск Ростовской обл.

При разработке программ для микроконтроллера ATtiny2313, использующих для обмена информацией с периферийными устройствами встроенный USART, приходится вычислять константу UBRR (коэффициент деления встроенного делителя частоты), задающую скорость обмена. Иногда возникает и необходимость узнать эту скорость по значению константы. Это делают, например, для того, чтобы иметь возможность после изменения частоты подключения к микроконтроллеру кварцевого резонатора сохранить прежнюю скорость, вычислив и записав в нужное место новое значение константы.

Чтобы облегчить вычисления, я предлагаю программу ATtiny2313 USART собственной разработки, окно которой показано на рисунке. В его правой части, задав необходимые исходные данные (состояние конфигурационного разряда CKDIV8 микроконтроллера, значения требуемой скорости обмена и частоты кварцевого резонатора) и сведения о режиме работы USART, получают значение константы, которое может быть только целым числом, и процент отклонения скорости от заданной в результате округления.

Отклонение не должно выходить за пределы $\pm 1,5\%$, в противном случае придется выбирать кварцевый резонатор на другую частоту. В левой части окна решают обратную задачу — задают константу, а получают скорость.

Программа пригодна и для микроконтроллеров Atmega8, Atmega16,

Atmega32, Atmega64, Atmega128, ATmega8515, ATmega8535, у которых флажок CKDIV8 должен быть снят, а также для Atmega48, Atmega88, Atmega162, Atmega164, Atmega165, Atmega168, Atmega324, Atmega325, Atmega328, Atmega640, Atmega644, Atmega645, ATmega1280, ATmega1284, ATmega2560, ATmega3250, ATmega6450, у которых при значении CLKPR, отличном от 8, флажок CKDIV8 должен быть снят, а вычисленную скорость необходимо разделить на Clock Division Factor.

От редакции. Программа имеется на нашем FTP-сервере по адресу <ftp://ftp.radio.ru/pub/2009/05/usart.zip>.

Редактор — А. Долгий, скриншот — автора

Изготовление печатной платы с помощью пленочного фоторезиста

И. ШМАРИН, г. Новокузнецк Кемеровской обл.

Из немногочисленных известных способов любительского изготовления печатных плат наибольшую популярность получил так называемый утюжно-лазерный. Он позволяет выполнять платы весьма высокого качества. Однако чем больше размеры платы, тем труднее достигнуть хороших результатов, так как одновременно и одинаково распылять тонер на значительной площади проглаживанием утюгом очень непросто.

Поэтому я решил опробовать сравнительно новый способ, связанный с применением пленочного фоторезиста, появившегося в продаже. Уже первые опыты показали, что этот способ обес-

печивает идеальную ровность краев печатных проводников, недостижимую при утюжном способе. Кроме этого, легко удаётся в зазоре шириной 1 мм "уложить" два печатных проводника шириной по 0,2 мм.

Работа с фоторезистом проста, а результат вполне предсказуем. Конечно же, и здесь есть свои "подводные камни", однако небольшая практика и неукоснительное соблюдение технологии гарантируют высокое качество печатной платы. По рекламному объявлению был приобретен фоторезист ПФ-ВЦ-50. Полоса фоторезиста шириной 200 и длиной 1000 мм обошлась с оплатой почтовых услуг в 177 руб.

Слой светочувствительного фоторезиста, который находится между двумя защитными пленками, имеет толщину 50 мкм. Это позволяет получить печатные проводники шириной 0,12 мм. После нескольких проб мне удалось провести на плате три проводника в зазоре шириной 1 мм. В радиолюбительской практике этого более чем достаточно, тем более, что никакой другой способ в домашних условиях такого результата обеспечить не может.

Процесс изготовления платы начинается, как обычно, с подготовки фотомаски на компьютере. Программу для этого каждый выбирает по своим предпочтениям. Я использую Sprint Layout версии 5, обладающую широкими возможностями и при рисовании, и при распечатке на прозрачную пленку для лазерного принтера. Проводники и монтажные площадки я рисую на слое F2, а надписи и нумерацию элементов наношу на слое M1.

После подготовки и проверки раскладки будущих проводников на экране монитора открываем окно для вывода

на печать. Поскольку фоторезист негативный, перед распечаткой в окне программы ставим галочку напротив опции "Негатив" и убираем галочки с ненужных для печати слоев. Надо иметь в виду, что пленка имеет сопоставимую со слоем фоторезиста толщину. Поэтому, чтобы отпечаток на фоторезисте получился контрастным и не было боковой засветки границ проводников, фотошаблон нужно будет прикладывать к фоторезисту той стороной, где находится отпечаток. С учетом этого следует решить, как отображать рисунок при выводе на печать — зеркально или нет.

Теперь нажимаем на кнопку "Настройка", открывается окно настроек принтера (я использую Samsung SLP-300). Входим в "Свойства", а там выбираем вкладку "Бумага". Устанавливаем размер A4 или A5, чтобы уместились отпечаток, и тип — "Прозрачная пленка".

Потом открываем вкладку "Графика". Устанавливаем: "Качество" — высшее, "Цветовой режим" — "Оттенки серого" и галочку напротив "Вручную". Нажимаем на кнопку "Настройка вручную", и ползунок "Контрастность" сдвигаем к "100 %". Далее заходим в "Дополнительные параметры", ставим галочку напротив "Печатать весь текст черным" и нажимаем на "ОК". Это необходимо для того, чтобы получить будущие проводники на фотошаблоне прозрачными.

В подающий лоток лазерного принтера укладываем лист прозрачной пленки. Если же принтер струйный, необходимо печатать на пленке для струйного принтера. Ее рабочая сторона лишь одна — она матовая и шершавая на ощупь.

На отпечатанном фотошаблоне "проводники" должны быть прозрачными, а все остальное — максимально черным. Это первое, чего необходимо добиться. Непрозрачные участки шаблона должны быть плотно покрыты тоном или чернилами, чтобы исключить при экспонировании прохождения ультрафиолетовых лучей к фоторезисту.

Далее отрезаем заготовку платы от листа фольгированного стеклотекстолита. При этом следует предусмотреть припуск примерно на 3...5 мм сверх размеров платы. Наждачной бумагой на кромках заготовки удаляем заусеницы. Заготовка должна быть ровной, без перекосов и выпуклостей.

Для обеспечения надежного сцепления (адгезии) пленочного фоторезиста с заготовкой платы поверхность фольги необходимо тщательно подготовить. Хороший результат будет обеспечен, если поверхность меди окажется, во-первых, оптимально шероховатой и, во-вторых, гидрофильной, т. е. легко смачиваемой водой.

Подготовка поверхности заготовки состоит из двух этапов. Во-первых, необходимо удалить защитную пленку или покрытие из антиоксидантов, которые применяют для предотвращения окисления медной фольги. На это следует обратить особое внимание, если для заготовки использован импортный фольгированный диэлектрик. Кроме

этого, на поверхности меди не должно остаться отпечатков пальцев, следов жиров, масел, загрязнений, пыли и т. д. Во-вторых, поверхности нужно придать определенную шероховатость с помощью механических средств или микротравления.

Если что-то из перечисленного сделать недостаточно тщательно, приклеить фоторезист, возможно, и не удастся. Посетив в Интернете множество форумов, я выбрал несколько методов, испытал их и остановился на двух, наиболее приемлемых для практики.

После зачистки фольги мелкозернистой наждачной бумагой я погружал заготовку на 2...3 с в неразбавленную серную кислоту, чтобы стравить не более 1 мм толщины фольги. После тщательной промывки под струей воды поверхность фольги становилась розовой.

Смысл травления состоит в том, что кислота "съедает" острые неровности на фольге после обработки наждачной бумагой и остатки загрязнений, которые не удалось счистить. После сушки заготовку помещают в полиэтиленовый пакет и кладут в темное место, чтобы предохранить от окисления фольги. Сушить следует быстро, например, феном, но не нагревая заготовку сверх 70...90 °С. После травления прикосновения к фольге любыми предметами крайне нежелательны, а руками — недопустимы.

Этот способ подготовки заготовки оказался самым результативным. Тем не менее я от него отказался из-за трудности приобретения кислоты и опасности работы с ней в домашних условиях.

Альтернативный способ вполне доступен и безвреден. Фольговую поверхность заготовки я натираю смоченной водой поролоновой губкой, на которую насыпаю чистящий порошок "Комет" или "Пемоксоль-люкс". Тщательно обрабатывая несколько раз всю поверхность, добавляя по необходимости порошок. В результате при взгляде на поверхность меди под разными углами к свету она должна быть однородной, одноцветной, чистой и ровной. Далее заготовку промываю струей воды и сушу.

Капли воды можно удалить льняным полотенцем или в крайнем случае сухой чистой тканью, не оставляющей ворсинок и пыли. Нагревать заготовку не следует, лучше, если ее медная поверхность останется гидратированной или, проще говоря, с пленкой воды в микроразноглублениях. Это способствует лучшему приклеиванию фоторезиста.

Затем вырезаем ножницами лист фоторезиста по размерам заготовки платы. Работать можно при рассеянном свете, полная темнота не обязательна, надо только исключить прямые лучи солнца и ламп комнатного освещения. Годится также источник искусственного света с желтым световым фильтром. Отрезанный лист фоторезиста с одной стороны блестящий, а с другой — покрыт матовой пленкой. Пинцетом с острыми губками или острием иглы отделяем матовую пленку от фоторезиста с одного из краев примерно на

8...10 мм. Не касаясь пальцами клеевой стороны фоторезиста и поверхности фольги, прикладываем его край к краю фольги заготовки, разравниваем пальцами с умеренным давлением. Постепенно вытягиваем пинцетом матовую пленку из-под листа фоторезиста и приклеиваем его к фольге по всей поверхности. В заключение несколько раз прокатываем с усилием приклеенный слой резиновым валиком.

Приклеенный фоторезист осматриваем через увеличительное стекло (освещение — слабое!). При обнаружении под слоем фоторезиста частиц пыли, пузырьков воздуха, волосков и прочих посторонних включений все операции придется начинать сызнова. Отсюда следует необходимость обеспечения высокой степени чистоты на рабочем столе и в комнате, а также аккуратности в работе.

Если наклейка выполнена успешно, заготовку нужно поместить под пресс минут на тридцать-сорок для того, чтобы обеспечить более надежное сцепление фоторезиста и меди. Прессом могут послужить два листа толстого стекла, между которыми помещают заготовку, и пятилитровая банка с водой.

Выдержав заготовку под прессом, снимаем груз и еще раз внимательно осматриваем поверхность фоторезиста. Если никаких дефектов не обнаружено, заготовку укладываем в ящик стола, где темно, для подстраховки от нечаянной засветки. При наличии какого-либо брака в наклеивании, весь процесс придется повторить, начиная с зачистки заготовки платы.

Следующий этап — экспонирование. Чувствительность фоторезиста в ультрафиолетовой области максимальна на длине волны 350...380 нм, а вообще, зона чувствительности находится в пределах 300...450 нм. Чтобы получить хорошее качество фотоотпечатки, необходимо пользоваться добротным источником ультрафиолетового излучения и фотошаблоном хорошего качества, а также обеспечить плотное прилегание фотошаблона к фоторезисту.

Заготовку помещаем на ровный стол и на нее сверху накладываем фотошаблон той стороной, где тонер, внутрь. Сверху пакет прижимаем листом органического стекла — оно пропускает ультрафиолетовые лучи практически без потерь. На расстоянии в 20...25 см от поверхности стекла укрепляем источник ультрафиолета — энергосберегающую лампу фирмы COMTECH мощностью 26 Вт. Подойдут и другие, например, лампа фирмы Ferof мощностью 10 Вт.

Кладем лампу так, чтобы она опиралась концами на две стопки книг. Объект экспонирования размещаем между стопками. Необходимое время засвечивания и расстояние до объекта зависят от мощности лампы. Эти параметры нужно один раз определить экспериментально. Делается это так. Берем узкую полосу стеклотекстолита с наклеенным фоторезистом. Делаем в Sprint Layout шаблон тоже в виде полосы, на которой столбиком через 1 см написаны цифры 1, 2, 3, 4, ..., 10.

Полосу с фоторезистом кладем между стопками книг, на полосу сверху — шаблон, прижимаем сверху пластиной органического стекла и включаем лампу. Через каждую минуту небольшими непрозрачными предметами (например, монетами) закрываем на фотошаблоне цифры одну за другой, начиная с 1. Затем проявляем фоторезист и оцениваем результат. Какой цифре соответствует наилучшая контрастность, то значение времени при выбранном расстоянии считаем оптимальным. Перед проявлением с фоторезиста нужно удалить вторую защитную пленку (об этом рассказано ниже).

Экспонируем заготовку печатной платы в течение оптимального времени. Для моей лампы это время равно шести минутам при расстоянии до объекта 20 см. Выключаем лампу и оставляем заготовку на своем месте минут на тридцать. Дело в том, что процесс полимеризации фоторезиста на засвеченных участках продолжается некоторое время. Оно позволяет не спеша подготовить проявочный раствор.

В плоский пластиковый поддон наливаем 0,25 л воды. В чайную ложку набираем с небольшой горкой кальцинированной соды, продаваемой в магазинах бытовой химии, высыпав в поддон и тщательно размешиваем до полного растворения. В растворе не должно быть песчинок и плавающих частиц.

Перед погружением заготовки в проявочный раствор с фоторезиста необходимо снять вторую защитную внешнюю пленку. Действуем тем же приемом — пинцетом с острыми губками (или острием иглы) поддеваем с угла край пленки и пинцетом аккуратно отделяем пленку. Теперь заготовку помещаем в раствор соды фоторезистом вверх.

Секунд через тридцать рисунок начинает проявляться, становятся видными будущие проводники. В остальных местах фоторезист будет набухать, растворяться и сползать. Теперь мягкой губкой можно водить по плате, чтобы ускорить процесс смывания остатков фоторезиста с участков, с которых далее нужно будет удалить фольгу. Показателем того, что весь фоторезист смыт там, где надо, служит такая же светлая и блестящая поверхность меди, как и до наклеивания фоторезиста. После этого заготовку промываем слабой струей воды.

Теперь заготовку травим, как обычно, в растворе хлорного железа, после чего еще раз промываем под струей воды. Удалить теперь уже ненужный фоторезист с дорожек можно ватным тампоном, пропитанным ацетоном, — промокаем всю поверхность платы и уже через 1...2 мин фоторезист становится рыхлым. Полностью оттираем тампоном всю поверхность платы. И вот уже можно оценить ее качество.

Остается облудить проводники, просверлить отверстия под выводы и крепеж, обрезать края. Плата готова к монтажу.

Редактор — Л. Ломакин

Прибор для обнаружения воды в жидкостях с высоким удельным сопротивлением

В. САВЧЕНКО, Л. ГРИБОВА, г. Иваново

Кварцевые диссипативные преобразователи, описанные в статье В. Савченко и Л. Грибовой "Кварцевый резонатор преобразует неэлектрические величины в электрические" в "Радио", 2004, № 2, на с. 34–36, нашли применение в приборах контроля влажности газов и твердых веществ, в аппаратуре для научных исследований новых материалов и др. Не менее важна проблема обнаружения воды в жидких веществах, в частности, в моторном топливе. Об одном из практических способов решения этой задачи рассказывает помещенная ниже статья.

Качество жидкого топлива определяется многими факторами, среди которых немаловажное значение имеет его обводненность. Вода в топливе может находиться в разных агрегатных состояниях — растворенная, свободная

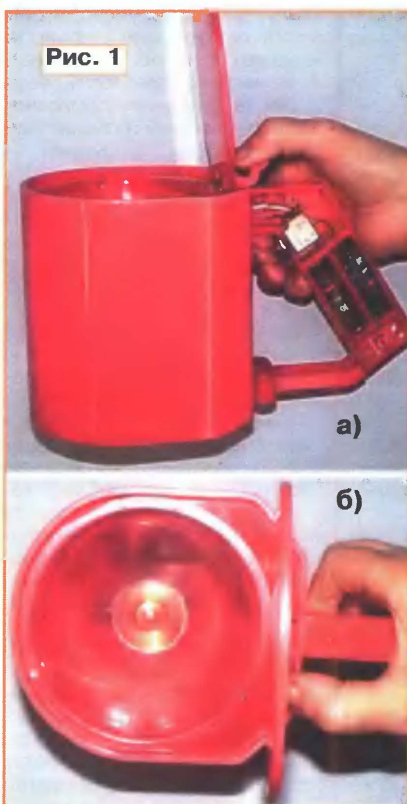
Для повышения эффективности визуального контроля наличия свободной воды к пробе топлива добавляют, например, марганцовокислый калий, который, растворяясь в воде, окрашивает ее в характерный цвет, хорошо видимый на глаз. Конечно, такой метод контроля весьма неудобен, поэтому важное значение приобретает индикация наличия свободной воды с помощью автоматического портативного прибора.

Сложность контроля состоит в том, что топливо, являясь высококачественным диэлектриком, имеет очень большое удельное сопротивление электрическому току. Капля воды в топливе, даже помещенная между двух электродов, не может быть проконтролирована простым мегаомметром на постоянном токе, так как пленка топлива, окружающая каплю, не позволяет ей плотно соприкоснуться с электродами, из-за чего электрическое сопротивление в цепи не может существенно уменьшиться.

Для индикации свободной воды в топливе мы предлагаем использовать диссипативный кварцевый преобразователь электрической энергии, обладающий высокой чувствительностью к изменению больших значений электрического сопротивления. Прибор содержит электрическую цепь из последовательно или параллельно включенных вакуумного кварцевого резонатора и емкостного датчика. Эта цепь названа кварцевым диссипативным преобразователем электрической энергии, так как ее эквивалентное электрическое сопротивление, являясь выходным параметром преобразователя, определяет потери энергии в датчике с контролируемым диэлектриком, например, в жидком углеводородном топливе.

На рис. 1 а и б показана конструкция разработанного прибора для контроля свободной воды в топливе. Прибор выполнен в виде мерной кружки из органического стекла с крышкой и ручкой. В ручке размещены элементы питания и кнопочный выключатель, выведенный на ее внутреннюю сторону. В верхнюю часть ручки вмонтирован светодиод, по свечению которого определяют наличие воды в жидком топливе.

На дне кружки расположен емкостный датчик, состоящий из двух конусообразных соосно размещенных электродов, направленных вершинами на



и эмульсионная. При различной температуре топлива в нем растворяется от 0,002 до 0,007 % воды, которую визуально контролировать невозможно. С понижением температуры растворимость воды в топливе уменьшается, и она в виде капель оседает на дно резервуара.

Свободная вода в топливе в несколько раз усиливает коррозию металлов, контактирующих с топливом, а зимой, замерзая в топливопроводе, может вызвать остановку двигателя. Поэтому содержание воды в топливе целесообразно, а в ряде случаев просто необходимо контролировать.

встречу, как схематически показано на рис. 2. Оба электрода отштампованы из листовой латуни, причем верхний (наружный) выполнен усеченным.

Электроды фиксированы на дне кружки так, что между ними образуется воздушный кольцевой зазор шириной примерно 0,25 мм, определяющий электрическую емкость датчика около 0,8 пФ без топлива. Под дном кружки размещена плата с деталями электронной части прибора.

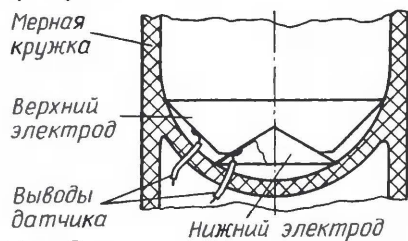


Рис. 2

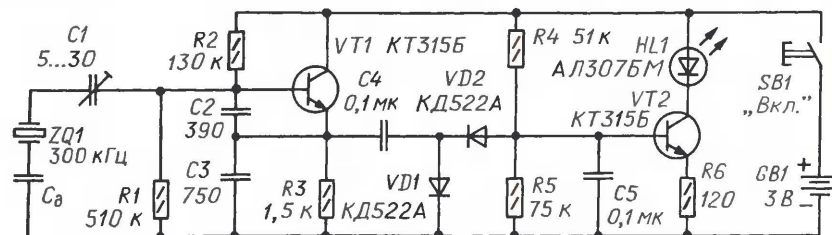


Рис. 3

В кружку заливают примерно поллитра топлива. Если в нем имеются капли свободной воды, то в течение некоторого времени они по конусообразным стенкам датчика скатываются в зазор и изменяют электрическое сопротивление в зазоре емкостного датчика. Крышка кружки, укрепленная шарнирно на петле, необходима для предотвращения попадания в рабочий объем атмосферных осадков (дождя, снега) при работе в полевых условиях.

На рис. 3 изображена принципиальная схема прибора. Кварцевый диссипативный преобразователь содержит емкостный датчик C_d и вакуумированный кварцевый резонатор ZQ1 на частоту 300 кГц, имеющий динамическое (эквивалентное активное) сопротивление $R_d = 80$ Ом и статическую емкость $C_{ст} = 6,5$ пФ. Автогенератор выполнен по схеме емкостной трехточки на транзисторе VT1.

Переменное напряжение автогенератора после детектирования диодами VD1, VD2 с конденсатором C5 поступает на базу транзистора VT2 и закрывает его, что приводит к уменьшению коллекторного тока транзистора; светодиод HL1 гаснет.

При отсутствии автогенерации ток коллектора транзистора VT2 достаточен для свечения светодиода HL1. Необходимый коллекторный ток этого транзистора устанавливают подборкой резисторов делителя напряжения R4R5. По яркости свечения светодиода в момент включения прибора можно судить о достаточности напряжения его питания (3 В), получаемого от двух гальванических элементов.

По мере старения элементов питания яркость свечения светодиода умень-

шается. Работоспособность прибор сохраняет до напряжения питания 2 В.

При замыкании контактов кнопки SB1 из-за большой (свыше 500 000) добротности кварцевого резонатора автогенерация не может возникнуть мгновенно. В течение 1,5...1,8 с происходит плавное установление номинальных значений амплитуды и частоты колебаний генератора. Пока генератор не вышел на нормальный режим, светит светодиод HL1. Через указанный время генератор включается, и если в датчике прибора нет следов воды, светодиод HL1 гаснет, так как положительное напряжение на базе транзистора VT2 будет скомпенсировано отрицательным с детектора.

Погасание светодиода свидетельствует о готовности прибора к работе, т. е. к контролю свободной воды в топливе. После заливания чистого топлива в мерную кружку светодиод так и остается выключенным. Если же в топливе

есть хотя бы одна капля (0,023...0,026 г или больше) воды, то активные потери в преобразователе резко увеличатся, что приведет к срыву автогенерации и включению светодиода.

Заметим, что капля свободной воды в автомобильном топливе, попавшая в зазор между электродами датчика, вызывает увеличение активного сопротивления преобразователя на $R_a = 400$ Ом. Теоретически это соответствует включению параллельно емкостному датчику C_d сопротивления потерь $R_n = 1$ ГОм. Расчет проводился по формуле:

$$R_a = \frac{R_d}{1 + (\omega C_d R_n)^2}$$

Чувствительность прибора устанавливают подстроечным конденсатором C1. Для проверки чувствительности к электродам датчика подключают резистор сопротивлением 750 кОм (МЛТ-0,25). Практически достаточно, держа резистор за один вывод, другим коснуться центрального электрода датчика. При нормальной чувствительности после соприкосновения вывода резистора с центральным электродом датчика светодиод включается через 1...2 с.

Если принять, что масса топлива, помещаемая в рабочий объем прибора, равна 0,5 кг, а масса капли воды в среднем — 0,025 г, то получается, что прибор надежно контролирует уже пять сотых процента свободной воды.

Испытания прибора с различными видами жидкого топлива прошли успешно. Он оказался пригодным для контроля наличия свободной воды и в других дизлектрических жидкостях, например, в ацетоне, в бензоле и др.

Редактор — Л. Ломакин, графика — Л. Ломакин, фото — автора

МОДУЛЬНАЯ РЕКЛАМА

ИНТЕРНЕТ-МАГАЗИН "ДЕССИ"

Предлагает:

- Двухдиапазонный частотомер — **BM8010** (1 Гц — 12 МГц, 100 МГц — 960 МГц) — 1950 руб.
- Собранный, в корпусе, плату микропроцессорного металлоискателя **BM8042** — 1252 руб.
- Программатор **EXTRA PIC** — 750 руб.
- Внутрисхемный отладчик устройств на PIC-контроллерах **MICD2-MC1** (аналог MPLAB-ICD2) — 1700 руб.
- Адаптер К-линии **BM9213** для подключения персонального компьютера через USB к диагностическому каналу (К- или L-линии) электронного блока управления (ЭБУ) автомобиля с целью диагностики и управления его функциями — 823 руб.
- Адаптер К-линии **NM9213** (набор для сборки) для подключения персонального компьютера через COM-порт к ЭБУ автомобиля — 542 руб.
- Переходник USB в COM **BM8050** для ПК — 399 руб.
- Электронный отпугиватель подземных грызунов **MK080** (набор для сборки) — 416 руб.
- Цифровой **BM8037_BLUE** термометр (до 16 датчиков) — 930 руб.
- Восьмиканальный микропроцессорный таймер, термостат, часы **NM8036** — 1408 руб.
- USB осциллограф **BM8020** — 2165 руб.
- Набор "Частотомер 10 Гц — 250 МГц" — 550 руб.
- GSM-сигнализацию **BM8038** — 1122 руб.
- Цифровую шкалу трансивера — 850 руб.
- Набор "Частотомер 250 МГц" — 550 руб.
- GSM-сигнализация **BM8038** — 1122 руб.
- Цифровую шкалу трансивера — 850 руб.
- **BM3132** — Маршрутный бортовой компьютер для автомобилей семейства ГАЗ 3110 с инжекторным двигателем ЗМЗ 4062-10 — 595 руб.
- **BM3112** — Маршрутный бортовой компьютер для автомобилей семейства ГАЗ ("ГАЗЕЛЬ", "СОБОЛЬ", "БАРГУЗИН", карбюраторный двигатель ЗМЗ 4063-10) с контроллерами МИКАС 5.4, МИКАС 7.1 — 595 руб.
- **BM3151** — Маршрутный бортовой компьютер для автомобилей семейства ВАЗ 2110-2112 (2108-099, 2115) с контроллерами BOSCH M1.5.4., M1.5.4N, ЯНВАРЬ-5.1, ЯНВАРЬ-5.1X, VS 5.X — 595 руб.
- **BM3171** — Маршрутный бортовой компьютер для автомобилей семейства ВАЗ с контроллерами BOSCH M7.9.7. ЕВРО 2/ ЕВРО 3 — 595 руб.
- Устройство **BM9222** для ремонта и тестирования компьютеров — POST Card PCI — 1729 руб.
- Набор SMD резисторов типоразмера 0805 из 170 номиналов от 0 Ом до 10 МОм, $\pm 5\%$ из, по 50 шт. каждого — 850 руб.
- Весна... Металлоискатели к поиску! **MK8044**, готовый к эксплуатации универсальный импульсный металлоискатель — 11850 руб.
- Паяльную станцию **LUKEY 852D+**. Фен + паяльник, цифровой индикатор — 2750 руб.
- Всегда в продаже наборы деталей для самостоятельной сборки, корпуса, радиодетали, материалы и оборудование для пайки.

http://www.dessy.ru

e-mail: post@dessy.ru

105318, г. Москва, а/я 52 "ПОСЫЛ-ТОРГ". Заказы принимаются по бесплатному междугородному многоканальному телефону: 8-800-200-09-34 с 9-00 до 17-30 MSK.

Рис. 1

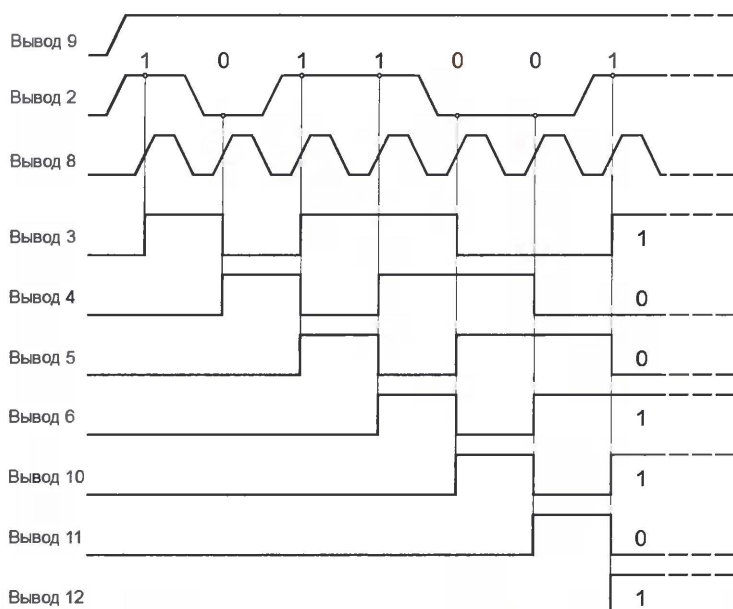
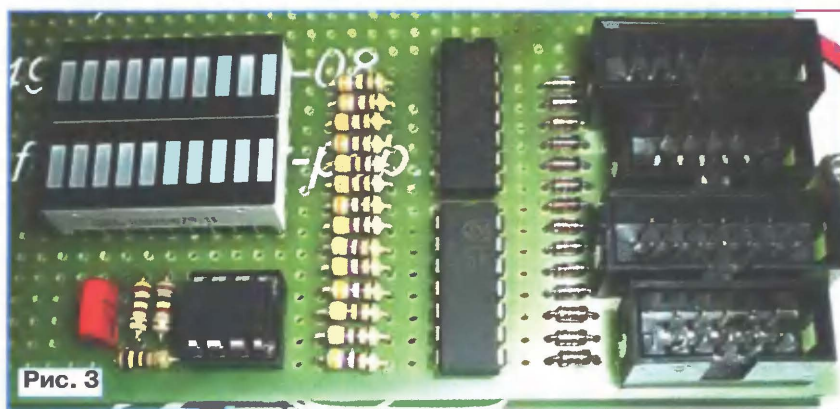


Рис. 2



В зависимости от числа проводов в проверяемом кабеле им соединяют 14-контактные разъемы XP1 и XP3 либо 10-контактные XP2 и XP4. Индикаторы HL1 и HL2 подключены к тем же выходам сдвиговых регистров, что и провода проверяемых кабелей. Чтобы избежать мерцания индикаторов, их необходимо на время выполнения микроконтроллером процедуры проверки выключать, а включать лишь после того, как в регистры будет загружен код, отображающий ее результат. Это выполняется с помощью транзистора VT1, управляемого сигналом микроконтроллера.

При проверке кабеля необходимо "прозвонить" каждый его провод и убедиться, что он не соединен с одним из соседних. Других дефектов в плоских кабелях не встречается.

Процедура проверки начинается с записи единицы во внешний сдвиговый регистр. В результате на первом контакте разъема XP1 устанавливается высокий уровень. Если подключенный к нему и к первому контакту разъема XP3 провод кабеля исправен, то на вход PB4 микроконтроллера поступит напряжение высокого уровня, а на входе PB3 оно останется низким.

При выполнении этого условия в младший разряд переменной **n_err** программа запишет 0, в противном случае — 1. Далее формируется еще один тактовый импульс и проверяется второй провод. Так как его номер четный, результат записывается в переменную **ch_err**. Для проверки всех четырнадцати проводов процедура повторяется семь раз, причем перед проверкой очередной пары проводов значения переменных **n_err** и **ch_err** сдвигаются на один двоичный разряд.

По окончании проверки полученные значения переменных **n_err** и **ch_err** загружаются во внешний сдвиговый регистр и включаются индикаторы. После паузы проверка повторяется. Проверка десятипроводного кабеля, подключенного к разъемам XP2 и XP4, происходит аналогично, но на индикаторе четыре провода (по два с каждой стороны) показываются как отсутствующие.

Если используется внутренний тактовый генератор микроконтроллера частотой 4,8 МГц, проверка кабеля (до включения индикатора) занимает около 70 мкс и повторяется с периодом около 240 мкс. Поэтому кажется, что инди-

каторы включены постоянно. Диоды VD1—VD14 нужны для того, чтобы развязать между собой выходы регистров.

Внешний вид "прозвонщика", собранного на макетной плате, показан на рис. 3. Светодиодные сборки (шкалы) GNA-R102510ZS-11 можно заменить нужным числом единичных светодиодов; транзистор KT3156 — любым из серий KT315, KT3102 или другим мало-мощным транзистором структуры n-p-n с допустимым током коллектора не менее 100 мА. Вместо микросхем 74HC164 могут быть установлены 74LS164 или отечественные К555ИР8. Микроконтроллер ATtiny13-10PU допустимо заменить на ATtiny13-10PI, ATtiny13-20PU, ATtiny13-20PI.

Программа микроконтроллера написана на языке ассемблера в среде AVR Studio. Ее коды для загрузки в программную память микроконтроллера приведены в табл. 1. Конфигурация микроконтроллера должна соответствовать указанной в табл. 2. Нулевое значение разряда RSTDISBL необходимо для работы вывода 1 микроконтро-

Таблица 1

```

:0200000020000FC
:10000000479A07E207BB28E030E1C198002755274F
:10001000442708BBC598C19AC29AC09A0000C098EC
:10002000C29800016B3C09A1871C098550F1313E8
:10003000516016B3C09A1871C098440F12134160F2
:100040000395073079F7C1980000C19A40FDC29A24
:10005000040FFC298C09A4695C09850FDC29A50FF82
:10006000C298C09A5695C0980A9581F7C29A0A9485
:04007000F1F7C8CF0A
:000000001F

```

Таблица 2

Младший байт		Старший байт	
SPIEN	1	—	1
EESAVE1	1	—	1
WDTON	1	—	1
CKDIV8	0	SELFPRGEN	1
SUT1	1	DWEN	1
SUT0	0	BODLEVEL1	1
CKSEL1	0	BODLEVEL0	1
CKSEL0	1	RSTDISBL	0

лера как линии порта, а не как входа сигнала начальной установки. Это, к сожалению, делает микроконтроллер недоступным для программирования по интерфейсу SPI. Поэтому приходится применять "высоковольтный" способ программирования. Его обеспечивают большинство универсальных программаторов.

Скорость проверки и частоту повторения ее циклов можно увеличить вдвое, если повысить тактовую частоту микроконтроллера с 4,8 до 9,6 МГц. Для этого достаточно установить значение конфигурационного разряда CKSEL1 равным 1, а CKSEL0 — 0.

Устройство не требует налаживания и сразу после правильной сборки готово к работе.

От редакции. Программа микроконтроллера "прозвонщика" имеется на нашем FTP-сервере по адресу <<ftp://ftp.radio.ru/pub/2009/05/tester.zip>>.

Редактор — А. Долгий, графика — А. Долгий, фото — автора

Генератор коллоидного серебра

С. КОСЕНКО, г. Воронеж

В настоящее время в продаже имеется несколько разновидностей устройств для получения в бытовых условиях "серебряной" воды. Несмотря на свою относительную простоту, цена подобных изделий впечатляет. Значительно дешевле обойдется самостоятельное изготовление такого прибора.

По современным представлениям "серебряная" вода — коллоидный раствор серебра, а не ионов Ag^+ , как это трактовалось ранее. Конечно, в растворе ионы тоже присутствуют, но в незначительном количестве. Именно коллоидное серебро при концентрации более 500 мкг/л придает раствору характерную мутноватую опалесцирующую окраску. При меньшей концентрации раствор прозрачен. О применении "серебряной" воды можно прочитать в [1], а также в Интернете.

ный картридж к одному из фирменных приборов, выполненный в виде поплавка, опускаемого в стакан с обрабатываемой водой. Электроды сделаны коаксиальными: внутренний — из серебра, наружный — из нержавеющей стали. Благодаря применению разнородных металлов необходимость в периодической смене направления тока (как в [1, 2]) отпала.

Схема электронного блока ГКС изображена на рис. 2. Он питается от сети 220 В и содержит импульсный преобра-

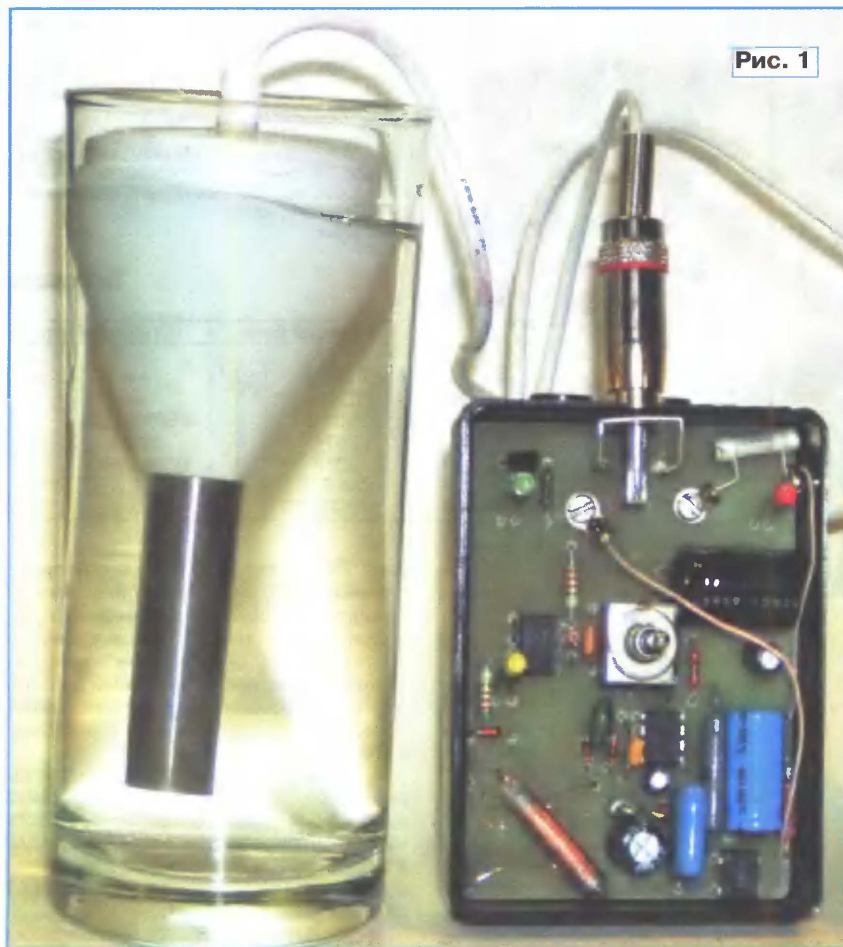


Рис. 1

Внешний вид самодельного генератора коллоидного серебра (ГКС) показан на рис. 1. При его изготовлении особое внимание следует обратить на используемое для электродов серебро. Оно должно быть химически чистым (содержание примесей не более 0,01 %). Автор использовал продающийся в аптечной сети и через Интернет смен-

зователь напряжения с гальванической развязкой, подобный описанному в [3]. О включении ГКС в сеть и нормальной работе преобразователя напряжения сигнализирует светодиод HL3. Напряжение 10 В с выхода преобразователя поступает на одновибратор, выполненный на таймере DA3. Он генерирует импульс длительностью 1,5 с или 10 мин

в зависимости от положения переключателя SA1. В течение указанного времени напряжение на выходе таймера (выводе 3 DA3) приблизительно равно напряжению питания.

Интегральный стабилизатор DA2, на вход которого поступает это напряжение, стабилизирует ток в цепи электродов ГКС, подключенных к разъему XS1 (серебряный — к центральному контакту, стальной — к внешнему). О протекании тока через обогащаемую серебром воду сигнализирует светодиод HL2. Отсутствие его свечения свидетельствует об истощении серебряного электрода и необходимости его замены либо об обрыве соединительных проводов.

По истечении заданного переключателем SA1 интервала времени напряжение на выходе таймера станет близким к нулю и процесс "серебрения" воды прекратится. Светодиод HL2 будет выключен, а HL1 включен. Концентрация серебра в 200 мл раствора в результате однократного "серебрения" за 1,5 с достигает 50 мкг/л, а за 10 мин — 20 мкг/л. Если необходима более высокая концентрация, сеансы повторяют, отключив ГКС от сети и включив его повторно.

Все элементы ГКС установлены на односторонней печатной плате из фольгированного стеклотекстолита толщиной 1,5 мм, чертеж которой показан на рис. 3. Могут быть использованы резисторы МЛТ и подобные, любые отечественные или импортные конденсаторы с рабочим напряжением не ниже указанного на схеме. Конденсаторы C1 и C7 для уменьшения высоты собранной платы уложены на нее. Микросхему KP1006BVI1 заменит NE555 или другая из множества ее аналогов. Вместо стабилизатора LM317LZ подойдет отечественный KP1170ЕНЗ. Светодиоды могут быть любыми красного (HL1), зеленого (HL2) и желтого (HL3) цветов свечения. Дроссель L1 — ДМ-0,1.

Поскольку мощность преобразователя напряжения невелика, выходной трансформатор Т1 изготовлен из такого же дросселя, причем его обмотка служит обмоткой I.2 трансформатора. Припаяв к одному из выводов дросселя провод ПЭВ-2 диаметром 0,12 мм, наматывают им поверх имеющейся 100 витков новой обмотки I.1. Намотку ведут в один слой виток к витку в том же направлении, в котором намотана обмотка I.2 (ее хорошо видно сквозь слой краски, покрывающей дроссель). Суммарная индуктивность двух частей обмотки I получилась равной 1,2 мГн. Изолировав первичную обмотку слоем липкой ленты, наматывают обмотку II — 100 витков того же провода. Готовый трансформатор изолируют еще одним слоем липкой ленты.

Выводы трансформатора припаивают к контактным площадкам платы, строго соблюдая фазировку обмоток, показанную точками, отмечающими их начала. Контактная площадка для одного из выводов дросселя и соединенного с ним начала обмотки I.1 — технологическая. Она предназначена лишь для лучшего крепления трансформатора на плате.

Ремонт гарнитуры "Nokia HS-23"

В. АНДРЮШКЕВИЧ, г. Тула

Как-то в руки мне попала в неисправном состоянии гарнитура для телефона "Nokia HS-23". Сначала были сомнения, а стоит ли вообще заниматься ремонтом этого изделия? Но легкость разборки, сравнительно высокая цена столь простого аксессуара и "спортивный интерес" решили дело.

Поскольку никакой информации о гарнитуре не имелось, было принято решение составить принципиальную схему, изучив печатную плату этого изделия и надписи на ней. Полученная таким образом схема изображена на рис. 1. Позиционные обозначения кнопки, дросселей, конденсаторов, резистора и диодов, а также названия цепей соответствуют маркировке на плате. Как показало изучение нескольких гарнитур для телефонов "Nokia HS-23", все они собраны по такой же схеме, хотя иногда и различаются формой корпуса, размерами печатной платы, расположением элементов на ней.

Специализированная микросхема с надписью 55A07A-X обеспечивает идентификацию гарнитуры как "фирменной" при подключении ее к телефону, передавая по цепи ACI (идентификация аксессуара) кодированную импульсную последовательность. Подобным же образом она передает телефону сообщение о нажатии на кнопку S100 гарнитуры. Напряжение питания (+VDD) поступает на микросхему от телефона.

Подключив осциллограф между выводами 8 и 1, 2 (общий провод) микросхемы, можно увидеть на его экране импульсы, формируемые как при включении питания, так и при нажатии на кнопку. К сожалению, никакой информации о структуре и содержании передаваемых кодов найти не удалось.

Внешний вид разъема, которым гарнитуру подключают к телефону, показан на рис. 2. Назначение его контактов и цвет соединительных проводов, идущих от них на плату, удалось определить "прозвонкой" мультиметром.

R+ (темно-коричневый), R- (коричневый с черными полосами) — правый головной телефон;

L+ (синий), L- (красный с черными полосами) — левый головной телефон; MIC+ (желтый), MIC- (черный) — микрофон;

+VDD (красный) — питание микросхемы;

ACI (золотистый) — выход микросхемы;

GND (зеленый) — общий провод микросхемы.

Ремонт гарнитуры следует начинать с внимательного осмотра платы на предмет обнаружения трещин, сколов на элементах, обрывов печатных проводников и проводов кабеля, идущего к разъему. Если телефон на подключение гарнитуры не реагирует, необходимо проверить наличие напряжения пита-

ния между выводами 1, 2 и 7 микросхемы. К его отсутствию могут привести не только обрывы проводов +VDD или GND в соединительном кабеле, но и обрыв дросселя L102, пробой диода V101, слишком большой ток утечки конденсаторов C100, C101.

Если напряжение питания есть, нужно проверить осциллографом наличие на контактной площадке ACI платы серии импульсов в момент подключе-

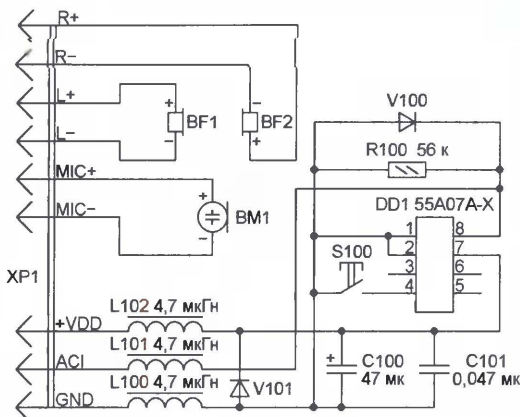


Рис. 1

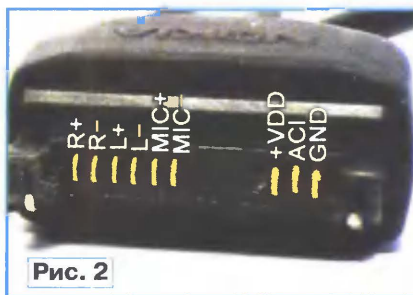


Рис. 2

ния разъема XP1 к телефону. Высокий и низкий уровни импульсов должны быть близкими соответственно к напряжению питания микросхемы и к нулю. Отсутствие импульсов говорит об обрыве дросселя L101 или печатных проводников, пробое диода V100. Особо нужно отметить случай, когда импульсы имеются, но их высокий уровень слишком мал или низкий уровень заметно выше нуля. Это может свидетельствовать как о неисправности микросхемы, так и о наличии утечек по поверхности печатной платы из-за плохого смыва остатков флюса после монтажа.

Как правило, для устранения утечек достаточно промыть плату спиртом. Но иногда приходится отпаивать микросхему и мыть плату под ней. В некоторых случаях помогает прочистка острой иглой промежутков между контактными площадками, к которым припаяны выводы микросхемы. Делать это нужно очень осторожно, чтобы не повредить печатный монтаж. При неисправной микросхеме (найти ей замену практиче-

ски невозможно) отремонтировать гарнитуру, к сожалению, не удастся.

В пропадании звука в одном или обоих головных телефонах или в том, что собеседник не слышит слов, произносимых перед микрофоном, виноваты чаще всего обрывы проводов соединительного кабеля. Они случаются, как правило, в местах частых перегибов кабеля вблизи разъема, корпуса гарнитуры или головных телефонов. Обрывы внутри неразборного разъема устранить невозможно. К счастью, случаются они нечасто.

Обрывы проводов возле корпуса гарнитуры легко восстановимы. Следует отрезать и удалить часть провода между местом обрыва и контактной площадкой на плате. Зачищать конец оставшегося исправного провода не рекомендуется, это грозит новым обрывом. Лучше положить его на таблетку аспирина и чистым, слегка перегретым паяльником удалить изоляцию с конца провода длиной 1...1,5 мм и залудить его. Остается припаять провод к контактной площадке.

Поврежденные головные телефоны можно заменить любыми подходящими, например, от MP3-плеера. Провода новых телефонов обрезают до нужной длины и припаивают к контактным площадкам печатной платы вместо неисправных. Для дополнительной фиксации проводов внутри корпуса гарнитуры можно воспользоваться термоклеем.

Редактор — А. Долгий, графика — А. Долгий

МОДУЛЬНАЯ РЕКЛАМА

ТОВАРЫ — ПОЧТОЙ!

Лучший выбор радиодеталей, запчастей для ремонта, радиолюбительских наборов...

Новый каталог "Радиотовары — почтой" + CD высылается в Вашем конверте с марками на 25 рублей! Каталог радионаборов (A4 104 стр.) — 75 руб. без учета почтовых расходов. 105318, г. Москва, а/я 52, "ПОСЫЛ-ТОРГ". Тел. (495) 543-47-96; (985) 366-87-86.

Интернет-магазин: WWW.DESSY.RU
e-mail: post@dessy.ru

* * *

Источники, блоки питания, радионаборы, детали, дозиметры, станки токарно-сверлильные, намоточные, пластмассовые изделия.

622031, г. Н.-Тагил, а/я 6.

E-mail: fai26@yandex.ru

* * *

"Аркада" — поставка динамиков Hi-End класса Peerless, Vifa, Scan-Speak, Seas и высококачественных кроссоверных компонентов Mundorf. Акустические конструкторы. Автомобильная акустика. Консультации. Заказ товаров на сайте www.arkada.com.

Доставка по всей России.

Санкт-Петербург: (812) 449-77-50.

Москва: +7 919 7244369

E-mail: speakers@arkada.com

ИК выключатель с пультом дистанционного управления

С. ИВАНЮТА, г. Старый Оскол Белгородской обл.

Предлагаемое устройство предназначено для включения и выключения (в том числе дистанционного) ламп накаливания, нагревателей и других приборов, питающихся от бытовой сети 220 В и представляющих собой чисто активную нагрузку мощностью до 500 Вт.

Зированное напряжение 5 В с конденсатора C5 питает микроконтроллер DD1 и фотоприемник В1.

Микроконтроллер, работающий по записанной в него программе, анализирует сигналы, поступающие от фотоприемника на вход RB5 и от кнопки SB1

при каждом нажатии на кнопку SB1 или на кнопку пульта ДУ.

Предлагаются два варианта программы. Работая по первой из них (файл irs_v110.hex), микроконтроллер запоминает текущее состояние выключателя и в случае временного отключения сетевого напряжения при возобновлении его подачи восстанавливает это состояние. При использовании второго варианта программы (файл irs_v111.hex) восстановление напряжения в сети всегда переводит выключатель в выключенное состояние. Светодиод HL1 светит, когда цепь нагрузки

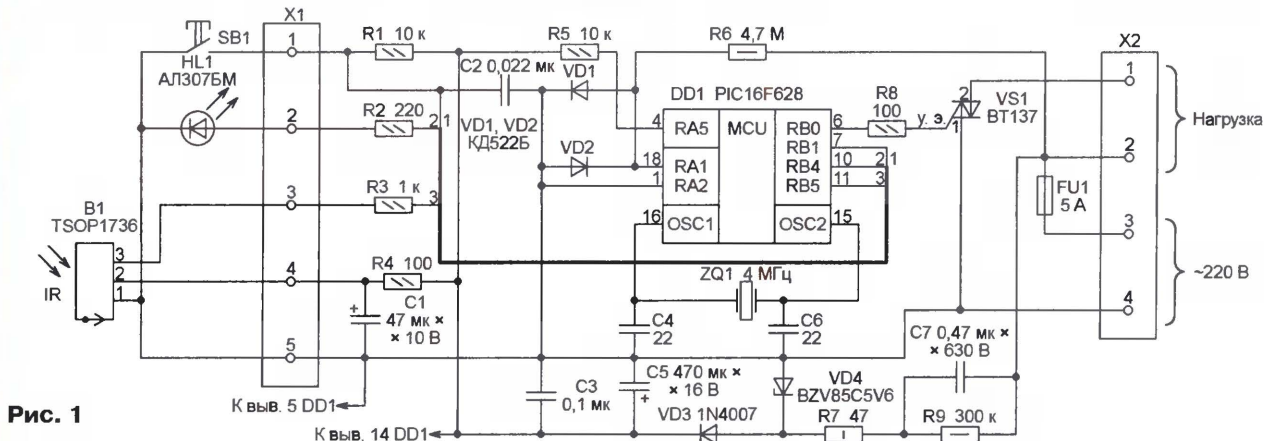


Рис. 1

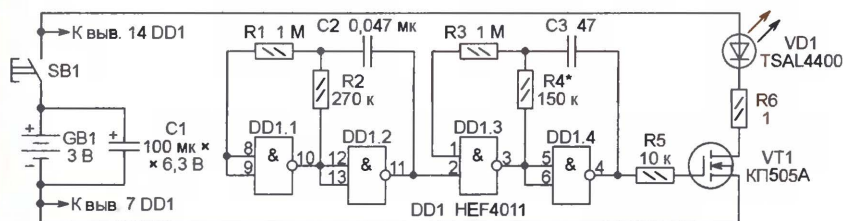


Рис. 2

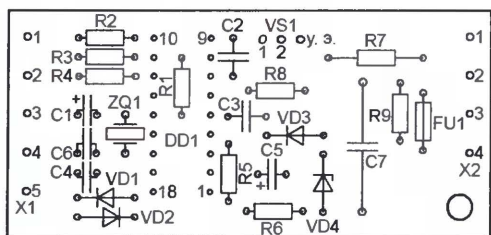
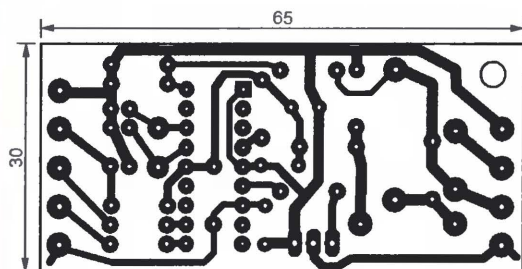


Рис. 3

Схема выключателя изображена на рис. 1. Переменное напряжение 220 В через предохранитель FU1 поступает на узел питания, собранный из элементов VD3, VD4, C3, C5, C7, R7 и R9. Стабили-

зируются напряжениями, формируемыми на выходах RB0 и RB4, микроконтроллер управляет соответственно симистором VS1 и светодиодом HL1. Выключатель изменяет свое состояние на противоположное

разомкнута. Это удобно при управлении осветительными приборами.

Схема пульта дистанционного управления выключателем приведена на рис. 2. Он питается от двух гальванических элементов типоразмера ААА. При нажатии на кнопку SB1 начинается работа генератора импульсов длительностью около 18 мс, собранный на логических элементах DD1.1 и DD1.2. Эти импульсы управляют генератором импульсов частотой 36 кГц на элементах DD1.3, DD1.4. Пачки импульсов с выхода этого генератора поступают на затвор транзистора VT1, в цепь стока которого включен ИК излучающий диод VD1.

Налаживание пульта сводится к настройке генератора на элементах DD1.3, DD1.4 на частоту 36 кГц (резонансную частоту фотоприемника В1 в выключателе) подборкой резистора R4. При правильной настройке достигается максимальная дальность действия дистанционного управления выключателем.

Печатная плата выключателя изображена на рис. 3. Симистор BT137-600 устанавливается на теплоотвод из алюминиевой пластины размерами 65×15×1 мм. Замену этому симистору можно

подобрать из числа аналогичных приборов серий BT136, BT138. Стабилитрон BVZ85C5V6 заменяется другим маломощным с напряжением стабилизации 5,6 В, например KC156Г. Вместо фотоприемника TSOP1736 подойдет и другой из применяемых в системах ДУ телевизоров и прочих бытовых электронных приборов. Центральная частота

Рис. 4

на вход RB1, а также с датчика нулевой фазы сетевого напряжения (резистор R6, диоды VD1, VD2) на вход RA1.

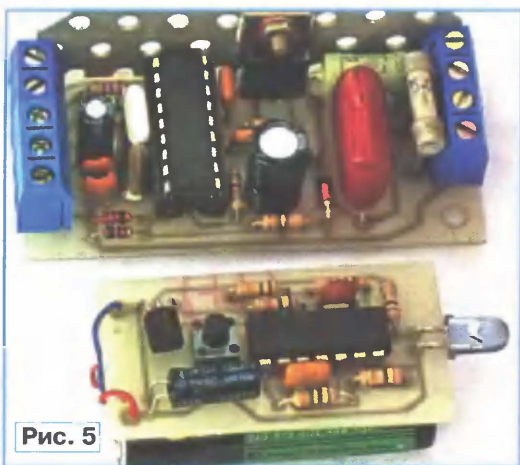


Рис. 5

та полосы пропускания такого фотоприемника может лежать в интервале 30...56 кГц, поэтому пульт ДУ придется настроить на эту частоту. Если необходимо расширить зону чувствительности выключателя в горизонтальной плоскости, вместо одного фотоприемника можно установить два, направив их в разные стороны. При этом выводы 1 и 2 двух фотоприемников соединяют параллельно непосредственно, а вывод 3 — через резисторы номиналом 1 кОм. Общую точку резисторов соединяют с контактом 3 колодки X1, а резистор R3 в выключателе заменяют перемычкой.

Печатную плату пульта ДУ изготавливают по чертежу, показанному на рис. 4. Здесь в качестве VD1 можно использовать любой ИК излучающий диод от пульта ДУ бытового электроприбора. Микросхему HEF4011 заменять аналогичной отечественной К561ЛА7 нежелательно. При пониженном напряжении питания она работает неустойчиво.

На рис. 5 показан внешний вид плат выключателя и пульта ДУ.

От редакции. Программы микроконтроллера находятся на нашем FTP-сервере по адресу <ftp://ftp.radio.ru/pub/2009/05/_irs.zip>.

Редактор — А. Долгий, графика — А. Долгий, фото — автора

Сигнализатор прибытия автомобиля

В. НЕФЕДОВ, г. Брянск

Многим водителям знакома ситуация, когда, подъехав к закрытым воротам частного дома или предприятия, приходится подавать звуковой сигнал или звонить по мобильному телефону, чтобы тебя заметили и открыли ворота. В этой ситуации особенно неприятно, что звуки автомобильного сигнала мешают жителям окрестных жилых домов и приводят к жалобам на шум. Предлагаемое устройство решает эту проблему, автоматически подавая обитателям дома или офиса сигнал о прибытии автомобиля. Его авторский экземпляр надежно работает уже более пяти лет.

При разработке было учтено, что устройство будет работать круглогодично вне помещения, что ложные срабатывания должны быть сведены к минимуму и что устройство должно реагировать только на подъехавший к воротам автомобиль, не реагируя на выезжающий.

Датчик сигнализатора — катушку индуктивности, имеющую форму кольца диаметром около 1 м, укладывают в полотно дороги у ворот и соединяют с электронным блоком сигнализатора, размещенным в защищенном от влаги месте.

Принцип работы сигнализатора такой же, как у металлоискателя. С приближением металлического предмета (автомобиля) к катушке ее индуктивность изменяется, что ведет к изменению частоты сигнала LC-генератора, в состав которого входит эта катушка. При обнаружении этого замыкаются контакты имеющегося в электронном блоке реле, которые в свою очередь включают звуковые и световые сигналы.

Схема прибора представлена на рис. 1. Частота LC-генератора, собранного на транзисторе VT1, может лежать в интервале 10...65 кГц (в авторском варианте — около 40 кГц). Компаратор напряжения на ОУ DA3 превращает синусоидальный сигнал генератора в прямоугольные импульсы амплитудой около 9 В, которую перед подачей импульсов на вход микроконтроллера DD1 уменьшает вдвое делитель напряжения из резисторов R1 и R2. Пороги переключения компаратора заданы резисторами R9—R11.

Микроконтроллер DD1, работая по программе, коды которой приведены в таблице, в течение 1 с подсчитывает поступающие на вход P3.5 импульсы,

измеряя таким образом частоту LC-генератора. Еще через 1 с измерение

повторяется. Такие циклы следуют непрерывно до выключения прибора.

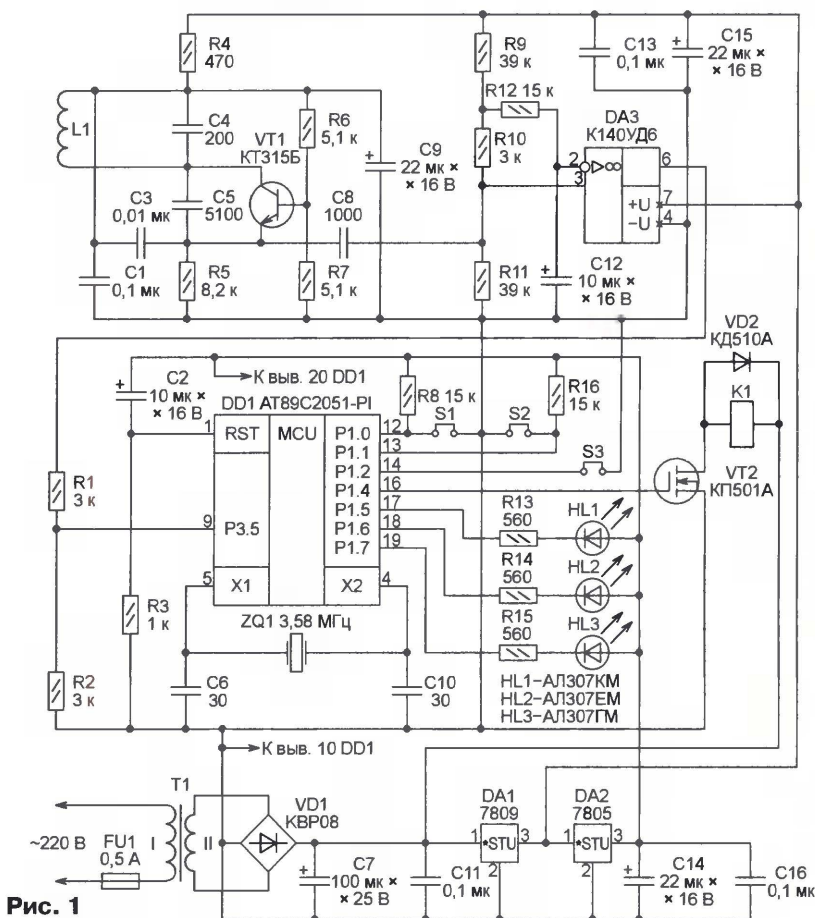


Рис. 1

Если в двух последовательных циклах измерения зафиксировано превышающее заданный порог увеличение частоты, а в следующем за ними цикле частота осталась неизменной или продолжала расти, фиксируется прибытие автомобиля. Всего на эту операцию уходит 3...4 с. Поскольку к уменьшению частоты устройство нечувствительно, отъезжающие автомобили оно не фиксирует.

```

:030000000200609B
:08000B0075008B750075019072
:05001B00C200D2033217
:090030000406080A101820400023
:1000600075008A75005175001075008B75007575E7
:1000700000007500007A00D201C200C202C20375FE
:100080007000E500540790003093FBC2000080F0D33
:10009000300122B2000ABA5A03750050BA6445C250
:1000A000017A0085007F85007D85007B85007E8547
:1000B000007C85007A30022E0ABA0202D00BA32DF
:1000C000006C200C200D200BA961A7A00C202C2006A
:1000D000020085007F85007D85007B85007E8500C0
:1000E0007C85007A00320ABA0A02D200BA25047A64
:1000F000008014741E9A4009750000750000D2003B
:1001000032750050C20032750010C3C200313B305E
:100110000013C2000570E570B4020D757000D202C4
:100120007A00C2003275000857D7F857B7D8500F9
:100130007B857C7E857A7C85007A32E5009414503C
:1001400006C200D2038018D200E500957EF500E5D6
:1001500000957F400AB40005E5009B4002D200C331
:02016000002278
:00000001FF

```

Чувствительность сигнализатора (минимальное приращение частоты за один цикл) задают переключателями S1—S3. Когда все они установлены, чувствительность максимальна, фиксируется уход частоты LC-генератора на 4 Гц. Если все переключики сняты, чувствительность минимальна, порог — 64 Гц. Требуемую чувствительность подбирают экспериментально.

Определив, что прибыл автомобиль, микроконтроллер на 4 с устанавливает на своем выходе P1.4 высокий уровень, чем открывает транзистор VT2, в цепь стока которого включена обмотка реле K1. Не показанные на схеме контакты этого реле включают исполнительное устройство, например, обыкновенный квартирный звонок, подающий сигнал о прибытии. Целесообразно установить у ворот сигнальную лампу или другой повторитель этого сигнала, информирующий водителя автомобиля, что о его прибытии известно.

В электронном блоке предусмотрены три светодиодных индикатора: красный (HL1) включается при отсутствии колебаний LC-генератора или уменьшении их частоты ниже 5 кГц; желтый (HL2) показывает, что зафиксировано увеличение частоты колебаний, превышающее установленный порог; зеленый (HL3) мигает с частотой 1 Гц, пока прибор включен и работает.

Питается сигнализатор от сети переменного тока 220 В через понижающий трансформатор T1, мост VD1 и интегральные стабилизаторы DA1 (9 В) и DA2 (5 В). После включения питания микроконтроллер выдерживает десятисекундную паузу и лишь затем начинает работать согласно описанному выше алгоритму. Это сделано для устранения ложных срабатываний во время установления режимов работы генератора и компаратора. В этот период светодиод HL1 мигает с частотой 10 Гц.

Электронный блок сигнализатора собран на односторонней печатной плате, изображенной на рис. 2. Она рассчитана на установку резисторов мощностью 0,25 Вт, отечественных или импортных керамических и оксидных конденсато-

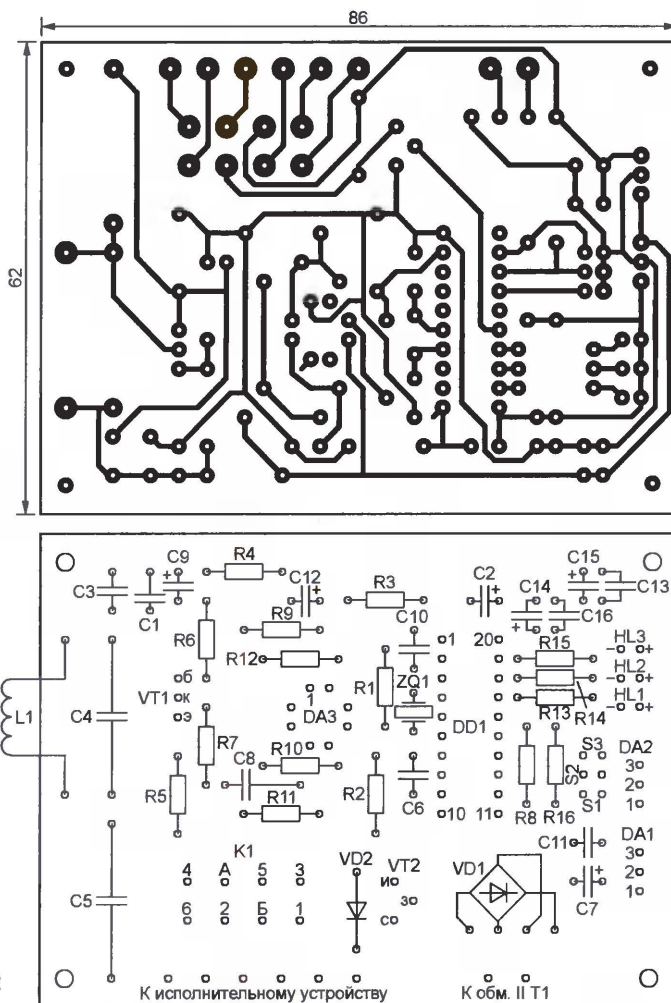


Рис. 2

ров. Особое внимание следует обратить на конденсаторы C4 и C5, которые должны иметь минимальный ТКЕ. Подойдут, например, слюдяные КСО или К31У-3Е группы Г.

Транзистор KT315Б можно заменить другим той же серии или серии KT3102, а полевой транзистор КП501А — КП502А или любым из серии КП504. Вместо импортных стабилизаторов напряжения 7805 и 7809 можно применить отечественные соответственно КР142ЕН5А и КР142ЕН8А. Заменять микроконтроллер AT89C2051-PI аналогичным, но не имеющим в обозначении индекса I, нежелательно. Такой микроконтроллер не будет работать при отрицательной температуре.

Реле K1 — РЭС47 исполнения РФ4.500.407-01 с рабочим напряжением 10,8...13,2 В. Трансформатор T1 — серии ТН, ТАН или ТПП с вторичными обмотками на 12...15 В при токе 200...300 мА. Можно использовать и другие подходящие трансформаторы, рассчитанные на эксплуатацию вне помещения.

Плату, трансформатор и другие детали электронного блока помещают в защищенный от влаги, желательно металлический, плотно закрытый корпус.

Катушка L1 выполнена из отрезка кабеля ТСВ 20х2х0,4 длиной 3...4 м. Это кабель в полиэтиленовой изоляции, применяемый для прокладки телефонных сетей. В нем имеются 20 пар свитых прово-

дов в общем экране из алюминиевой фольги. Отрезок нужно согнуть в кольцо, а нужное число его проводов соединить последовательно до получения индуктивности около 1,6 мГн (в авторском варианте оказалось достаточно 18 проводов). Концы "лишних" проводов изолируют, а экран кабеля нигде не подключают. Для соединения катушки с электронным блоком применен кабель той же марки длиной 5 м.

Налаживание сигнализатора начинают с проверки работы генератора. Если его частота выходит за указанные выше пределы, ее можно откорректировать подборкой конденсатора C4 или числа витков катушки L1. После настройки генератора места пайки проводов катушки и соединения ее с кабелем необходимо тщательно проверить на прочность и залить битумом.

Далее проверяют работу компаратора напряжения. Если форма импульсов на выходе ОУ DA3 близка к прямоугольной при амплитуде около 9 В, наладивание можно считать законченным, в противном случае следует подобрать резистор R10.

От редакции. Программа микроконтроллера сигнализатора имеется на нашем FTP-сервере по адресу <ftp://ftp.radio.ru/pub/2009/05/vv_r.zip>.

Микросхемные стабилизаторы напряжения

Стабилизаторы с фиксированным выходным напряжением

Таблица 1 (продолжение)

Стабилизатор	Выходное напряжение, В	Максимальный выходной ток, А	Максимальное входное напряжение, В	Минимальное падение напряж. на регулирующем элементе, В	Кэфф. нестабильн. по входному напряжению, не более %/В; %%	Кэфф. нестабильн. по току нагрузки, не более, %/А; %%	Температурный коэфф. выходного напряжения, не более, %/°С	Максимальная рассеиваемая мощность, Вт	Тепловое сопротивление кристалл—корпус, °С/Вт	Наибольший собственный потребляемый ток, мА	Наибольший временной дрейф выходн. напряжения, %	Минималн. коэфф. сглаживания пульсаций, дБ	Корпус	Цолевка (по табл. 2)	Зарубежный ближайший аналог														
1	2	3	4	5	6	7	8	9	10	11	12	13	14	15	16														
KP1158EH15A	15±2 %	0,15	30	0,4	0,05	6,9	0,02	—	10	20	—	60	КТ-91	2	—														
KP1158EH15B																													
KP1158EH15B	15±4 %	0,5		0,6		3			5	65			КТ-28-2		LM341T15														
KP1158EH15Г																													
K1158EH3ЖП ¹⁶	3±2 %	0,5	30	0,6	0,05	1,6	0,02	—	—	65	—	—	КТ-28-2	2	—														
K1158EH3,3ЖП ¹⁶	3,3±2 %																												
K1158EH5ЖП ¹⁶	5±2 %																												
K1158EH6ЖП ¹⁶	6±2 %																												
K1158EH9ЖП ¹⁶	9±2 %																												
K1158EH12ЖП ¹⁶	12±2 %																												
K1158EH15ЖП ¹⁶	15±2 %																												
K1158EH3ИП ¹⁷	3±2 %	0,5	30	0,6	0,05	1,6	0,02	—	—	65	—	—	КТ-28-2	2	—														
K1158EH3,3ИП ¹⁷	3,3±2 %																												
K1158EH5ИП ¹⁷	5±2 %																												
K1158EH6ИП ¹⁷	6±2 %																												
K1158EH9ИП ¹⁷	9±2 %																												
K1158EH12ИП ¹⁷	12±2 %																												
K1158EH15ИП ¹⁷	15±2 %																												
K1158EH3ЖТЗ ¹⁶	3±2 %	0,5	30	0,6	0,05	1,6	0,02	—	—	65	—	—	4116.4-3	1	—														
K1158EH3,3ЖТЗ ¹⁶	3,3±2 %																												
K1158EH5ЖТЗ ¹⁶	5±2 %																												
K1158EH6ЖТЗ ¹⁶	6±2 %																												
K1158EH9ЖТЗ ¹⁶	9±2 %																												
K1158EH12ЖТЗ ¹⁶	12±2 %																												
K1158EH15ЖТЗ ¹⁶	15±2 %																												
K1158EH3ИТЗ ¹⁷	3±2 %	0,5	30	0,6	0,05	1,6	0,02	—	—	65	—	—	4116.4-3	1	—														
K1158EH3,3ИТЗ ¹⁷	3,3±2 %																												
K1158EH5ИТЗ ¹⁷	5±2%																												
K1158EH6ИТЗ ¹⁷	6±2 %																												
K1158EH9ИТЗ ¹⁷	9±2 %																												
K1158EH12ИТЗ ¹⁷	12±2 %																												
K1158EH15ИТЗ ¹⁷	15±2 %																												
K1158EH3ЖУ ¹⁶	3±2 %	0,5	30	0,6	0,05	1,6	0,02	—	—	65	—	60	КТ-93-1 ¹⁸	6	—														
K1158EH3,3ЖУ ¹⁶	3,3±2 %																												
K1158EH5ЖУ ¹⁶	5±2 %																												
K1158EH6ЖУ ¹⁶	6±2 %																												
K1158EH9ЖУ ¹⁶	9±2 %																												
K1158EH12ЖУ ¹⁶	12±2 %																												
K1158EH15ЖУ ¹⁶	15±2 %																												
K1158EH3ИУ ¹⁷	3±2 %	0,5	30	0,6	0,05	1,6	0,02	—	—	65	—	60	КТ-93-1 ¹⁸	6	—														
K1158EH3,3ИУ ¹⁷	3,3±2 %																												
K1158EH5ИУ ¹⁷	5±2 %																												
K1158EH9ИУ ¹⁷	9±2 %																												
K1158EH12ИУ ¹⁷	12±2 %																												
K1158EH15ИУ ¹⁷	15±2 %																												
KP1158EH33B	3,3±4 %															0,5	30	0,6	0,05	3	0,02	—	—	65	—	—	КТ-28-2	2	TLV2217-33KC
KP1158EH33Г																													
KP1158EH301A	3±0,12	0,15	30	0,4	0,05	6,9	0,02	—	—	20	—	—	КТ-92	2	—														
KP1158EH301Б																													
KP1158EH3301A	3,3±0,13	0,15	30	0,4	0,05	6,9	0,02	—	—	20	—	—	КТ-92	2	—														
KP1158EH3301Б																													

Продолжение.

Начало см. в "Радио", 2009, № 4

1	2	3	4	5	6	7	8	9	10	11	12	13	14	15	16														
KP1158EH3301A	3,3±0,13	0,15	30	0,4	0,05	6,9	0,02	—	—	20	—	—	KT-92	2	—														
KP1158EH3301Б																													
KP1158EH501A	5±2 %	0,15		0,4	0,05	6,9	0,02	—	—	20	—	—	KT-92																
KP1158EH501Б																													
KP1158EH501B	5±4 %	0,5	0,6	0,05	3	0,02	—	—	65	—	—	KT-28-2																	
KP1158EH501Г																													
KP1158EH601A	6±0,24	0,15	30	0,4	0,05	6,9	0,02	—	—	20	—	—	KT-92	2	—														
KP1158EH601Б																													
KP1158EH901A	9±0,36	0,15	30	0,4	0,05	6,9	0,02	—	—	20	—	—	KT-92	2	—														
KP1158EH901Б																													
KP1158EH1201A	12±0,48	0,15	30	0,4	0,05	6,9	0,02	—	—	20	—	—	KT-92	2	—														
KP1158EH1201Б																													
KP1158EH1501A	15±0,6	0,15	30	0,4	0,05	6,9	0,02	—	—	20	—	—	KT-92	2	—														
KP1158EH1501Б																													
КФ1158EH3В	3±0,12	0,5	30	0,6	0,05	3	0,02	—	5	65	—	—	KT-90	2	—														
КФ1158EH3Г																													
КФ1158EH33В	3,3±0,13	0,5	30	0,6	0,05	3	0,02	—	5	65	—	—	KT-90	2	LM2937ES-3,3 MIC29201-3,3U														
КФ1158EH33Г																													
КФ1158EH301A	3±0,12	0,15	30	0,4	0,05	6,9	0,02	—	10	20	—	—	KT-90	2	—														
КФ1158EH301Б																													
КФ1158EH3301A	3,3±0,13	0,15	30	0,4	0,05	6,9	0,02	—	10	20	—	—	KT-89	2	—														
КФ1158EH3301Б																													
КФ1158EH501A	5±0,2	0,15	30	0,4	0,05	6,9	0,02	—	10	20	—	—	KT-89	2	CS8321DP3 —														
КФ1158EH501Б																													
КФ1158EH601A	6±0,24	0,15	30	0,4	0,05	6,9	0,02	—	10	20	—	—	KT-89	2	—														
КФ1158EH601Б																													
КФ1158EH901A	9±0,36	0,15	30	0,4	0,05	6,9	0,02	—	10	20	—	—	KT-89	2	—														
КФ1158EH901Б																													
КФ1158EH1201A	12±0,48	0,15	30	0,4	0,05	6,9	0,02	—	10	20	—	—	KT-89	2	—														
КФ1158EH1201Б																													
КФ1158EH1501A	15±0,6	0,15	30	0,4	0,05	6,9	0,02	—	10	20	—	—	KT-89	2	—														
КФ1158EH1501Б																													
КФ1158EH5В	5±0,2	0,5	30	0,6	0,05	3	0,02	—	5	65	—	—	KT-90	2	LM2937ES5 —														
КФ1158EH5Г																													
КФ1158EH6В	6±0,24	0,5	30	0,6	0,05	3	0,02	—	5	65	—	—	KT-90	2	—														
КФ1158EH6Г																													
КФ1158EH9В	9±0,36	0,5	30	0,6	0,05	3	0,02	—	5	65	—	—	KT-90	2	—														
КФ1158EH9Г																													
КФ1158EH12В	12±0,48	0,5	30	0,6	0,05	3	0,02	—	5	65	—	—	KT-90	2	LM2937ES12 —														
КФ1158EH12Г																													
КФ1158EH15В	15±0,6	0,5	30	0,6	0,05	3	0,02	—	5	65	—	—	KT-90	2	LM2937ES15 —														
КФ1158EH15Г																													
KP1162EH5A ¹²	5±0,1	1,5	35	2,5	0,11	1,3	—	10	6	2	—	54	KT-28-2	14	μA7905UC LM7905CT														
KP1162EH5Б ¹²	5±0,2																												
KP1162EH6A ¹²	6±0,12	1,5	35	2,5	0,11	1,3	—	10	6	2	—	54	KT-28-2	14	μA7906UC LM7906CT														
KP1162EH6Б ¹²	6±0,24																												
KP1162EH8A ¹²	8±0,16	1,5	35	2,5	0,11	1,3	—	10	6	2	—	54	KT-28-2	14	μA7908UC LM7908CT														
KP1162EH8Б ¹²	8±0,32																												
KP1162EH9A ¹²	9±0,18	1,5	35	2,5	0,11	1,3	—	10	6	2	—	54	KT-28-2	14	μA7909UC LM7909CT														
KP1162EH9Б ¹²	9±0,36																												
KP1162EH12A ¹²	12±0,24	1,5	40	2,5	0,11	1,3	—	10	6	3	—	54	KT-28-2	14	μA7912UC LM7912CT														
KP1162EH12Б ¹²	12±0,48																												
KP1162EH15A ¹²	15±0,3	1,5	40	2,5	0,11	1,3	—	10	6	3	—	54	KT-28-2	14	μA7915UC LM7915CT														
KP1162EH15Б ¹²	15±0,6																												
KP1162EH18A ¹²	18±0,36	1,5	40	2,5	0,11	1,3	—	10	6	3	—	54	KT-28-2	14	μA7918UC LM7918CT														
KP1162EH18Б ¹²	18±0,72																												
KP1162EH20Б ¹²	20±0,8	1,5	40	2,5	0,11	1,3	—	10	6	3	—	54	KT-28-2	14	LM7920CT μA7924UC														
KP1162EH24A ¹²	24±0,48																												
KP1162EH24Б ¹²	24±0,96	1,5	40	2,5	0,11	1,3	—	10	6	3	—	54	KT-28-2	14	LM7924CT LM2990S5 ¹														
КФ1162EH5A ¹²	5±0,1																												
КФ1162EH6A ¹²	6±0,12	1	35	2,5	0,11	1,3	0,01	—	5	2	—	54	KT-90	14	— LM2990S12 ¹ LM2990S15 ¹ —														
КФ1162EH9A ¹²	9±0,18																												
КФ1162EH12A ¹²	12±0,24																												
КФ1162EH15A ¹²	15±0,3																												
КФ1162EH18A ¹²	18±0,36																												
КФ1162EH24A ¹²	24±0,48																												
КФ1162EH27A ¹²	27±0,54	0,1	25	1,7	—	—	—	0,5	—	2	—	40	KT-26 KT-47	14	MC79L05ACP MC79L05CP NJM79L05UA MC79L06ACP MC79L06CP NJM79L06UA MC79L08ACP MC79L08CP NJM79L08UA														
KP1168EH5A ¹²	5±0,1																												
KP1168EH5Б ¹²	5±0,2																												
KP1168EH5Т ¹²	5±0,1																												
KP1168EH6A ¹²	6±0,12																												
KP1168EH6Б ¹²	6±0,24																												
KP1168EH6Т ¹²	6±0,12	0,1	25	1,7	—	—	—	0,5	—	2	—	40	KT-26 KT-47	14	MC79L08ACP MC79L08CP NJM79L08UA														
KP1168EH8A ¹²	8±0,16																												
KP1168EH8Б ¹²	8±0,32																												
KP1168EH8Т ¹²	8±0,16																												
																0,1	25	1,7	—	—	—	0,5	—	2	—	40	KT-26 KT-47	14	MC79L08ACP MC79L08CP NJM79L08UA

1	2	3	4	5	6	7	8	9	10	11	12	13	14	15	16			
KP1168EH9A ¹²	9±0,18	0,1	25	1,7	—	—	—	0,5	—	2	—	40	KT-26	14	MC79L09ACP			
KP1168EH9B ¹²	9±0,36												MC79L09CP					
KP1168EH9T ¹²	9±0,18												KT-47		NJM79L09UA			
KP1168EH12A ¹²	12±0,24	0,1	30	1,7	—	—	—	0,5	—	2	—	40	KT-26	14	MC79L12ACP			
KP1168EH12B ¹²	12±0,48												MC79L12CP					
KP1168EH12T ¹²	12±0,24												KT-47		NJM79L12UA			
KP1168EH15A ¹²	15±0,3	0,1	30	1,7	—	—	—	0,5	—	2	—	40	KT-26	14	MC79L15ACP			
KP1168EH15B ¹²	15±0,6												MC79L15CP					
KP1168EH15T ¹²	15±0,3												KT-47		NJM79L15UA			
KP1168EH18A ¹²	18±0,36	0,1	30	1,7	—	—	—	0,5	—	2	—	40	KT-26	14	MC79L18ACP			
KP1168EH18B ¹²	18±0,72												MC79L18CP					
KP1168EH18T ¹²	18±0,36												KT-47		NJM79L18UA			
KP1168EH20A ¹²	20±2 %	0,1	30	1,7	0,16	*1	—	0,5	—	2	—	32	KT-26	14	MC79L20ACP			
KP1168EH20B ¹²	20±4 %												MC79L20CP					
KP1168EH20T ¹²	20±2 %												KT-47		—			
KP1168EH24A ¹²	24±2 %	0,1	40	1,7	0,16	*1	—	0,5	—	2	—	30	KT-26	14	MC79L24ACP			
KP1168EH24B ¹²	24±4 %												MC79L24CP					
KP1168EH24T ¹²	24±2 %												KT-47		—			
KP1168EH05A9 ¹²	5±1	0,1	25	1,7	0,16	*1	—	0,5	—	2	—	40	KT-47	14	NJM79L05UA			
KP1168EH06A9 ¹²	6±12														NJM79L06UA			
KP1168EH08A9 ¹²	8±16														NJM79L08UA			
KP1168EH09A9 ¹²	9±18														NJM79L09UA			
KP1168EH12A9 ¹²	12±24		30												36	NJM79L12UA		
KP1168EH15A9 ¹²	15±3														33	NJM79L15UA		
KP1168EH18A9 ¹²	18±36														32	NJM79L18UA		
KP1170EH3	3±0,15														0,1	25	0,6	0,1
KP1170EH4	4±0,2	NJU7201L40																
KP1170EH5	5±0,25	LM2931AZ-5																
KP1170EH6	6±0,3	AN77L06																
KP1170EH8	8±0,4	AN77L08																
KP1170EH9	9±0,45	AN77L09																
KP1170EH12	12±0,6	AN77L12																
KP1170EH15	15±0,75	—																
KP1179EH5A ¹²	5±0,1	1	35	2,5	0,08	1,33	—	15	5	8	—	70	KT-28-2	14	7905AC			
KP1179EH5B ¹²	5±0,2				0,11										7905C			
KP1179EH5B ¹²					7905B													
KP1179EH6A ¹²	6±0,12	1	35	2,5	0,08	1,1	—	15	5	8	—	65	KT-28-2	14	M7906ACT			
KP1179EH6B ¹²	6±0,24				0,12	1,33									7906C			
KP1179EH6B ¹²	1				35	2,5									0,08	1	—	15
KP1179EH8A ¹²		8±0,16	0,14	1,33			MC7908ACT											
KP1179EH8B ¹²		8±0,32	0,08	0,88			7908C											
KP1179EH8B ¹²	8±0,32	1	35	2,5	0,14	1,33	—	15	5	8	—	61	KT-28-2	14	MC7908BT			
KP1179EH9A ¹²	9±0,18				0,08	0,88									7909AC			
KP1179EH9B ¹²	9±0,36				0,14	1,33									7909C			
KP1179EH9B ¹²	9±0,36	1	35	2,5	0,08	0,66	—	15	5	8	—	61	KT-28-2	14	7909B			
KP1179EH12A ¹²	12±0,24				0,16	1,32									7912AC			
KP1179EH12B ¹²	12±0,48				0,08	0,66									7912C			
KP1179EH12B ¹²	12±0,48	1	35	2,5	0,16	1,32	—	15	5	8	—	61	KT-28-2	14	7912B			
KP1179EH15A ¹²	15±0,3				0,08	0,66									7915AC			
KP1179EH15B ¹²	15±0,6				0,16	1,32									MC7915CT			
KP1179EH15B ¹²	15±0,6	1	35	2,5	0,16	1,32	—	15	5	8	—	60	KT-28-2	14	MC7915BT			
KP1179EH18A ¹²	18±0,36				0,08	0,66									7918AC			
KP1179EH18B ¹²	18±0,72				0,16	1,32									7918C			
KP1179EH18B ¹²	18±0,72	1	35	2,5	0,08	0,66	—	15	5	8	—	59	KT-28-2	14	7918B			
KP1179EH20A ¹²	20±0,4				0,16	1,3									7920AC			
KP1179EH20B ¹²	20±0,8				0,08	0,66									7920C			
KP1179EH20B ¹²	20±0,8	1	35	2,5	0,16	1,3	—	15	5	8	—	57	KT-28-2	14	7920B			
KP1179EH24A ¹²	24±0,48				0,09	0,06									7924AC			
KP1179EH24B ¹²	24±0,96				0,18	1,32									7924C			
KP1179EH24B ¹²	24±0,96	1	40	2,5	0,16	1,32	—	15	5	8	—	56	KT-28-2	14	7924B			
KP1180EH5A ²⁰	5±0,1				0,08	—0,022									15 ²¹	5	6	μA7805AC
KP1180EH5B ²⁰	5±0,2				0,1	1,33									—0,016	15 ²¹	5	8
KP1180EH5B ⁵	5±0,2	1	35	2,5	0,1	1,33	—0,016	15 ²¹	5	6	—	65	KT-28-2	2	μA7805B			
KP1180EH6A ²⁰	6±0,12				0,08	1,1									μA7806AC			
KP1180EH6B ²⁰	6±0,24				0,12	1,33									μA7806C			
KP1180EH6B ⁵	6±0,24	1	35	2,5	0,08	0,83	—0,016	15 ²¹	5	6	—	65	KT-28-2	2	μA7806B			
KP1180EH8A ²⁰	8±0,16				0,18	1,33									μA7808AC			
KP1180EH8B ²⁰	8±0,32				0,08	0,74									μA7808C			
KP1180EH8B ⁵	8±0,32	1	35	2,5	0,14	1,33	—0,016	15 ²¹	5	6	—	60	KT-28-2	2	μA7808B			
KP1180EH9A ²⁰	9±0,18				0,08	0,74									μA7809AC			
KP1180EH9B ²⁰	9±0,36				0,14	1,33									μA7809C			
KP1180EH9B ⁵	9±0,36	1	35	2,5	0,06	0,44	—	15 ²¹	5	6	—	55	KT-28-2	2	μA7809B			
KP1180EH12A ²⁰	12±0,24				0,06	0,44									μA7812AC			
KP1180EH12B ²⁰	12±0,48				0,1	1,06									—0,02	15 ²¹	5	8
KP1180EH12B ⁵	12±0,48														μA7812B			

1	2	3	4	5	6	7	8	9	10	11	12	13	14	15	16
KP1180EH15A ²⁰	15±0,3	1	35	2,5	0,08	0,44	—	15 ²¹	5	6	—	54	KT-28-2	2	μA7815AC
KP1180EH15B ²⁰	15±0,6				0,16	1,33	-0,02			8					μA7815C
KP1180EH15B ⁵					—	—	—			8					μA7815B
KP1189EH18A ²⁰	18±0,36	1	35	2,5	0,08	0,37	—	15 ²¹	5	6	—	55	KT-28-2	2	μA7818AC
KP1180EH18B ²⁰	18±0,72				0,15	1,33	-0,02			8					μA7818C
KP1180EH18B ⁵					—	—	—			8					μA7818B
KP1180EH20A ²⁰	20±0,4	1	35	2,5	0,08	0,33	—	15 ²¹	5	6	—	55	KT-28-2	2	μA7820AC
KP1180EH20B ²⁰	20±0,8				0,17	1,33	-0,024			8					μA7820C
KP1180EH20B ⁵					—	—	—			8					μA7820B
KP1180EH24A ²⁰	24±0,48	1	40	2,5	0,09	0,28	—	15 ²¹	5	6	—	55	KT-28-2	2	μA7824AC
KP1180EH24B ²⁰	24±0,96				0,15	1,33	-0,033			8					μA7824C
KP1180EH24B ⁵					—	—	—			8					μA7824B
KP1180EH5A1	5±2 %	1	35	2,5	0,08	—	-0,022	0,5	—	6	—	70	KT-89	2	—
KP1180EH5B1	5±4 %				0,1	1,33	-0,016			8					L7805ACD2T
KP1180EH5B1	—				—	—	—			8					L7805ABD2T
KP1180EH6A1	6±2 %	1	35	2,5	0,08	1,1	—	0,5	—	6	—	65	KT-89	2	—
KP1180EH6B1	6±4 %				0,12	1,83	—			8					L7806ACD2T
KP1180EH6B1					—	—	—			8					L7806ABD2T
KP1180EH8A1	8±0,16	1	35	2,5	0,08	0,83	—	0,5	—	6	—	65	KT-89	2	—
KP1180EH8B1	8±0,32				0,18	1,33	-0,016			8					L7808ACD2T
KP1180EH8B1					—	—	—			8					L7808ABCD2T
KP1180EH9A1	9±0,18	1	35	2,5	0,08	0,74	—	0,5	—	6	—	60	KT-89	2	—
KP1180EH9B1	9±0,36				0,14	1,3	-0,016			8					L7809ACD2T
KP1180EH9B1					—	—	—			8					L7809ABCD2T
KP1180EH12A1	12±0,24	1	35	2,5	0,06	0,44	—	0,5	—	6	—	55	KT-89	2	—
KP1180EH12B1	12±0,48				0,1	1,06	-0,016			8					L7812ACD2T
KP1180EH12B1					—	—	—			8					L7812ABCD2T
KP1180EH15A1	15±0,3	1	35	2,5	0,08	0,44	—	0,5	—	6	—	54	KT-89	2	—
KP1180EH15B1	15±0,6				0,16	1,33	—			8					L7815FCD2T
KP1180EH15B1					—	—	—			8					L7815ABCD2T
KP1180EH18A1	18±0,36	1	35	2,5	0,08	0,37	—	0,5	—	6	—	55	KT-89	2	—
KP1180EH18B1	18±0,72				0,15	1,33	—			8					L7818ACD2T
KP1180EH18B1					—	—	—			8					L7818ABCD2T
KP1180EH20A1	20±0,4	1	35	2,5	0,08	0,33	—	0,5	—	6	—	55	KT-89	2	—
KP1180EH20B1	20±0,8				0,17	1,33	—			8					L7820ACD2T
KP1180EH20B1					—	—	—			8					L7820ABCD2T
KP1180EH24A1	24±0,48	1	40	2,5	0,09	0,2	—	0,5	—	6	—	55	KT-89	2	—
KP1180EH24B1	24±0,96				0,15	1,33	—			8					L7824ACD2T
KP1180EH24B1					—	—	—			8					L7824ABCD2T
KP1181EH5A	5±5 %	0,1	30	1,7	0,23	15	-0,01	0,62	—	6	—	41	KT-26	13	LM78L05ACZ
KP1181EH5B	5±10 %				0,33	—	—			6					L78L05CZ
KP1181EH6A	6±5 %				0,2	15	—			6					L78L06ACZ
KP1181EH6B	6±10 %	0,1	30	1,7	0,26	—	—	0,62	—	6	—	39	KT-26	13	L78L06CZ
KP1181EH8A	8±5 %				0,18	12,8	—			6					L78L08ACZ
KP1181EH8B	8±10 %				0,2	—	—			6					L78L08CZ
KP1181EH9A	9±5 %	0,1	30	1,7	0,14	11,4	-0,01	0,62	—	6,5	—	37	KT-26	13	LM78L09AC
KP1181EH9B	9±10 %				0,18	—	—			6,5					L78L09CZ
KP1181EH12A	12±5 %				0,17	10,7	-0,01			6,5					L78L12ACZ
KP1181EH12B	12±10 %	0,1	35	1,7	0,17	—	—	0,62	—	6,5	—	37	KT-26	13	L78L12CZ
KP1181EH15A	15±5 %				0,17	12,8	-0,01			6,5					L78L15ACZ
KP1181EH15B	15±10 %				0,17	12,8	-0,01			6,5					L78L15CZ
KP1181EH18A	18±5 %	0,1	35	1,7	0,15	12,1	-0,01	0,62	—	6,5	—	33	KT-26	13	L78L18ACZ
KP1181EH18B	18±10 %				0,15	12,1	-0,01			6,5					L78L18CZ
KP1181EH24A	24±5 %				0,16	10,7	-0,01			6,5					L78L24ACZ
KP1181EH24B	24±10 %	0,1	40	1,7	0,16	—	—	0,62	—	6,5	—	31	KT-26	13	L78L24CZ
KP1183EH5A ¹²	5±0,1 %				1,5	0,05	1,33			—					8
KP1183EH5B ¹²	5±0,18 %				2	0,05	1			-0,01					15
KP1183EH6A ¹²	6±0,12	1,5	35	2	0,05	1,33	-0,02	15	5	8	—	65	KT-28-2	14	VC7906
KP1183EH6B ¹²	6±0,21	2			0,05	1	—			8					
KP1183EH8A ¹²	8±0,24	1,5			0,05	0,67	-0,02			8					VC7908
KP1183EH8B ¹²	8±0,32	1	30	2	0,1	1,5	—	15	5	8	—	62	KT-28-2	14	VC7908
KP1183EH9A ¹²	9±0,27	1,5			0,05	0,67	-0,02			8					VC7909
KP1183EH9B ¹²	9±0,36	1			0,1	1,5	—			8					
KP1183EH12A ¹²	12±0,36	1,5	35	2	0,05	0,67	-0,02	15	5	8	—	61	KT-28-2	14	VC7912
KP1183EH12B ¹²	12±0,48	1			0,1	1,5	—			8					
KP1183EH15A ¹²	15±0,45	1,5			0,05	0,67	-0,02			8					VC7915
KP1183EH15B ¹²	15±0,6	1	30	2	0,1	1,5	—	15	5	8	—	60	KT-28-2	14	VC7915
KP1183EH18A ¹²	18±0,54	1,5			0,05	0,67	-0,02			8					VC7918
KP1183EH18B ¹²	18±0,72	1			0,1	1,5	—			8					

начинающим

Трехрежимный светодиодный фонарь

А. ОЗНОБИХИН, г. Иркутск

Предлагаемое устройство имеет несколько режимов работы. Помимо основного — фонаря, оно может работать в режимах маяка или ночника. Схема устройства показана на **рис. 1**. В качестве источника света применен светодиод EL1 повышенной яркости свечения, на "мигающем" светодиоде HL1 и резисторе R1 собран генератор управляющих импульсов для переключения транзистора VT1. Источник питания — батарея гальванических элементов GB1 напряжением 6 В. Выбирают режим работы переключателем SA1.

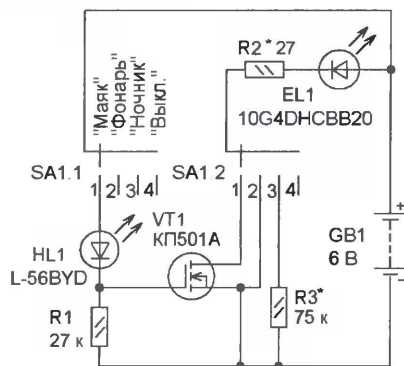


Рис. 1

кает ток 50...60 мА и он светит ярко, в режиме "Ночник" ток менее 0,1 мА, поэтому яркость его свечения суще-

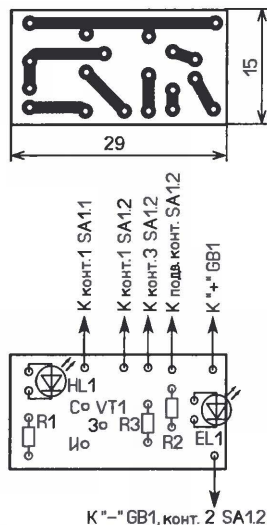


Рис. 2

ственно уменьшается, но оказывается достаточной для поддержания минимального местного освещения. В режиме "Маяк" светодиод EL1 включен последовательно с транзистором VT1. Когда светодиод HL1 вспыхивает, на резисторе R1 появляется импульс напряжения, достаточный для открытия транзистора VT1, и светодиод EL1 также вспыхивает.

ет. Частота вспышек составляет 1,5...2 Гц.

Все детали устройства, кроме батареи и переключателя, монтируют на печатной плате из односторонне фольгированного стеклотекстолита толщиной 1...1,5 мм, чертёж которой показан на **рис. 2**. Ее устанавливают в пластмассовый корпус, например, в мыльницу прямоугольной формы, там же размещают батарею питания. Для светодиода и переключателя на передней панели делают отверстия.

В устройстве применены постоянные резисторы МЛТ, С2-23, полевой транзистор КП501А заменим на транзисторы серий КП501, КП504 с любыми буквенными индексами или на импортные BSS88, BS170P. Светодиод L-56BYD можно заменить на L-56BHD, ARL-5013URC-B, а 10G4DHCB20 — на светодиоды L-53MWC, ARL-5013UWC, ARL-5613UWW, ARL-3214UWC белого цвета свечения. Переключатель — любой малогабаритный на четыре положения и два направления. Если применить движковый переключатель на три положения и два направления, один из режимов следует исключить. Для питания можно использовать батарею из четырех последовательно соединенных гальванических элементов либо пяти Ni-Cd, Ni-MH аккумуляторов типоразмера AA или AAA.

Налаживание устройства заключается в подборке резисторов R2, R3, которые определяют ток через светодиод EL1, а значит, и яркость его свечения. Ток более 60 мА устанавливать нецелесообразно, поскольку яркость свечения светодиода EL1 увеличится незначительно, а энергопотребление при этом возрастет.

Светодинамическая установка "Узор"

А. ЛЕЧКИН, г. Рязань

Большой популярностью у радиолюбителей пользуются всевозможные светодинамические установки. Есть среди них конструкции для оформления наружной иллюминации, интерьеров баров, кафе, дискотек, а есть и такие, световое табло которых можно без труда разместить на столе или стене комнаты и тем украсить молодежную вечеринку или семейный праздник. Именно такая установка описана в публикуемой ниже статье. Она выполнена на доступной элементной базе, проста в наладке и может быть повторена даже начинающими радиолюбителями. Устройство способно работать в трех режимах, формируя световые эффекты на небольшом табло, состоящем из 48 светодиодов, образующих восемь гирлянд.

Светодинамическая установка "Узор" реагирует на звук, ИК излучение пульта дистанционного управления (ДУ), а также может работать в автоматическом режиме. Она генерирует различные световые эффекты, создавая на светодиагностическом табло разнообразные узоры.

Автоматический режим активируется сразу после включения питания устройства. В этом режиме генерируются 16 циклически повторяющихся световых эффектов. При облучении фотоприемника установки с пульта ДУ стандарта RC-5 (большинство телевизоров оснащено именно такими пультами) характер световых эффектов изме-

няется — гирлянды начинают зажигаться строго последовательно в определенном порядке. Темпом переключения управляют с пульта, кратковременно нажимая или удерживая в нажатом положении любую кнопку. С появлением громких звуков (речи, пения, музыки) устройство переходит в акустический режим, в котором световые картинки-узоры на табло изменяются в зависимости от характера и интенсивности звука. Этот процесс продолжается до тех пор, пока звуки не стихнут, после чего установка возвращается в исходный режим, повторяя 16 световых эффектов по кольцу. Таким образом,

прибор анализирует окружающую обстановку на наличие звука и ИК излучения пульта ДУ и автоматически переключается из одного режима в другой, изменяя световую картинку на табло.

Схема установки изображена на рис. 1. Она состоит из RC-генератора импульсов с частотой повторения около 10 кГц на элементах DD1.1, DD1.3, счетчика импульсов на микросхеме DD2, счетчика-дешифратора на микросхеме DD3, микрофонного усилителя на ОУ DA1, формирователя импульсов на транзисторе VT1, ИК фотоприемника B1, селектора импульсов на элементе DD1.2, выходных ключей на транзисторах VT2—VT5 и выносного табло, на котором в определенном порядке смонтированы светодиоды HL2—HL49.

После включения питания (в отсутствие звука и ИК излучения) начинает работать генератор на элементах DD1.1, DD1.3, переменное напряжение на выходе (вывод 6) ОУ DA1 отсутствует, поэтому транзистор VT1 закрыт и постоянное напряжение на его коллекторе близко к напряжению питания. Такой же уровень присутствует и на выходе ИК фотоприемника B1. Иными словами, напряжение на обоих входах (выводы 8 и 9) элемента DD1.2 имеет высокий уровень, поэтому на его выходе (вывод 10) напряжение близко к нулю, диод VD1 закрыт и конденсатор C5 разряжен через резистор R9. Благодаря низкому уровню на входе R счетчик DD2 нахо-

дится в рабочем состоянии и считает импульсы, поступающие на его вход С с выхода генератора на элементах DD1.1, DD1.3. При этом на выводах 15, 1, 2, 3 счетчика DD2 появляется двоичный код, представляющий собой комбинации из нулей и единиц. Четыре разряда счетчика позволяют получить $2^4 = 16$ комбинаций на выходе. При уровне лог. 1, появившемся на каком-либо выходе счетчика DD2, открываются подключенный к нему диод и соответствующий транзистор, при уровне лог. 0 они закрываются. В результате на время нахождения транзистора в открытом состоянии зажигаются включенные в его коллекторную цепь две гирлянды из шести включенных последовательно светодиодов. Резисторы R14—R17 ограничивают базовый ток транзисто-

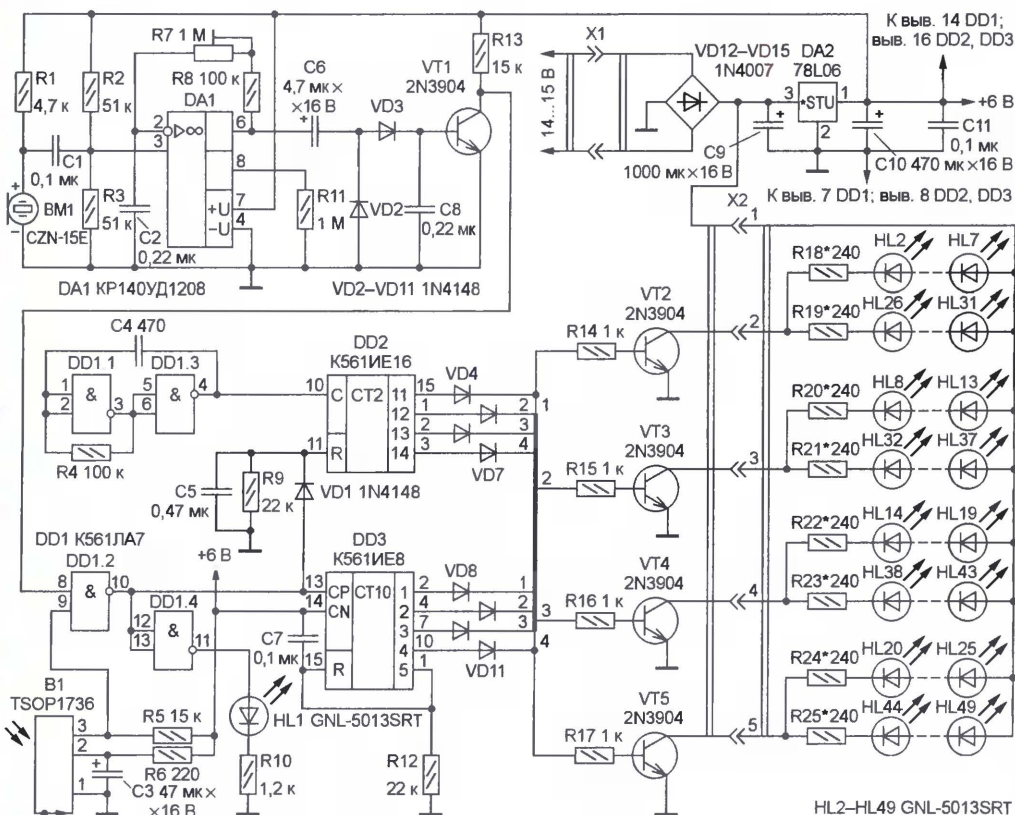


Рис. 1

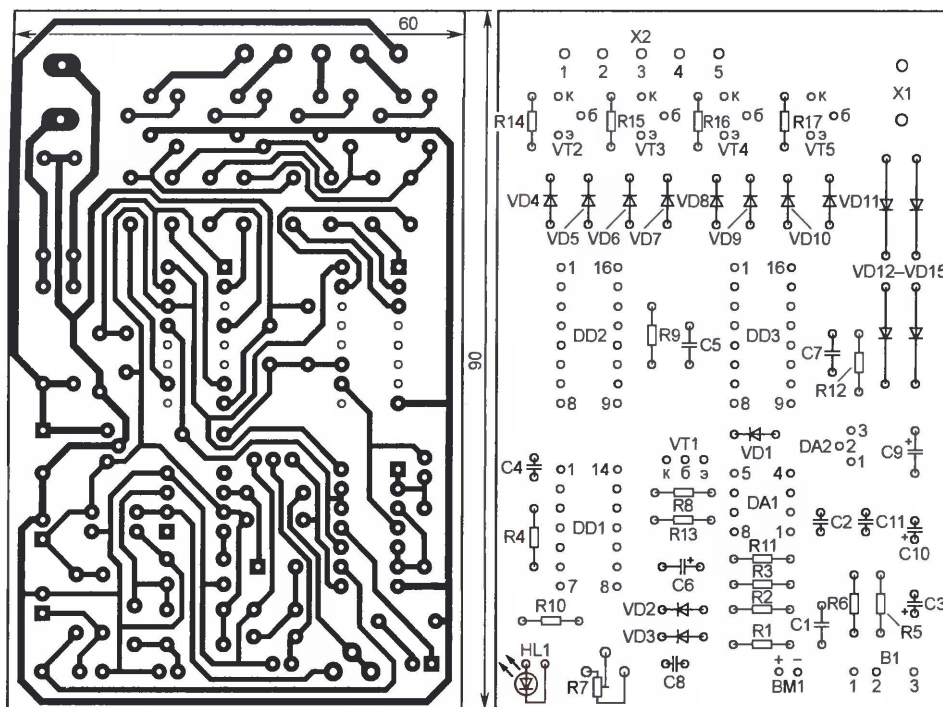


Рис. 2

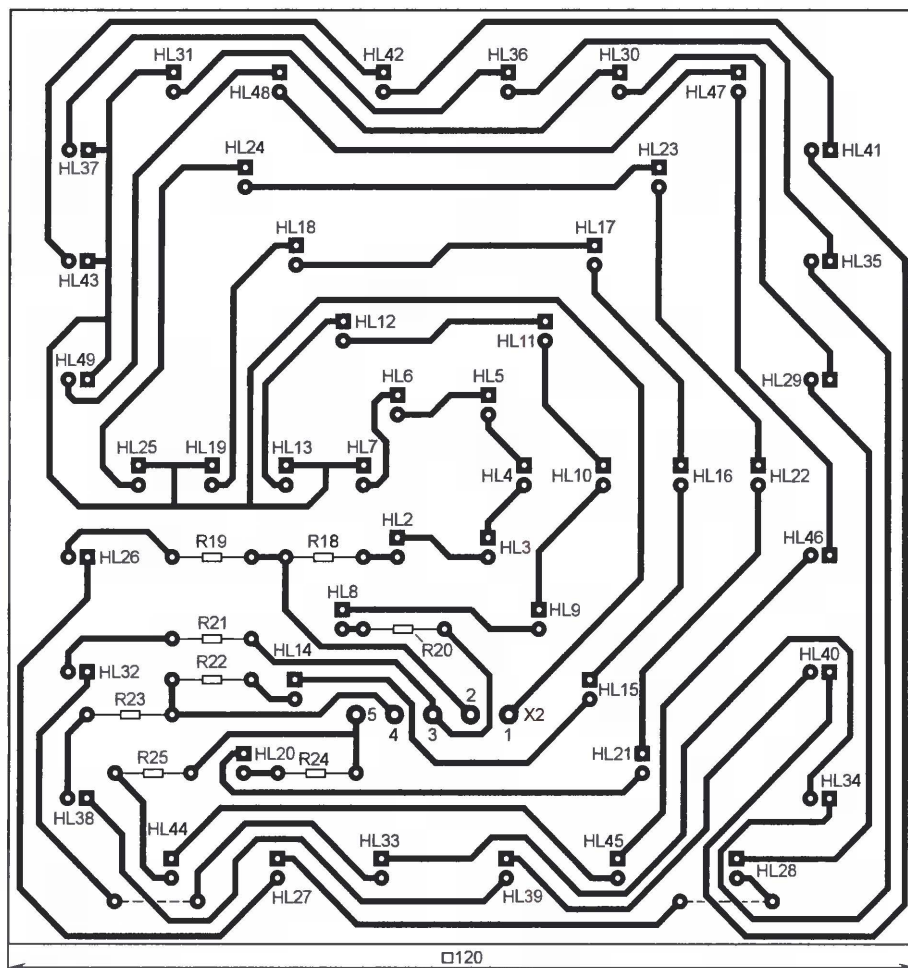


Рис. 3

ров VT2—VT5, резисторы R18—R25 — ток через светодиоды гирлянды.

С появлением звукового сигнала на выходе микрофона BM1 возникает переменное напряжение звуковой частоты, которое через конденсатор C1 поступает на неинвертирующий вход (вывод 3) ОУ DA1. Сюда же подано постоянное напряжение с делителя R2R3 (примерно половина напряжения питания), что необходимо для работы ОУ при однополярном питании. Коэффициент усиления каскада зависит от введенного сопротивления подстроечного резистора R7 в цепи ООС, охватывающей ОУ.

Усиленное напряжение с выхода ОУ подается на выпрямитель, выполненный по схеме удвоения напряжения на диодах VD2, VD3 и конденсаторах C6, C8. Напряжение положительной полярности, создаваемое на конденсаторе C8, поступает на базу транзистора VT1. Поскольку емкость конденсатора относительно невелика, напряжение на нем при громких звуках достигает уровня, при котором транзистор открывается до насыщения, а в паузах между ними конденсатор разряжается через его эмиттерный переход, и он начинает закрываться. В результате на коллекторе транзистора формируются импульсы отрицательной полярности, которые подаются на вход (вывод 8) элемента DD1.2, выполняющего функции селектора импульсов. Поскольку, как говорилось, в отсутствие ИК излучения на его другом входе (вывод 9) постоянно присутствует напряжение лог. 1, то до тех пор, пока напряжение на коллекторе транзистора VT1 превышает уровень переключения элемента (примерно половина напряжения питания), напряжение на его выходе имеет низкий уровень. В момент, когда напряжение на коллекторе транзистора VT1 становится меньше этого уровня, элемент DD1.2 переключается и низкий уровень на его выходе сменяется высоким. Обратное переключение происходит при увеличении напряжения на коллекторе. Так формируется последовательность положительных импульсов, которые поступают на вход CP (вывод 13) счетчика DD3.

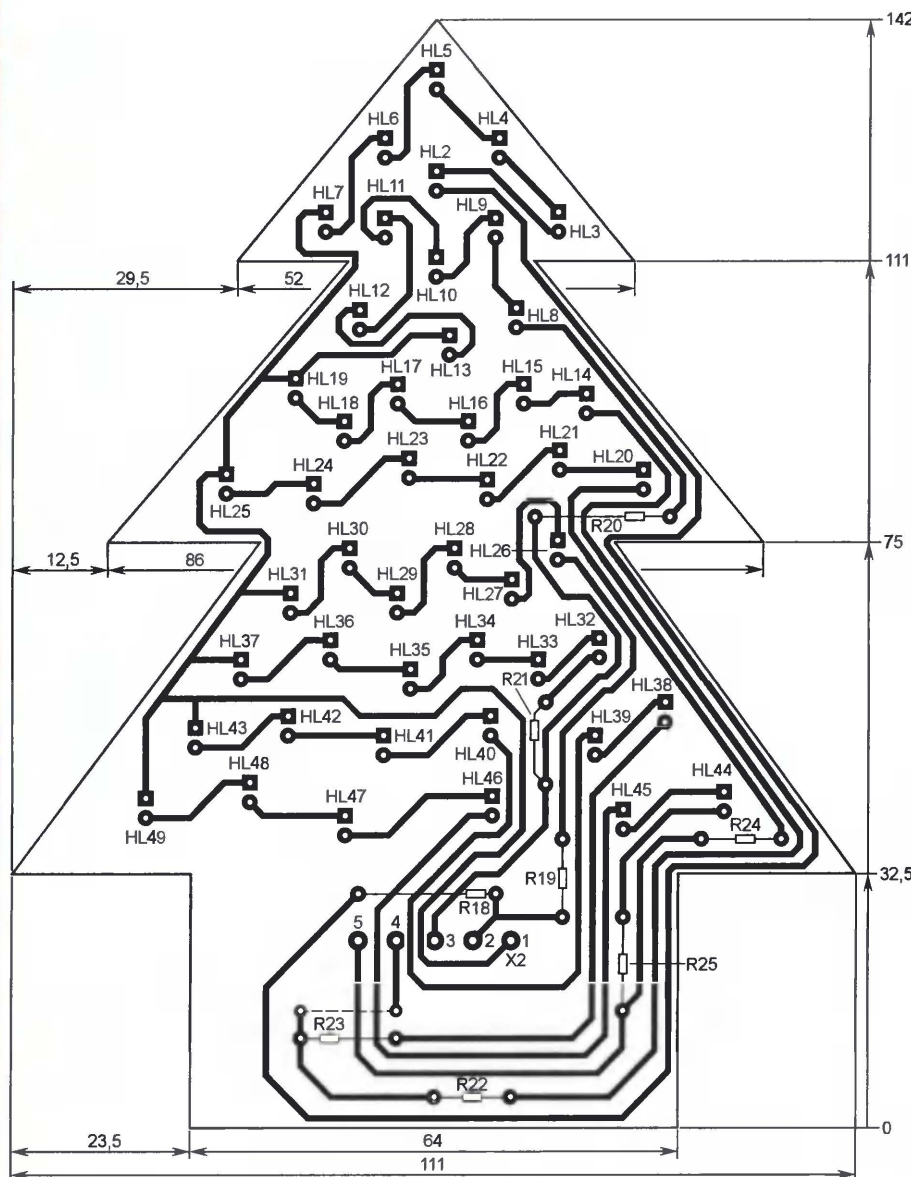


Рис. 4

Эти положительные импульсы через диод VD1 заряжают конденсатор C5 до уровня лог. 1 и тем самым блокируют счетчик DD2. Поступая же на вход CP (вывод 13) микросхемы DD3, они вызывают последовательное появление уровня лог. 1 на выходах 1—4 (соответственно выводы 2, 4, 7, 10; в исходном состоянии — при уровне лог. 0 на выв.13 — на них присутствует лог. 0). При этом поочередно открываются диоды VD8—VD11 и транзисторы VT2—VT5, включая те же гирлянды светодиодов HL2—HL49 с переменной частотой, определяемой характером и громкостью звуковых колебаний.

Уровень лог. 1, появившийся на выходе 5 (вывод 1), соединенном с входом R (вывод 15) микросхемы DD3, переводит счетчик в исходное состояние, после чего цикл повторяется — на выходах 1—4 вновь последовательно появляется уровень лог. 1 и соединен-

ные с ними транзисторы снова в той же последовательности зажигают гирлянды светодиодов.

Излучение ИК импульсов при нажатии на любую кнопку пульта ДУ, направленного на модуль фотоприемника B1, приводит к тому, что на его выходе (вывод 3) уровень лог. 1 сменяется последовательностью импульсов отрицательной полярности, которые поступают на вывод 9 элемента DD1.2. Поскольку на его выводе 8 присутствует уровень лог. 1 (транзистор VT1 в отсутствие звука закрыт), на выходе элемента (вывод 10) формируются импульсы положительной полярности, которые останавливают счетчик DD2 и поступают на вход CP счетчика DD3. Импульсы с уровнем лог. 1 с его выхода, как и в предыдущем случае, последовательно открывают диоды VD8—VD11 и транзисторы VT2—VT5, включая гирлянды светодиодов HL2—HL49. При кратко-

временных нажатиях кнопки на пульте частота переключения гирлянд изменяется "в такт" с нажатиями, а если ее удерживать нажатой, частота переключения меняться не будет (светодиоды начнут переключаться с постоянной частотой).

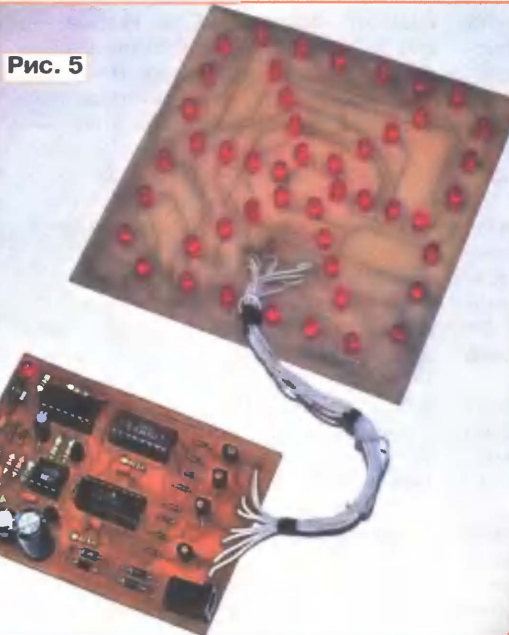
Светодиод HL1, включенный в выходную цепь элемента DD1.4, — индикатор работы устройства в режимах управления звуком и ИК излучением. При появлении на его входе (выводы 12, 13) импульсной последовательности напряжение на выходе (вывод 11) начинает пульсировать, а светодиод мигать с частотой следования импульсов, индицируя прием сигнала фотоприемником B1 и микрофоном BM1. Так как элементы микросхемы DD1 имеют низкую нагрузочную способность, последовательно со светодиодом включен токоограничительный резистор R10.

Для питания конструкции следует использовать источник с выходным стабилизированным напряжением не менее 14 В, например, адаптер от игровых телевизионных приставок. Назначение диодного моста VD12—VD15 — защита устройства от неправильной полярности подключения адаптера (не секрет, что разъемы питания адаптеров разных фирм не отличаются единообразием назначения контактов: у одних на центральный контакт выведен плюс выходного напряжения, у других — минус). Диодный мост полностью решает проблему, хотя на нем и падает часть напряжения адаптера. Для питания микросхем применен интегральный стабилизатор 78L06 (DA2) с выходным напряжением 6 В (это значение выбрано в основном для обеспечения устойчивой работы счетчиков DD2, DD3).

Конструктивно установка выполнена в виде двух устройств, собранных на печатных платах из односторонне фольгированного стеклотекстолита толщиной 1,5 мм. Большинство деталей размещено на плате управления, чертеж которой представлен на рис. 2. Светодиоды HL2—HL49 и резисторы R18—R25 монтируют на световом табло, которое можно изготовить либо в виде квадрата (рис. 3), либо в виде елочки (рис. 4). С платой управления их соединяют жгутом из пяти проводов. Для удобства подключения концы жгута снабжают пятигнездными розетками (например, MHU-5), а на платах устанавливают соответствующие им вилки (MPW-5). Если предполагается использовать только одно табло, например, изготовленное по рис. 3, платы можно соединить и без разъемов, припаяв концы проводов жгута к соответствующим контактным площадкам плат, как это сделано в

одном из первых авторских вариантов установки, показанном на рис. 5. (От описанного он отличается отсутствием в базовых и коллекторных цепях транзисторов VT2—VT5 токоограничительных резисторов, которые были введены в более поздних вариантах для улучшения повторяемости и повышения надежности работы устройства).

Платы рассчитаны на применение постоянных резисторов МЛТ или аналогичных импортных, подстроечного резистора СПЗ-38а, керамических конденсаторов КМ (C1, C2, C4, C5, C7, C8, C11) и оксидных серии ТК фирмы Jamicon (остальные). Микрофон BM1 — электретный CZN-15E (от китайской телефонной трубки) или отечественный МКЭ-332, модуль приемника ИК сигналов В1—TSOP1736 или ILM5360 с номинальным значением частоты повторения принимаемых ИК импульсов 36 кГц. Разъем X1 — DJK-05C или другой, соответствующий вилке имеюще-



гося адаптера. Проволочные перемычки, соединяющие печатные проводники на противоположной стороне плат

табло (на рис. 3 и 4 изображены штриховыми линиями), изготавливают из луженого медного провода и впаивают до установки на место деталей.

Налаживание установки сводится в основном к подбору подстроечным резистором R7 такой чувствительности устройства к звуковому сигналу, чтобы оно надежно переключалось из автоматического режима работы в режим управления звуком и обратно. Делают это так. Установив движок резистора в крайнее левое (по схеме) положение, включают музыку (или произносят перед микрофоном какие-либо слова) и, постепенно перемещая движок, наблюдают за светодиодом HL1. Как только он с появлением звука начнет четко гаснуть на короткое время, цель достигнута. При необходимости подбирают резисторы R14—R25, добиваясь примерно одинаковой яркости свечения светодиодных гирлянд.

Редактор — В. Фролов, графика — В. Фролов, фото — автора

Многофункциональный диктофон "Говорун"

Г. ГУДКОВ, г. Хотьково Московской обл.

Устройство, о котором пойдет речь, собрано на основе специализированной микросхемы записи/воспроизведения голосовых сообщений ISD1620BP семейства ChipCorder фирмы Nuvoton [1, 2]. В отличие от других микросхем этого семейства, использованных в конструкциях [3—8], ISD1620BP содержит довольно мощный усилитель 3Ч класса D (при напряжении питания 4,4 В его

выходная мощность на нагрузке 8 Ом достигает 313 мВт), что избавляет от необходимости использовать внешний усилитель. Длительность записи/воспроизведения можно изменять в пределах 13,3...40 с подбором частоты квантования (для этого достаточно заменить один резистор). Как и у других микросхем семейства, гарантированное число циклов перезаписи — до 100 000, для-

тельность хранения информации — до 100 лет. Ток, потребляемый микросхемой в режиме хранения информации, не превышает 1 мА.

Схема предлагаемого диктофона представлена на рис. 1. Микросхема ISD1620BP включена по типовой схеме. Управляют работой устройства кнопками SB1 ("Запись") и SB2 ("Воспроизведение"). Запись производится все время, пока нажата кнопка SB1, вплоть до максимального значения, определяемого частотой квантования, которая, в свою очередь, зависит от сопротивления резистора R4, включенного между входом R_{OSC} и общим проводом. При его сопротивлении, указанном на схеме, частота квантования — примерно 12 кГц, максимальная длительность записи — 13,3 с; при увеличении сопротивления до 160 кОм частота квантования понижается до 4 кГц, а продолжительность записи возрастает до 40 с.

Воспроизведение записанного сигнала начинается в момент нажатия на кнопку SB2, продолжается все время, пока она нажата, и прекращается при ее отпускании. Включить воспроизведение можно и от внешнего датчика, подключаемого к гнезду XS1. Фонограмма в этом случае звучит полностью даже при кратковременном замыкании его контактов, а для остановки воспроизведения необходимо повторное замыкание. После завершения воспроизведения или записи микросхема автоматически переходит в экономичный режим.

Вывод AGC служит для автоматической регулировки усиления микрофон-

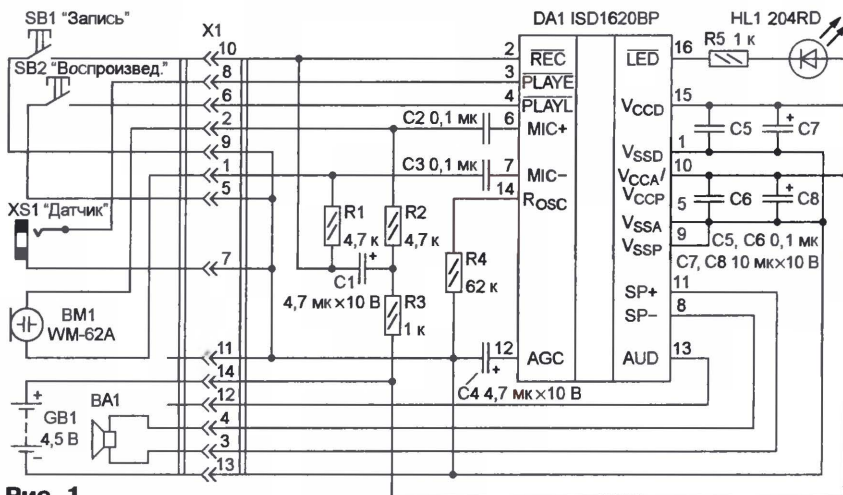


Рис. 1

ного усилителя. При указанной на схеме емкости конденсатора С4 обеспечивается вполне удовлетворительное качество записи звукового сигнала. При соединении этого вывода с общим проводом усиление максимально (40 дБ), а с плюсовым проводом питания — минимально (6 дБ).

Помимо выводов SP+ и SP-, предназначенных для подключения динамической головки к выходу встроенного усилителя мощности ЗЧ, микросхема имеет вывод AUD, с которого сигнал ЗЧ можно подать на вход внешнего, более мощного усилителя.

Выводы V_{CC}/V_{CCP} и V_{SS}/V_{SSA} (соответственно +U_{пит} и общий провод) предназначены для подачи напряжения питания на аналоговую часть микросхемы, V_{CCO} и V_{SSD} — на цифровую, вывод V_{SSP} — общий провод встроенного усилителя мощности. Разделение цепей питания используется для уменьшения шумов, в рассматриваемой конструкции это не обязательно, так как в качестве звукоизлучателя применена малогабаритная головка.

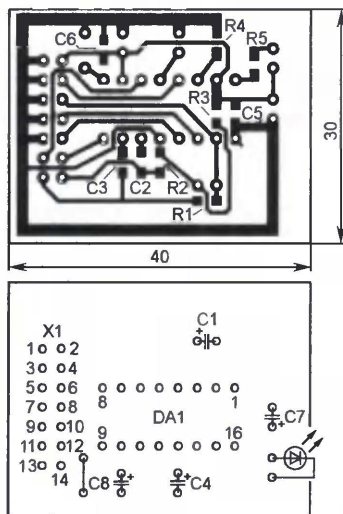


Рис. 2

Светодиод HL1 индицирует режим работы микросхемы. При записи фонограммы на ее выводе LED низкий уровень, поэтому светодиод светит постоянно, в режиме воспроизведения уровень периодически меняется с низкого на высокий, и наоборот, поэтому светодиод мигает. Ток через него ограничивает резистор R5.

В диктофоне применен электретный микрофон BM1. Нужный режим работы задан резисторами R1—R3.

Большинство деталей устройства устанавливают на печатной плате (рис. 2), изготовленной из односторонне фольгированного стеклотекстолита. Все резисторы и конденсаторы С2, С3, С5, С6 (первые с допуском отклоне-

нием от номинала $\pm 5\%$, вторые — $\pm 10\%$) — типоразмера 0805 или аналогичные для поверхностного монтажа. Их монтируют на стороне печатных проводников. Остальные конденсаторы — К50-35 или аналогичные импортные, например, серии ТК фирмы Jamicon, штыревую часть разъема X1 (PLD14) и светодиод HL1 (любого типа в корпусе диаметром 3 мм) устанавливают на противоположной стороне платы.

Нефиксируемые в нажатом положении кнопки SB1, SB2 — PBS10B-2 или другие малогабаритные. Гнездо XS1 — EY-512 (аудио гнездо моно JR2315 диаметром 3,5 мм). Динамическая головка — малогабаритная мощностью 0,5...1 Вт со звуковой катушкой сопротивлением 8 Ом.

Питают устройство от батареи, составленной из трех соединенных последовательно гальванических элементов или аккумуляторов типоразмера AAA.

Смонтированную плату, остальные детали диктофона и контейнер с элементами батареи размещают в самодельном или подходящем по размерам

си/воспроизведения. Однако следует помнить, что по мере ее увеличения качество звучания фонограммы будет ухудшаться.

Диктофон можно использовать для самых разных целей. Например, он будет полезен в тренировке произношения при изучении иностранного языка, при занятиях с логопедом, напомним о срочных делах, которые необходимо выполнить сегодня (для этого их перечень надо записать накануне). И, конечно же, он может служить забавной детской игрушкой или сувениром.

Используя различные датчики, подключенные к гнезду XS1, диктофон можно приспособить для оповещения о наполнении ванны, о протечке, возгорании. Подключив к нему кнопку квартирного звонка, получим устройство, извещающее о приходе гостей заранее записанным речевым сообщением или музыкальным фрагментом. С датчиком, контакты которого замыкаются при открывании входной двери, диктофон напомним о необходимости перед уходом выключить свет, электроприборы и газ, закрыть водопроводные краны; поприветствует вас, когда вы вернетесь домой, а в ваше отсутствие ... остановит грозным окриком потенциального вора, пытающегося ограбить вашу квартиру (в каждом из этих случаев, конечно, должна быть записана соответствующая фонограмма). Разумеется, диктофону можно найти и другое применение — все зависит от вашей творческой фантазии.

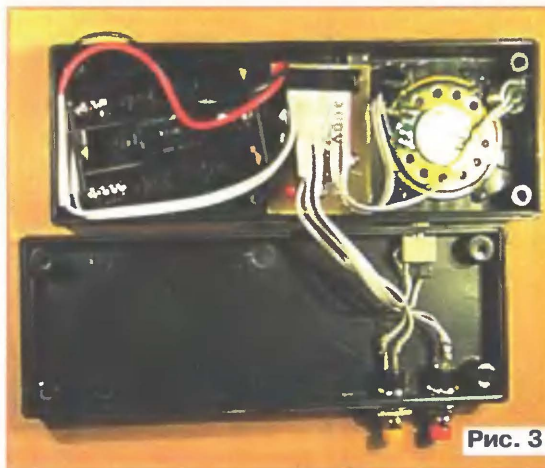


Рис. 3

ЛИТЕРАТУРА

готовом корпусе из пластмассы. Автор использовал имеющийся в продаже корпус BOX-FB08 с внешними размерами 140×50×17 мм (в нем можно установить динамическую головку диаметром не более 40 и высотой не более 12 мм). Для соединения с динамической головкой BA1, микрофоном BM1, кнопками SB1, SB2, гнездом XS1 ("Датчик") и контейнером батареи питания используют отрезок 14-жильного плоского кабеля FRC-14-31. На одном его конце монтируют ответную часть разъема X1 (FC-14PF), другой разделяют на пары и припаивают к выводам указанных деталей. Вид на монтаж аппарата показан на рис. 3.

Собранный из исправных деталей диктофон налаживания не требует и начинает работать сразу после включения питания. Единственное, что может понадобиться, — это замена резистора R4 для увеличения длительности запи-

1. Подорожный С. Микросхемы для записи и воспроизведения речи. — Радио, 2001, № 10, с. 20.

2. ISD1600B Series. Single-Message Single-Chip 6.6-to 40-Second Voice Record & Playback Devices with vAlert Option. — http://www.nuvoton-usa.com/products/isd_products/chipcoder/datasheets/1600/ISD1600Bd.pdf.

3. Партин А. Звуковой модуль на одной микросхеме. — Радио, 2002, № 11, с. 40.

4. Нечаев И. Звуковая "записка". — Радио, 2003, № 10, с. 45.

5. Нечаев И. Дверной звонок на микросхеме ISD25xxx. — Радио, 2004, № 2, с. 45.

6. Нечаев И. Звуковой автоответчик. — Радио, 2004, № 6, с. 55, 56.

7. Патрин А. Электронный квартирный звонок. — Радио, 2005, № 9, с. 37, 38.

8. Виноградов Ю. "Говорящая" микросхема в охранных устройствах. — Радио, 2008, № 9, с. 36, 37.

Редактор — В.Фролов, графика — В.Фролов, фото — автора

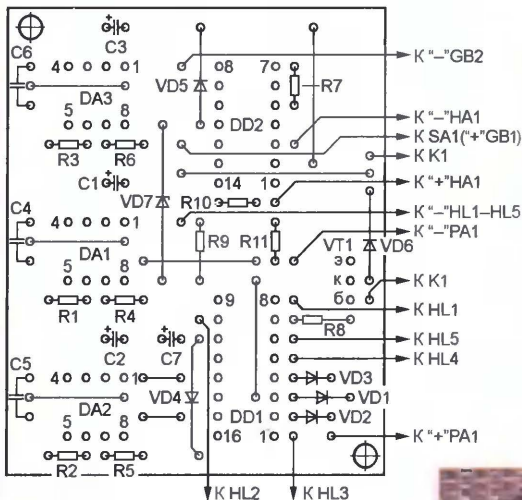
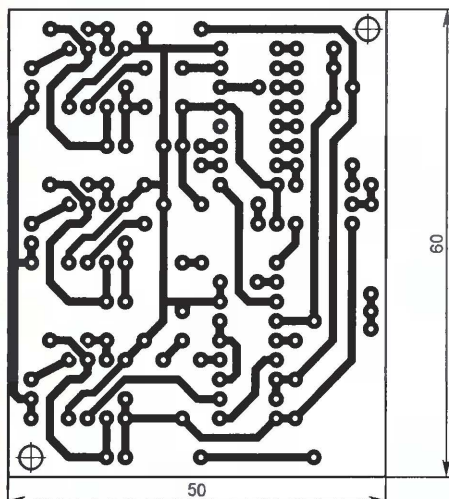


Рис. 2

пользовал аналогичное устройство от компьютера "Роботрон").

Как упоминалось, фигурка мышонка-стрелка приводится в движение (дергается в момент выстрела) механизмом электромагнитного реле K1. Автор использовал РЭС9 с паспортом PC4.524.201 (по-новому — исполнение PC4.529.029-01). Подойдут также реле этого типа с паспортами PC4.524.200 (PC4.529.029-00), PC4.524.209 (PC4.529.029-07), PC4.524.213 (PC4.529.029-09). Доработку для использования в игрушке выполняют в такой последовательности. Вначале аккуратно небольшими пассатижами или бокорезами развальцовывают и удаляют алюминиевый корпус. Затем вывинчивают винт крепления к магнитной системе пластмассовой колодки с подвижными контактами и удаляют ее, откусив проволочные стойки, к которым припаяны их выводы. Откусывают и шесть выводов контактов реле с противоположной стороны пластмассового основания (оставляют только выводы обмотки).

Держатель фигурки мышонка изготавливают из мягкой стальной проволоки диаметром 0,8...1 мм. Концы за-

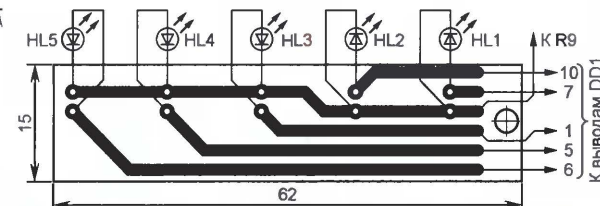


Рис. 3

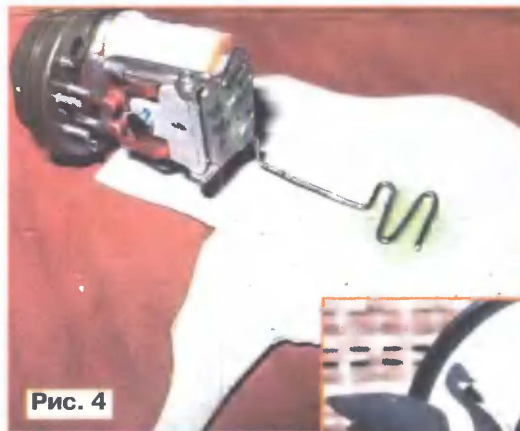


Рис. 4

готовки длиной 80...90 мм сгибают в виде змейки, оставшейся ровной части придают форму буквы "Г" и приклеивают клеем "Момент" короткую часть к якорю реле, а длинную — к фигурке мышонка высотой 50...80 мм, вырезанной из тонкого картона. В собранном виде этот

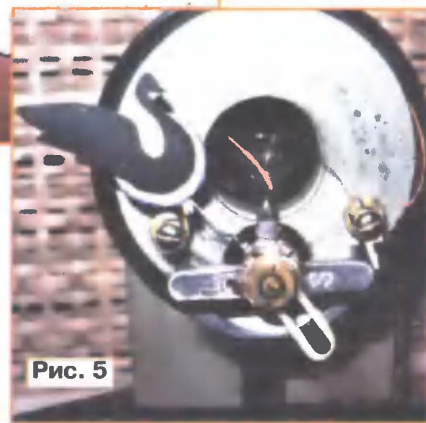


Рис. 5

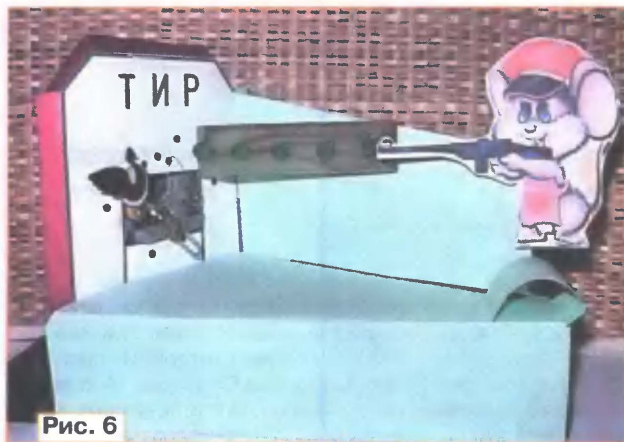


Рис. 6

узел показан на рис. 4. На основании игрушки его закрепляют гайкой, навинченной на резьбовую шпильку реле.

В качестве основы узла управления мишенью используют механизм миллиамперметра магнитоэлектрической системы с током полного отклонения стрелки 1...3 мА. Часть его корпуса с защитным стеклом и шкалу удаляют, а к стрелке приклеивают бумажную фигурку мишени (рис. 5). Для того чтобы стрелка не отклонялась более чем на половину рабочего угла, используют ограничитель, изготовленный из отрезка

тонкой проволоки. Один его конец сгибают в виде колечка и фиксируют правым винтом крепления шкалы, а другой изгибают таким образом, чтобы стрелка прибора упиралась в него при отклонении примерно на половину рабочего угла. Для установки на основании игрушки используют два уголка из листового алюминия толщиной 1...1,5 мм, закреплен-

ных с помощью гаек на шпильках-выводах прибора.

Готовые узлы устанавливают на общем основании (шасси) коробчатой формы, изготовленном из листовой пластмассы (полистирол, органическое стекло, стеклотекстолит). Основную печатную плату и батареи питания закрепляют в подвале шасси. Для при-

дания конструкции законченного вида используют бумажные декорации (рис. 6), а для лучшей сохранности помещают в корпус, склеенный из прозрачного органического стекла.

Собранное из исправных деталей и без ошибок в монтаже устройство начинает работать сразу после включения питания. Единственное, что может понадобиться, — это подбор конденсаторов C1—C3 для установки желаемого развития сюжета.

РАДИО

тел. 607-68-89
E-mail: mail@radio.ru

При содействии Союза радиолубителей России

о связи

РАДИО

ЖУРНАЛ В ЖУРНАЛЕ

R150ASP в эфире с острова Гогланд

В рамках празднования 150-летия со дня рождения Александра Степановича Попова коллектив любительской радиостанции Главного радиочастотного центра России RF3C совместно с Союзом радиолубителей России провел радиоэкспедицию на остров

Гогланд в Финском заливе. Организаторы этой экспедиции считали, что в дни, когда отмечается 150-летие, будет очень символично выйти в эфир с острова, на котором 109 лет назад находилась одна из радиостанций первой в мире практической радиолинии (между

островами Гогланд и Кутсало). В состав команды вошли Роман Томас (RZ3AA), Леонид Михалевский (RL3BW), Сергей Артемов (RA3DOX), Роман Галуц (RL3DW) и Дмитрий Косарев (UA3IND).

Из антенного хозяйства радиоэкспедиция использовала SteppIR (модификация с диапазоном 3,5 МГц), RR-33 ("Робинзон"), полуволновые диполи на 3,5 МГц и 7 МГц W-735 и антенну на 144 МГц F-23. Резервное питание обеспечивал бензоагрегат на 4 кВт. Аппаратура — ICOM 756 PRO III, ICOM 746 PRO и ICOM 7000, а также портативные радиостанции на 144 МГц.

Одним из самых напряженных и ответственных дней был 16 марта — день празднования юбилея А. С. Попова. В этот день в нашей стране и за рубежом отмечали это событие. По всей стране из мест, связанных с именем Попова, звучали специальные позывные. Огромная армия радиолубителей со всего мира стремилась связаться в этот день с юбилейными станциями. Для экспедиции также было очень важно провести максимальное количество связей в этот день.

17 марта состоялся поход на сопку им. А. С. Попова к месту, где 109 лет назад находился передатчик первой практической радиолинии. Целью похода



Одно из рабочих мест радиоэкспедиции.



Мачта с УКВ антенной и флагами России и СРР готова к подъему.



Теперь на сопке А. С. Попова есть мемориальная доска ГРЧЦ и СРР.

да было установить памятную доску в честь 150-летия со дня рождения А. С. Попова. До сопки от места расположения радиостанции R150ASP примерно 8 км, из которых примерно 4 км удалось преодолеть на дизельном "Урале". Остальная часть маршрута прошла в гору по снежной целине глубиной по колено...

На вершине сопки находятся установленные в 1968 г. коллективами Каунасского, Рижского, Таллинского, Вильнюсского и Минского радиозаво-

дов в честь А. С. Попова стела и куб из нержавеющей стали. На нем и закрепили памятную доску экспедиции.

Поддержку в подготовке и проведении этого мероприятия оказали руководитель Федеральной службы по надзору в сфере связи, информационных технологий и массовых коммуникаций Ситников С. К., директор Главного радиочастотного центра Наследников В. А., Генеральный директор радиочастотного центра Северо-Западного феде-

рального округа Чертков К. А. и его первый заместитель Абакунчик А. П., Макаров В. М.

Участники экспедиции получили большое удовлетворение от того, что им удалось донести до радиолюбителей всего мира весть об этой дате в истории человечества. Причем не только о юбилее великого русского ученого А. С. Попова, но и об организации им первой практической радиопрограммы для спасения корабля и людей.



НА ЛЮБИТЕЛЬСКИХ ДИАПАЗОНАХ

Дипломы, посвященные

А. С. Попову

Юбилейный диплом "АЛЕКСАНДР СТЕПАНОВИЧ ПОПОВ 150 ЛЕТ" учрежден ФГУП "Главный Радиочастотный Центр". Его выдают всем лицензированным радиолюбителям за радиосвязи (наблюдения), проведенные с любительскими радиостанциями России, расположенными в местах, где жил и работал А. С. Попов: Санкт-Петербург, Кронштадт, Екатеринбург, Красноуральск (Свердловская обл.), Пермь, Удомля (Тверская обл.), с радиостанциями, использующими специальные позывные в честь 150-летия А. С. Попова, а также с любительскими радиостанциями Минкомсвязи и Главного радиочастотного центра.



Необходимые условия — QSO не менее чем с двумя юбилейными радиостанциями и одной из следующих радиостанций: R3AWA R7M — станции Минкомсвязи РФ, RF3C — станция Главного радиочастотного центра, RF3T — станция радиочастотного центра Приволжского Федерального округа, R1ASP — станция минно-офицерского класса г. Кронштадт.

Всего необходимо набрать 150 очков. Радиосвязи с юбилейными любительскими радиостанциями, работавшими в связи с 150-летием А. С. Попова (R150AP, R150ASP, R150DMP, R150IP, R150RP, R150P, UE9CAP, UE9CRP), дают по 30 очков. QSO с любительскими радиостанциями R3AWA R7M, RF3C, RF3T, R1ASP — по 20 очков, QSO с любительскими радиостанциями из городов, указанных выше, — по 2 очка.

На диплом засчитываются радиосвязи, проведенные в период с 1 марта 2009 года по 1 марта 2010 года. В зачет идут радиосвязи, установленные любым видом модуляции (в том числе и цифровыми видами). Повторные радиосвязи не засчитываются. Наблюдателям диплом выдается на аналогичных условиях.

Стоимость диплома для радиолюбителей России — 75 рублей. Ветеранам ВОВ, а также детским и юношеским коллективным радиостанциям диплом выдается бесплатно. Для зарубежных радиолюбителей стоимость диплома — 3 IRC. Заявка на диплом составляется в виде выписки из аппаратного журнала. Принимаются заявки по почте и по e-mail. Менеджер диплома — Артемов Сергей (RA3DOX). Адрес для отправки заявки по e-mail: <rf3c@rambler.ru>. Почтовый адрес для заявки и перевода: 142160, Московская обл., Подольский район, Вороново, аб. ящ. 33, Артемову Сергею Петровичу.

Диплом "150 лет Александру Степановичу Попову" учрежден РО СРР по Свердловской области. Он выдается всем лицензированным радиолюбителям за радиосвязи (наблюдения), проведенные с любительскими радиостанциями России, расположенными в местах, где жил и работал А. С. Попов: Красноуральск (Свердловская область), Долматово (Курганская область), Екатеринбург, Пермь, Санкт-Петербург, Удомля (Тверская область), Нижний Новгород. Эти радиосвязи дают по 2 очка. QSO с радиостанциями, использующими специальные позывные в связи с 150-летием А. С. Попова, дают по 30 очков. Необходимым условием являются QSO не менее чем с двумя юбилейными станциями и одной, работающей из Свердловской области: R150DMP, UE9DRP, UE9CAP, UE9CRP. Всего необходимо набрать 150 очков.

На диплом засчитываются радиосвязи, проведенные с 1 января по 31 декабря 2009 года. Вид модуляции любой, все диапазоны. Повторные связи (наблюдения) не засчитываются.

Стоимость диплома для радиолюбителей России — 80 рублей, ветеранам ВОВ и детско-юношеским коллективным радиостанциям диплом выдается бесплатно. Для зарубежных радиолюбителей стоимость диплома — 3 IRC.

Заявка — выписка из аппаратного журнала. Менеджер диплома Сумин Владимир (RV9CQ). Адрес для высылки заявок и оплаты диплома: 620062, Россия, Екатеринбург-62, аб. ящ. 111. Контактный e-mail: <RV9CQ@mail.ru>.

Вымпел "Изобретатель Радио А. С. Попов. 150 лет со Дня Рождения" учрежден РО СРР по Пермскому краю и Пермским филиалом ФГУП "РЧЦ ПФО". Его выдают за радиосвязи (SWL) на любых любительских диапазонах всем радиолюбителям мира. Для этого соискателю необходимо набрать 150 очков.

При выполнении условий вымпела на KB соискателям из России и других стран СНГ QSO с мемориальными станциями, работа которых посвящена памяти А. С. Попова, дают 20 очков; с радиолюбителями регионов, связанных с деятельностью А. С. Попова (R1A R1C, R3I, R3T, R6A R9C, R9F, R9G, R9Q, R0A OH5, UU (г. Севастополь), W (г. Чикаго) — 5 очков; с остальными российскими радиостанциями — 1 очко. Обязательными являются три QSO с мемориальными радиостанциями или с 7 регионами, связанными с деятельностью А. С. Попова. Для остальных соискателей очки удваиваются, а обязательной является одна QSO с мемориальной радиостанцией или QSO с двумя регионами, связанными с деятельностью А. С. Попова. Повторные связи не засчитываются.

При выполнении условий вымпела на УКВ необходимо набрать не менее 1500 км суммарной дальности связей. В заявке указывается QTH-локатор соискателя и QTH-локаторы корреспондентов. На УКВ повторные связи засчитываются на разных диапазонах.

Связи на вымпел засчитываются с 1 марта 2009 года по 31 декабря 2009 года. Заявка составляется в виде выписки из аппаратного журнала и заверяется двумя радиолюбителями. Для радиолюбителей России вымпел бесплатный и высылается письмом на адрес соискателя. Иностранцам соискателям необходимо компенсировать почтовые расходы в размере 4 IRC или 2\$ (можно в их рублевом эквиваленте по курсу на день отправки заявки).

Заявки и оплата высылается на адрес: 614056, г. Пермь, аб. ящ. 172, Носкову Сергею Борисовичу. Они могут быть поданы в электронном виде на e-mail: <R9f-award(at)mail.ru>. При получении заявки на e-mail, соискателю в течение трех дней будет выслано подтверждение. Заявки на вымпел принимаются до 1 марта 2010 года.

(Окончание см. на с. 57)

Измерение коэффициента укорочения и волнового сопротивления кабеля

Николай ТИХОНОВ, пос. Агроном Динского р-на Краснодарского края

При изготовлении симметрирующих и согласующих устройств, высокочастотных фильтров и так называемых настроенных линий передачи из высокочастотных коаксиальных кабелей необходимо знать коэффициент укорочения кабеля K . Даже если известна марка кабеля, не всегда можно найти значение этого коэффициента в справочной литературе. В статье И. Никельберга "Расчет укорочения коаксиальных кабелей" ("Радио", 1964, № 7, с. 31, 32) приводится методика определения коэффициента укорочения. Но для того, чтобы воспользоваться этой методикой, необходимо взять из справочника, рассчитать или измерить погонную емкость кабеля и его волновое сопротивление, что бывает не всегда возможным. Иногда радиолюбители применяют кабели, у которых изоляция выполнена в виде трубок из разных диэлектриков, или кабели, у которых вокруг центральной жилы навиты изолирующие ленты. Проще и, главное, надежнее этот коэффициент измерить. Для этого потребуются два самых распространенных измерительных прибора — высокочастотный генератор и ламповый вольтметр. Генератор может быть любого типа с частотой выходного напряжения до 30 и более мегагерц, например, генератор стандартных сигналов Г4-18А, Г4-102 или Г4-116. В качестве вольтметра можно использовать любой милли- или вольтметр на соответствующий частотный диапазон, имеющий высокоомный входной ВЧ пробник, например, ВК7-9, В7-36, ВУ-15 или ВЗ-48. Для проведения измерений

нужно измерить длину волны, соответствующей частоте генератора. Измерив частоту, при которой в кабеле укладывается целое число полуволн, можно определить длину волны в кабеле. И эта длина будет в K раз короче, чем в свободном пространстве. Отношение длины волны в свободном пространстве к длине волны в кабеле и есть коэффициент укорочения K .

Вольтметр покажет максимальное напряжение, именно когда на всей длине разомкнутого кабеля уложится целое число полуволн, т. е. когда отношение

$$\ell / (\lambda_K / 2),$$

где ℓ — длина кабеля; λ_K — длина волны в кабеле будет целым числом.

Так как $\lambda_K = T v_K = c / (fK)$, где T — период колебания; v — фазовая скорость; c — скорость света, то можно окончательно записать

$$\frac{\ell}{(\lambda_K / 2)} = \frac{2\ell K f}{c} = m, \quad (1)$$

где m — целое число; f — частота генератора.

Измерив две соседние частоты f_1 и f_2 , на которых вольтметр показал наибольшее значение, можно вычислить коэффициент укорочения:

$$K = \frac{c}{2\ell(f_2 - f_1)}. \quad (2)$$

Для повышения точности измерения следует последовательно определить несколько частот, на которых показания вольтметра достигают максимума. Тогда окончательно формула

$$K = \frac{(n-1)c}{2\ell(f_n - f_1)}, \quad (3)$$

где n — число значений частоты, на которых последовательно получены максимальные показания вольтметра.

Из формулы (3) следует, что чем больше длина кабеля ℓ , тем ближе по

частоте друг к другу будут расположены максимумы напряжения и, следовательно, с большей точностью можно измерить коэффициент укорочения.

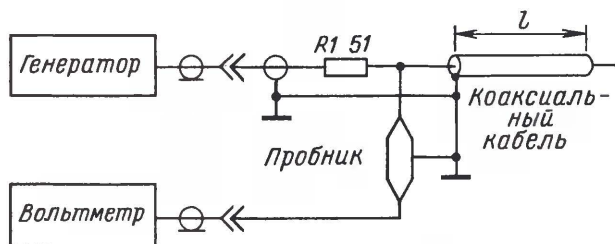
Измерения проводятся следующим образом. Увеличивая частоту генератора, отмечают те значения частоты, на которых вольтметр показал максимумы напряжения. Частоту лучше измерять частотомером. Для расчета можно использовать и последовательные значения частоты, на которых вольтметр показал наименьшее напряжение. Разницы никакой нет.

Например, при длине кабеля 12 м наибольшие значения напряжений получены на частотах 8,87; 17,44; 25,70; 34,14; 42,30 и 50,43 МГц. Всего — шесть частот, т. е. $n = 6$. Тогда

$$K = \frac{(n-1)c}{2\ell(f_n - f_1)} = \frac{5 \cdot 3 \cdot 10^8}{2 \cdot 12 \cdot (50,43 - 8,87) \cdot 10^6} = 1,503849 \approx 1,5. \quad (4)$$

Для измерения волнового сопротивления кабеля используется та же схема, но на противоположном генератору конце кабеля между его оплеткой и внутренним проводником следует включить подстроечный резистор номиналом 330 Ом. Желательно применить резистор СПЗ-19, максимально укоротив его выводы. Измерение основано на том, что при сопротивлении нагрузки кабеля, равном его волновому сопротивлению, в кабеле образуется бегущая волна. В этом случае пучностей и узлов напряжения по длине кабеля нет, и при изменении частоты генератора вольтметр показывает почти одно и то же напряжение.

Измерения проводятся следующим образом. Движок резистора устанавливают в положение, при котором сопротивление равно нулю. Изменяя частоту генератора, измеряют напряжение в рядом расположенных максимуме и минимуме. Частоту генератора оставляют соответствующей или максимуму или минимуму, и, изменяя сопротивление резистора на конце кабеля, устанавливают показания вольтметра равным среднему арифметическому между показаниями в максимуме и минимуме. Найденное таким образом сопротивление переменного резистора будет равно волновому сопротивлению кабеля. В этом случае при перестройке частоты генератора показания вольтметра не должны изменяться. Для проведения таких измерений вместо генератора и вольтметра удобнее применить измеритель амплитудно-частотных характеристик (АЧХ). И, изменяя сопротивление резистора на конце кабеля, необходимо на экране измерителя АЧХ получить, насколько это возможно, прямую линию. Волновое сопротивление кабеля будет равно сопротивлению переменного резистора.



необходимо собрать схему, приведенную на рисунке, а также измерить длину кабеля.

Измерения основаны на том, что при подключении кабеля к генератору в нем, в случае если его противоположный конец или замкнут накоротко или разомкнут, будут образовываться стоячие волны, пучности напряжения которых отстоят друг от друга на поло-

для расчета примет вид

Простой SDR-трансивер диапазона 3,5 МГц

Программное обеспечение

Очень важная часть SDR-трансивера — его программное обеспечение. Функцию обработки принятых сигналов может выполнять ряд программ: Rocky [2], SDRadio [3], Winrad [3], PowerSDR [4], M0KKG Tranceiver [5]. Важна также производительность примененного компьютера. Тактовая частота его процессора должна быть не менее 1 ГГц, а объем ОЗУ — не менее 512 Мбайт. Автор проверил все упомянутые программы, наиболее по вкусу пришлась Winrad (единственная, успешно работающая под Windows 98), особенно ее графический интерфейс. Недостатки этой программы — совместимость только с 16-разрядными аудиокартами (в компьютере автора была установлена 24-разрядная SB Audigy2) и работа только в режиме приема.

Практически все программы дают возможность устанавливать очень узкую полосу пропускания (до нескольких десятков герц), для чего в обычном приемнике потребовался бы сложный кварцевый фильтр, имеют четко работающую систему АРУ, способны принимать сигналы не только CW и SSB, но и AM и ЧМ. Наилучшим качеством звучания и большим числом сервисных функций отличается программа PowerSDR.

Выбор программ, которые могут работать и в режиме передачи, довольно ограничен. Это — M0KKG Tranceiver (наиболее удобное подключение к компьютеру, но и, к сожалению, самый "шумный" приемник), PowerSDR (нужно только найти в Интернете ее версию, работающую с устройствами типа SoftRock. Самая распространенная версия этой опции не имеет. Можно, однако, самому перекомпилировать программу, ее исходный текст доступен). Последняя из обсуждаемых программ — Rocky — дает возможность работать только CW, хотя в будущих версиях обещают ввести и SSB.

Первое, чем пришлось заняться, — поиском драйверов аудиокарты, обеспечивающих 24-разрядную обработку звука при частоте квантования 96 кГц. Оригинальные драйверы Windows XP этого не позволяют.

Второй проблемой стал избыток музыкальных устройств, подключенных к компьютеру по шине USB: телефон VoIP и громкоговорители. Пришлось, открыв на панели управления пункт "Звуки и аудиоустройства", указать в качестве устройств записи и воспроизведения звука аудиокарту SB Live 24-bit и включить линейный вход аудиокарты (по умолчанию был включен микрофонный вход). Мне пришлось сначала вклю-

чить вход S/Pdif, а далее переключиться на линейный.

Чтобы работать с программой M0KKG, необходим драйвер ASIO4ALL, одновременно обслуживающий несколько аудиокарт, причем многое зависит от его версии. Это позволяет использовать для передачи и приема отдельные аудиокарты. Нужная конфигурация программы показана на скриншотах **рис. 6** и **рис. 7**.

Для перехода на передачу я пользовался функцией MOX (клавишей F9) — это клавиатурная имитация обычного голосового VOX. Сигнал переключения трансивера формируется на контакте 4 девятиконтактного разъема RS232 (контакт 5 — общий).

В зависимости от числа и типа имеющихся аудиокарт SDR трансивер можно подключить к компьютеру тремя способами:

1. Аудиокарту Audigy без отдельного микрофонного входа подключают, как показано на **рис. 8** (отсутствующие на схеме номиналы элементов не приведены в оригинале — прим. ред.). Преимущество этого решения — наименьшее число аудиокабелей (всего два стереофонических), недостаток — необходимость иметь реле с четырьмя группами контактов на переключение.

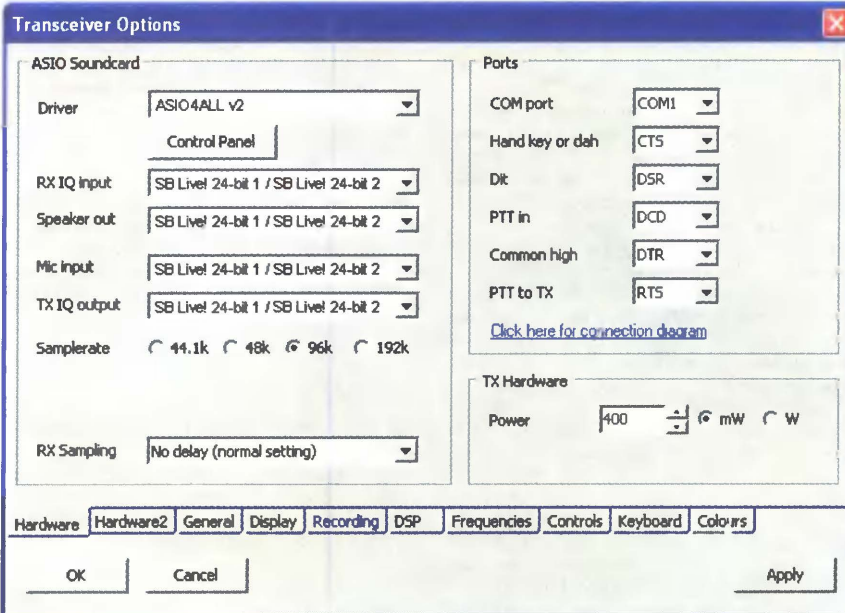


Рис. 6

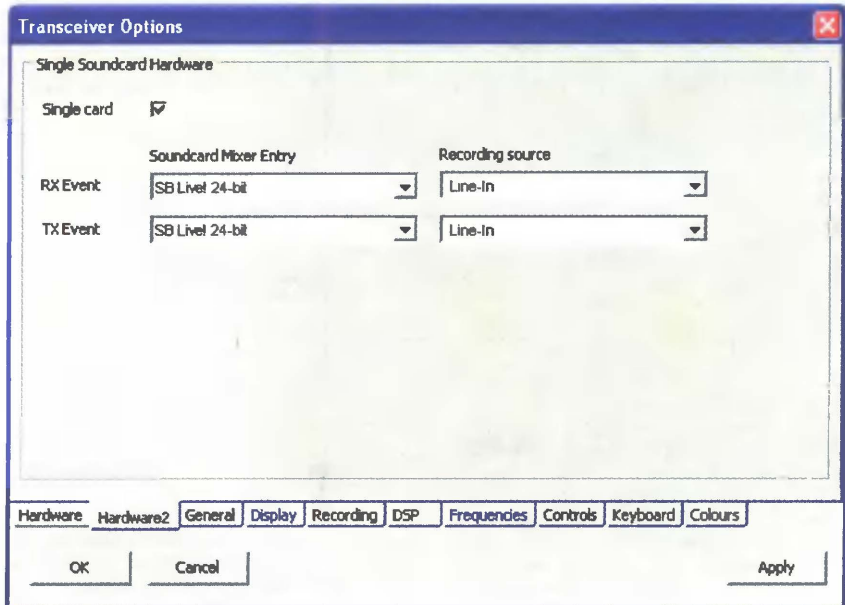


Рис. 7

Окончание.

Начало см. в "Радио", 2009, № 4

На схеме контакты показаны в положении "Прием".

2. Отличается от первого способа лишь тем, что аудиокарта имеет независимый микрофонный вход. Непосредственно к нему и подключают микрофон, что уменьшает до двух необходимое число групп контактов реле.

3. Имеются две аудиокарты, к примеру, интегрированная в материнскую плату (16 разрядов, 48 кГц) плюс установленная в слот PCI более совершенная, например, Audigy. В этом случае потребуются четыре стереокабеля, однако отпадает необходимость в реле. В качестве приемной следует использовать аудиокарту лучшего качества. К передающей высокие требования не предъявляются.

Внешние разъемы аудиокарт имеют цветовую маркировку. Синее гнездо — обычно совмещенные линейный и мик-

ССБ) и избирательность приемника по зеркальному каналу зависят от баланса фаз и амплитуд в квадратурных каналах. Достигается он путем соответствующей настройки программы. Большинство программ имеют режим автоматической балансировки, его рекомендуется использовать. Результат балансировки в режиме приема можно оценить, сравнивая уровни сигналов, расположенных на оси частот на равных расстояниях от частоты гетеродина, но по разные стороны от нее.

Для первых опытов приема я рекомендую программу Rocky, ее преимущество — небольшое число параметров программы, которые необходимы для того, чтобы программа начала действовать. Прежде всего в окнах View и Settings необходимо задать источники сигналов (аудиокарты, имеющиеся в

закону $1/f$. Ее невозможно устранить, можно лишь замаскировать, используя сверхмалошумящие усилители, например, AD797. В профессиональных устройствах цифровой обработки сигналов для борьбы с фликер-шумом часто применяют сдвиг спектра сигналов на несколько килогерц. Например, для популярного усилителя NE5532 характерна спектральная плотность входного шумового тока $4 \text{ пА/Гц}^{1/2}$ на частоте 10 Гц, а на частоте 1 кГц она падает до $0,4 \text{ пА/Гц}^{1/2}$. Учтите, что шумовые параметры усилителей с одинаковыми названиями, но разных производителей, могут заметно различаться. Обращайте внимание и на буквенный индекс микросхемы.

Хотя первые опыты приема можно произвести с обычной встроенной в материнскую плату компьютера аудиокарты (16 разрядов, 48 кГц), для повседневной работы, а тем более для участия в соревнованиях, нужна более совершенная, например, Audigy (24 разряда, 96 кГц). Наилучшая из повсеместно доступных аудиокарт для SDR — Delta44. Однако ее цена, по моему мнению, слишком высока и не окупается получаемыми преимуществами.

Один из первых вариантов схемы и печатной платы рассмотренного трансивера можно найти на интернет-странице его автора [6].

ЛИТЕРАТУРА

2. Shovkoplyas A. Rocky 3.6 SDR software for the SoftRock radio. — www.dxatlas.com/Rocky.
3. The Weaksignals pages of Alberto, I2PHD. — <http://digilander.libero.it/i2phd>.
4. FlexRadio PowerSDR™ 1.x Features and Capabilities. — <http://www.flex-radio.com/Products.aspx?topic=powersdr1x>.
5. Munro D. MOKGK SDR Decoder Software "KGKSDR". — <http://www.m0kgk.co.uk/sdr/index.php>.
6. Orodziński R. Strona domowa SQ4AVS. — <http://sq4avs.googlepages.com>.

Материал подготовил
А. ДОЛГИЙ

г. Москва

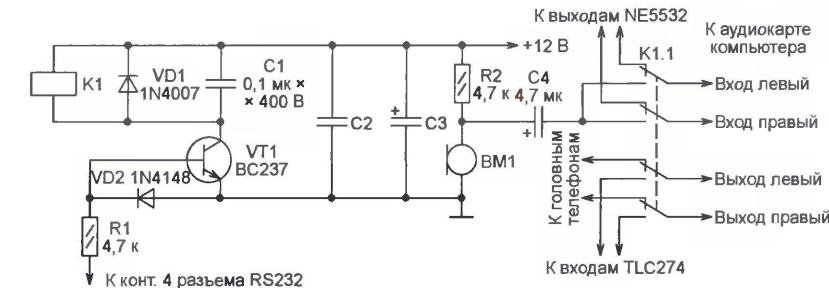


Рис. 8

рофонный входы (какой из них включен, определяется настройкой драйвера). Если эти входы раздельные, то синее гнездо — линейный вход, а розовое — микрофонный. Гнездо линейного выхода зеленого цвета.

Для правильного выбора канала приема (выше или ниже частоты гетеродина) можно воспользоваться программной опцией Swar I/Q или поменять местами левый и правый стереоканалы аудиокарты. Правильность подключения проще всего проверить, наблюдая на экране программного анализатора спектра отклик испытательного ВЧ сигнала известной частоты.

Уровень подавления нежелательной боковой полосы (в режиме передачи

компьютере). Очень важно правильно установить смещение входных сигналов на определенное число уровней квантования. Этим добиваются максимального подавления зеркального канала. Мне, например, пришлось установить параметр "Shift right channel data" равным -1.

При работе с любой программой на экране спектроанализатора можно наблюдать некоторый подъем уровня шума ровно на частоте гетеродина. Он особенно заметен, пока на аудиокарту еще не поданы сигналы приемника. Вина в этом одна из составляющих собственного шума устройства, так называемый фликер-шум, спектральная плотность которого изменяется по

НА ЛЮБИТЕЛЬСКИХ ДИАПАЗОНАХ

Окончание.
Начало см. на с. 54

Дипломы

"Северный конвой PQ". Этот диплом посвящен подвигу моряков и летчиков, сопровождавших корабли с военными грузами стран — союзников СССР в годы Великой Отечественной войны. Чтобы получить его, необходимо набрать 65 очков. Любительские радиостанции США, Канады и Австралии дают по 15 очков за каждую



связь; Великобритании и Исландии — по 10 очков; радиостанции ветеранов Великой Отечественной войны, а

также радиолюбителей Мурманской и Архангельской областей (Россия) — по 5 очков. Обязательными для получения диплома являются связи с Великобританией, США, Мурманской и Архангельской областями (Россия). Ветеранам Великой Отечественной войны достаточно набрать 30 очков.

В зачет идут QSO с 1 августа 2006 г. по 31 мая 2010 г. Повторные связи засчитываются только на разных диапазонах или другим видом излучения.

Стоимость диплома для российских радиолюбителей и для радиолюбителей ближнего зарубежья — 100 руб., для радиолюбителей дальнего зарубежья — 5 USD. Заявки на диплом и оплату надо направлять по адресу: Смирнов С. В., аб. ящ. 28, Москва, 109469.

О настройке многодиапазонной комбинированной антенны

Аркадий ПРОСКУРЯКОВ (UA3URB), г. Ивано

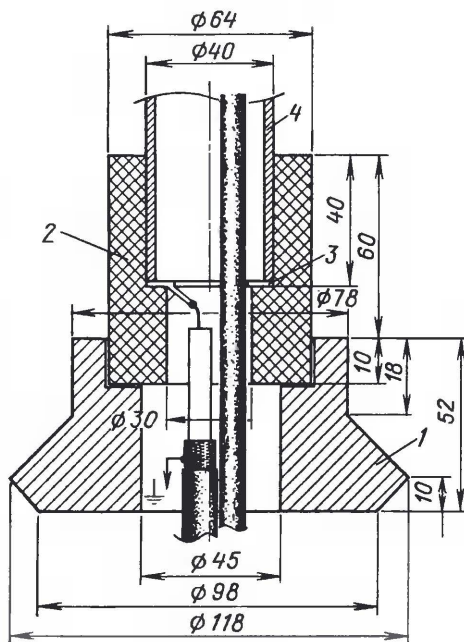
После публикации в журнале описания антенны [1] в редакцию стали поступать письма с вопросами, касающимися настройки ее отдельных узлов и взаимного влияния элементов при одновременной работе на разных диапазонах.

Прежде поясню, почему статья заканчивалась словами: "Простояла антенна более трех лет и в настоящее время демонтирована для укрепления некоторых ее элементов". Так вот, случившийся однажды сильный шквал ветра согнул антенну под углом 90° как раз в том месте, где расположено согласующее J-колесо (узел В на рис. 2). Это произошло из-за образовавшегося большого провиса одной из капроновых оттяжек верхнего яруса, а также из-за того, что примененная двадцатимиллиметровая труба была не из дюралюминия Д16Т, а из неизвестного алюминиевого сплава (элемент подвески старой оконной гардины), который оказался непрочным. За неимением другой пришлось выпрямить погнутую трубу, и для ее усиления надеть на нее пластмассовую водопроводную трубу с подходящим внутренним диаметром. Одновременно было увеличено на 250 мм расстояние между узлами А и В (определяется выдвигаемой из узла А трубой диаметром 20 мм), как того требовали результаты измерений, приведенные в тексте и отраженные на рис. 9 в [1]. На этот элемент конструкции также для прочности была надета пластмассовая водопроводная труба. Все эти моменты следует учесть при повторении антенны.

Отремонтированная антенна была водружена на свое место при помощи ивановских радиолюбителей UA3UTL и UA3UCS, за что им выражаю огромную благодарность.

Для настройки фильтра-пробки на отсекаемую часть антенны (ниже фильтра) наматывают катушку связи. Ее обмотка, намотанная виток к витку, содержит 15...20 витков монтажного провода сечением 0,3...0,5 мм² в ПВХ изоляции. Катушку наматывают так, чтобы была возможность перемещать ее по трубе. Витки скрепляют изолентой, препятствующей их расползанию. Катушку соединяют со стрелочным измерительным прибором (автор использовал мультиметр Ц4342-М1) через германиевый диод, например, ДЗ11А, фильтрующий конденсатор емкостью 0,01...0,1 мкФ подключают параллельно клеммам прибора. В антенну от трансивера подают сигнал частотой 145 МГц и мощностью 20 Вт. Положение катушки связи определяют по максимуму отклонения стрелки прибора, что соответствует пучности тока. Первоначально выбирают такой предел измерения тока, чтобы прибор не зашкаливал. По мере подстройки

фильтра-пробки регулировкой зазора между пластинами его конденсатора (подгибая их) прибор переключают на более чувствительный предел измерения. Поскольку диод ДЗ11А начинает открываться уже при напряжении около 0,1...0,15 В, то по мере настройки контура в резонанс и уменьшению тока в отсекаемой части катушку связи следует перемещать ближе к пучности тока или увеличивать мощность передатчика, если есть такая возможность. Минимальное значение тока, зафиксированное прибором, соответствует настройке фильтра в резонанс. Вместо варианта конденсатора, предложенного в статье, можно применить обычный подстроеч-



ный с воздушным диэлектриком емкостью 4...15 пФ и с зазором между пластинами 0,5...1 мм. При мощности передатчика 20...40 Вт такого зазора вполне достаточно, но лучше, чтобы он был больше, на случай сырой погоды. После настройки фильтра с помощью переменного конденсатора, а такой способ автором был опробован, его измеренная емкость составила 6...7 пФ. В разделе "Геометрия—нагрузки" программы MMANA была заложена емкость 5 пФ, при индуктивности — 0,241 мкГн для частоты 145 МГц.

Фильтр-пробка с проходящим внутри него коаксиальным кабелем ведет себя аналогично катушке с подстроечником из немагнитного металла — меди, латуни, алюминия. По описанию в учебниках по радиотехнике и справочниках такие

катушки характеризуются высокой стабильностью и применяются в контурах гетеродинов, широкополосных УПЧ в диапазонах коротких и ультракоротких волн. При введении подстроечника из немагнитного металла индуктивность и добротность катушки уменьшаются. При расчете в программе MMANA влияние медного кабеля на резонансную частоту фильтра-пробки не учтено. Оно компенсируется несколько большей емкостью конденсатора при настройке (в нашем случае 6...7 пФ, получено экспериментально, против 5 пФ по программе MMANA). Подавление ВЧ тока на частоте 145 МГц при точной настройке контура составило 25...30 раз.

Каждая антенна питается по своему кабелю. Тот, что пропущен внутри тела антенны (см. рисунок), подключен к согласующему J-колесу коаксиальной антенны и работает на частотах 144...146 МГц. Кабель, подключенный к основанию антенны, работает в диапазоне 3,5...29 МГц. К сожалению, на рис. 3 основной статьи это не было показано. Оба фидера равнозначны и могут работать одновременно во всех комбинациях, не оказывая заметного взаимного влияния. Каждый кабель подключен к своему аппарату. Коротковолновый — к трансиверу на базе радиоприемника Р-326М (имеющему узкополосный перестраиваемый преселектор для дополнительной селекции, задействован также П-контур усилителя мощности), а УКВ кабель — к ультракоротковолновому трансиверу "Виола", у которого на входе приемника установлен половой фильтр на спиральных резонаторах. Измеренное с помощью вольтметра В7-26 наводимое на антенном гнезде УКВ трансивера эффективное напряжение от КВ передатчика мощностью 60 Вт не превышало 1...2,5 В на диапазонах 7—28 МГц соответственно. А наводимое напряжение на антенном входе КВ трансивера, измеренное на самом чувствительном пределе измерения прибора, зафиксировать не удалось из-за его слишком малого значения. Экспериментально проверено, что при работе ультракоротковолновой части антенны с трансивером мощностью 20 Вт и одновременном прослушивании наислабейших сигналов на КВ диапазонах с помощью модернизированного радиоприемника Р-326М [2], подключенного к коротковолновой части этой же антенны, влияния на прием абсолютно не наблюдалось.

Если же предстоит работать на эту антенну мощностью в несколько сотен ватт и более, то аппараты придется снабдить добротными полосовыми фильтрами или ввести соответствующую коммутацию антенными реле. В последнем случае одновременная работа на передачу на одном аппарате и прием сигналов из эфира на другом не получатся.

Хотя фидеры подключены к отдельным источникам сигналов, а их противоположные концы соединены с разными нагрузками, между ними имеется гальваническая связь через тело антенны.

Но по высокой частоте УКВ кабель для частот 3,5...29 МГц практически замкнут накоротко согласующим J-коленом, а КВ кабель огражден от наводки ВЧ энергии фильтром-пробкой. Остаточная ВЧ энергия, попадающая на вход КВ приемника, фильтруется его преселектором. А энергия КВ передатчика нейтрализуется практической короткозамкнутостью на частотах 3,5...29 МГц верхнего конца УКВ фидера и цепями селекции УКВ трансивера. Поэтому при работе мощностями до 100 Вт на коротких волнах и до 40...50 Вт на УКВ владельцы аппаратов могут быть за них спокойны, это проверено.

В заключение несколько слов о заземлении антенны и молниезащите. В моем варианте железная крыша дома заземлена в соответствии с рекомендациями в специальной литературе, например в [3]. Для снятия с тела антенны "статики" лепесток, к которому припаян центральный провод коротковолнового кабеля, следует соединить с заземленным алюминиевым основанием антенны через резистор сопротивлением 10 кОм и мощностью не менее 2 Вт. В этом случае при работе на передачу синусоидальной мощностью 100 Вт на антенну с волновым сопротивлением 75 Ом на резисторе номиналом 10 кОм будет рассеиваться мощность около 0,75 Вт. При работе большей мощностью она увеличится пропорционально.

ЛИТЕРАТУРА

1. Проскуряков А. Многодиапазонная комбинированная антенна. — Радио, 2008, № 7, с. 56—58.
2. Проскуряков А. Модернизация радиоприемника Р-326М. — Радио, 2008, № 2, с. 53—56.
3. "Справочник радиолюбителя-конструктора". — М.: Энергия, 1977.

Редактор — С. Некрасов, график — Ю. Андреев

Антенна 5/8λ диапазона 1296 МГц

Игорь НЕЧАЕВ (UA3WIA), г. Москва

При проведении радиосвязей и экспериментов в диапазоне 1296 МГц большое значение имеет антенна. Из-за малой длины волны в этом диапазоне размеры даже эффективных антенн будут небольшими. Ниже приводится описание антенны 5/8λ с J-согласованием. Ее основой является полужесткий коаксиальный кабель РК50-2-25, который выполняет одновременно роль кабеля снижения и излучающего элемента.

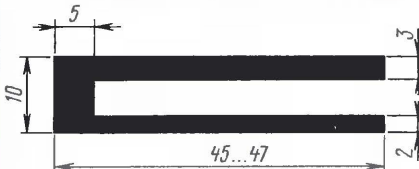


Рис. 1

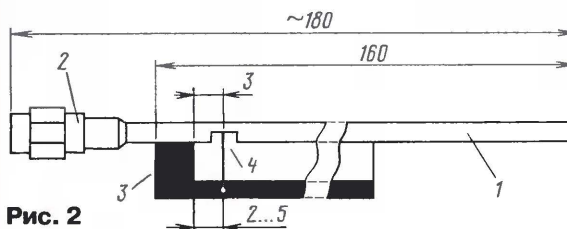


Рис. 2

Особенностью этого кабеля является то, что он не имеет внешней изоляции, а его внешний проводник представляет собой медную трубку диаметром около 3 мм.

Антенна содержит два основных узла — излучатель и согласующую четвертьволновую линию. Конструкция линии показана на рис. 1. Она выполнена из односторонне фольгированного стеклотекстолита толщиной 1,5 мм, из-за

этого ее длина меньше аналогичной линии с воздушным диэлектриком. Своей широкой полоской линия припаявается непосредственно к внешнему проводнику кабеля.

Конструкция антенны показана на рис. 2. На один из концов кабеля 1, длина которого должна быть не менее 200 мм, монтируют разъем 2 (автор использовал штекер SMA-7805). На расстоянии примерно 10 мм от разъема в кабеле надфилем выбирают паз глубиной до центрального проводника. В этом месте проводник разрезают и удаляют его верхнюю часть. Затем, как показано на рис. 2, припаивают к кабелю линию 3, а его центральный проводник соединяют отрезком провода 4 с узким проводником линии на расстоянии 2...5 мм от ее короткозамкнутого конца. Изменяя длину излучающего элемента, настраивают антенну на требуемую частоту. А изменяя точку подключения провода к линии, добиваются минимального значения КСВ.

В авторском варианте общая длина линии составила 46 мм, длина излучающего элемента (от начала линии) — 160 мм, а точка подключения центрального проводника к линии находилась на расстоянии 2 мм от закороченного конца. При этом КСВ на частоте 1296 МГц был 1,1. Диапазон рабочих частот антенны по уровню КСВ 1,5 составил 1275... 1311 МГц, а по уровню 2 — 1262... 1326 МГц.

Редактор — С. Некрасов, графика — Ю. Андреев

Доработка трансивера Dragon SY-550

Петр СЕРЕДА (RA6EAQ), г. Черкесск

При эксплуатации трансивера Dragon SY-550 в стационарных условиях примерно через 10...12 часов после выключения пита-

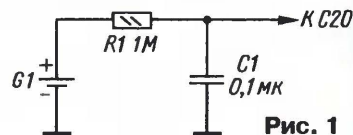


Рис. 1

ния стираются все установки и прочая информация, записанные в его памяти. Устранить этот недостаток можно, если внутри корпуса трансивера установить дополнительный источник питания — дисковый литиевый гальванический элемент с напряжением 3 В (такие используются в часах), подключив его через резистор 1 МОм к поло-

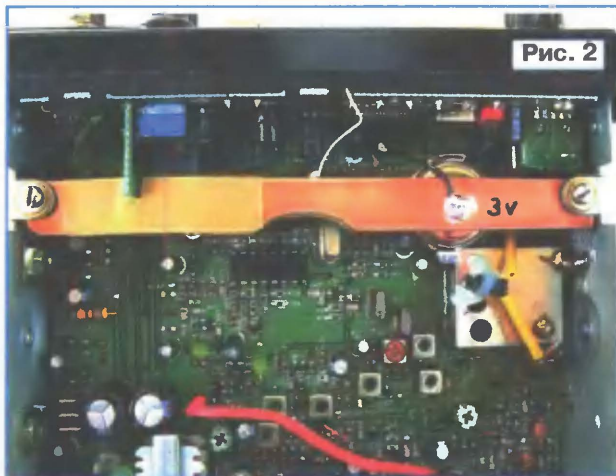


Рис. 2

жительному выводу оксидного конденсатора C20 (рис. 1), расположенному на плате процессора, т. е. к цепи питания процессора трансивера, отвечающую за сохранность информации, записанной в памяти. Элемент закреплен полоской из луженой жести на планке-кронштейне, изготовленной из двусторонне фольгированного стеклотекстолита. Это видно на фотографии — рис. 2. При включенном питании трансивера на конденсаторе C20 присутствует напряжение около +5 В, так что дополнительный источник не разряжается. Описанным способом два года назад были доработаны трансиверы на радиостанциях RA6ECT и RA6EAQ, и сбоев в их работе пока не наблюдалось. Замена элементов питания потребует только через несколько лет.

Редактор — С. Некрасов, графика — Ю. Андреев, фото — автора

Шаги в будущее: вам и не снилось...

Александр ГОЛЫШКО, канд. техн. наук, г. Москва

"Беркли утверждает, что Логика и Метафизика откроют математикам глаза и выведут их из всех затруднений... Но если склоки среди профессоров любой науки позорят саму науку, а Логика и Метафизика намного более склочны, нежели математика, то почему же, раз я наполовину слеп, я должен выбирать себе в проводники того, кто вообще ничего не видит?"

Преподобный Томас Байес "В защиту математиков..."

Пальцем в небо

Прогнозы в части развития "цифрового мира" имеют свою статистику "непопаданий". К примеру, Билл Гейтс уже дважды заслужил титул худшего предсказателя. Сразу две его фразы попали в десятку "самых дурацких" технических прогнозов всех времен, которую составил популярный журнал "T3 Magazine".

Про 640 килобайт памяти, которых всегда будет достаточно для домашнего компьютера (сегодня 2 Гб — обычная вещь), знают все, хотя сам Гейтс отрицает, что когда-либо говорил подобные вещи. Зато неоспорима другая его фраза: "Через два года проблема спама будет решена". Гейтс пообещал это на Всемирном экономическом форуме в Давосе в 2004 г.

Впрочем, на этой стезе обманирурил не один "технар-футуролог". В недавнем прошлом люди не понимали перспектив телевидения (киномангнат Дэррил Занук, 1946 г.) и рентгена (лорд Кельвин, глава Королевского научного общества Великобритании, 1883 г.), считали телефоны ненужным баловством из-за обилия курьеров (сэр Уильям Прис, главный инженер британского почтового ведомства, 1878 г.), но зато верили в появление пылесосов на ядерной тяге (основатель "пылесосной" компании Lewyt Corporation Алекс Левит, 1955 г.). В 1977 г. Кен Олсен, президент корпорации Digital Equipment, и вовсе утверждал, что компьютер в домашнем хозяйстве никогда и никому не понадобится.

Первое место в списке занял британский миллиардер сэр Алан Шугар, который в 2005 г. заявил: "К следующему Рождеству iPod умрет, ему конец, "капут". Но Apple уже продала свыше 175 млн iPod.

Пролистав собственную подшивку за прошлые годы, журналисты обнаружили, что не так давно сами предрекали полное исчезновение компьютерных клавиатур (их должны были сменить программы распознавания речи) и замену уличных телефонных будок на "мультимедийные киоски, оборудованные факсом".

Из остального футуристического наследия человечества можно привести следующее:

— В будущем компьютеры будут весить не более полутора тонн ("Popular Mechanics", 1949 г.) — конечно, автор думал о другом, но формально это не противоречит действительности.

— Думаю, что на мировом рынке мы найдем спрос для пяти компьютеров (Thomas Watson — директор IBM, 1943 г.)

— Но, что... может быть полезного в этой штуке? (вопрос на обсуждении создания микросхемы в Advanced Computing Systems Division of IBM, 1968 г.)

— Да, кого, к чертям, интересуют разговоры актеров? (один из Warner Brothers о звуке в кинематографе, 1927 г.)

— Эта музыкальная коробка без проводов не может иметь никакой коммерческой ценности. Кто будет оплачивать послания, не предназначенные для какой-то частной персоны? (партнеры ассоциации David Sarnoff по поводу инвестирования радио, 1920 г.)

— Все, что могло быть изобретено, уже изобрели (Charles H. Duell из американского Бюро Патентов, 1899 г.)

В общем, все идет не совсем так, как представляется отдельным "продвинутым" индивидуумам. Но не только они чего-то не учитывают...

Сказку сделать былью

Альберт Эйнштейн как-то сказал: "Если при первом рассмотрении идея не кажется абсурдной, толку из нее не будет". И этим вселил надежду в наиболее "расторженных" ученых, а позже даже доказал кое-что из абсурдного — и существование черных дыр, и гипотезу о замедлении времени по мере увеличения скорости.

Профессор Мичио Каку из City University of New York подверг тщательному анализу некоторые концепты научной фантастики и выразил уверенность в их реализации. К примеру, принцип работы "шапки-невидимки" и механизм телепатии человечество могут освоить уже в этом столетии [1].

"Очень часто какие-то явления объясняются невозможными, а проходит одно или несколько десятилетий — и выясняется, что они возможны", — объяснил ученый. Недавно в Великобритании вышла его новая книга "Физика невозможного", в которой выстроен рейтинг феноменов, в зависи-

мости от вероятности их воплощения в будущем.

К примеру, у фантастов телепортация давно утвердилась в качестве способа передвижения. Но физики уже выполняют удачные опыты по телепортации. В основе этого явления — крайне странный феномен, получивший название "квантовой связанности", с помощью которого ученым уже удалось "телепортировать" фотон на расстояние в 89 миль — из Ла Пальмы на Тенерифе (Канарские острова). Правда, позже выяснилось, что оригинал фотона просто уничтожается, а в месте назначения материализуется его близнец, обладающий тем же набором свойств, что и первый объект.

Упомянувшийся нами ранее известный физик-теоретик Стивен Хокинг десять лет назад признал, что законы физики возможность перемещения во времени не отрицают. "Теперь он говорит, что путешествие во времени теоретически возможно, но на практике неосуществимо", — пишет Каку. Принцип перемещения во времени мог бы основываться на путешествии через "червячные дыры", которые соединяют разные точки в пространстве и времени. Согласно законам физики, сильного гравитационного поля черной дыры достаточно для того, чтобы разорвать материю пространства-времени, что делает существование "червячных дыр" возможным. "Мы, физики, хотим создать собственную "червячную дыру", чтобы можно было, пройдя в зазеркалье, переместиться в прошлое", — говорит Каку. Для стабилизации черной дыры потребуется много энергии, но и это теоретически возможно.

Кстати, сегодня никто уже не решается однозначно отрицать невидимость а-ля "накидка Гарри Поттера". По оценкам Каку, эта технология может быть освоена одной из первых путем создания нового необычного композита, так называемого метаматериала, который не отбрасывает теней и не дает отражений.

Предсказание будущего трудно примирить с существующей физикой. "Если когда-нибудь удастся поставить и воспроизвести удачный эксперимент по предвидению, это приведет к потрясению самих основ современной физики", — утверждает профессор Каку и даже вывел "шкалу невозможностей".

Невозможное первого типа — это то, что невозможно сегодня, но не противоречит известным законам физики. В этом или следующем столетии могут реализоваться "поля силы", невидимость, фазеры и звезды смерти, телепортация, телепатия, психокинез, роботы, НЛО, инопланетяне, звездолеты, антиматерия и антимир.

Невозможное второго типа — это технологии, которые находятся на грани нашего понимания физического мира и могут быть реализованы через тысячи или миллионы лет: это и перемещение со сверхсветовой скоростью, и путешествие во времени, и прочее.

Невозможное третьего типа — это технологии, которые противоречат известным законам физики. Если они окажутся возможными, это будет озна-

чать фундаментальный сдвиг в нашем понимании физики.

Вот такие прогнозы, в которых сквозит вера в возможности человечества. Кстати, великий русский поэт Александр Блок однажды сказал: "...и невозможное возможно..."

Мы же теперь коснемся упомянутых в прошлый раз "шероховатостей" на пластах научных знаний.

Клеточная память

Медиками зафиксировано, как после операции жительница Массачусетса, боявшаяся высоты, стала альпинистом, адвокат из Миллуоки, ненавидевший сладкое, полюбил шоколадные батончики, а семилетняя девочка после пересадки сердца стала видеть по ночам кошмары, в которых становилась жертвой убийцы.

Один из "свежих" случаев, подтвердивший существование "феномена клеточной памяти", произошел с 37-летней Черил Джонсон из города Престон. По ее словам, донорская почка, которую ей пересадили в мае прошлого года, "подарила" ей некоторые привычки ее прежнего владельца. Причем изменились не только поведение и манера общения, но даже литературные вкусы — от не требующих высокого интеллектуального уровня бульварных романов она перешла к произведениям Достоевского и других классиков. Ученые подтверждают, что перемены, которые происходят с реципиентами донорских органов, действительно возможны, более того — таких примеров зафиксировано предостаточно. Как, впрочем, и объяснений...

Память поля

Оказывается, памятью обладает все окружающее нас. В Воронеже руководитель лаборатории по изучению аномальных явлений Генрих Силанов с помощью специальной аппаратуры фиксирует слепки прошлого, на фотографиях проявляются изображения (люди, предметы, природа) из других времен [2]. Это явление он назвал "памятью поля".

Все богатство красок видимой нами Природы вмещается в небольшой интервал электромагнитных волн шириной 300 нм в диапазоне 400...700 нм. За его пределы можно проникнуть лишь со специальной аппаратурой. Силанов попробовал фиксировать на пленку места, где приборы регистрировали их аномальные "всплески". Причем использовал специальный, кварцевый объектив, линзу для которого выточил сам. Результаты оказались поразительными...

На первом же снимке появился автомобиль, которого во время съемки там не было. То есть осталось изображение автомобиля, который там стоял когда-то ранее. Через неделю снимали пустое пространство, а проявили — там фигуры двух человек. На одной из фотографий — головы солдат в касках времен второй мировой. Не очень понятно, правда, почему изображение "гуляет" по времени. Где-то остаются образы

недавних событий и предметов, а в другом — изображения минувших лет. Как будто все происходящее где-то "записывается", и при определенных, пока мало изученных условиях его можно "считывать"... За несколько лет фотографирования в невидимом спектре накопилась масса снимков, которые не вписываются в рамки современной науки. Удалось даже снимки "прошлого" события в его динамической последовательности. И вот уже не такой фантастичной выглядит идея создания видеокамеры, позволяющей снимать прошлое.

По мнению ученого, проявлением феномена памяти поля можно объяснить и чрезвычайно редкое явление, когда на фоне облаков люди иногда наблюдают военные сражения, незнакомые города и другие, непонятно откуда взявшиеся сюжеты. Например, две девушки — мисс Моберли и мисс Джордан — 10 августа 1901 г., прогуливаясь в саду Версаля, к своему удивлению увидели, что встречаются людей, одетых в костюмы времен Марии Антуанетты, как будто они заглянули в 1774 г. Аналогичный случай произошел на Гаити в конце 60-х годов с писателем, исследователем тайн природы И. Т. Сандерсоном, который описал его в своей книге "Еще кое-что". Возвращаясь на автомобиле с женой после поездки на озеро, он вдруг заметил, что пыльная дорога, проходящая по высокогорному плато, вдруг стала грязной, мокрой булыжной мостовой, а по возникшим перед глазами строениям и узким улочкам оба поняли, что находятся в средневековом Париже.

Перед прочтением — сжечь

Приведенные ниже сведения официальной наука старательно обходит стороной [3]. Согласно доминирующей ныне версии, Homo sapiens произошел в Африке около 100 тыс. лет назад. Но есть и другие мнения. Чего стоит, к примеру, история нашумевшей книги "Запретная археология", написанная американскими исследователями артефактов Майклом Кремо и Ричардом Томпсоном. В ней описаны и проанализированы случаи обнаружения таких потрясающих находок, которые доказывают, что современный человек появился намного раньше, чем это следует из общепринятой хронологии.

Однажды перуанский фермер обнаружил более 10 тыс. так называемых "каменной ики", на которых были выгравированы совершенно невероятные сцены, где люди боролись с динозаврами, сидели за телескопами, выполняли сложные хирургические операции и т. д. Дабы не менять в корне представления об истории эволюции человечества, "научные авторитеты" объявили эти артефакты подделкой, а полуграмотного фермера едва не уперли за решетку. Позже Вирджиния Макинтайр из Федеральной геослужбы США была командирована в Мексику для уточнения возраста камней. Использовалось самое современ-

ное оборудование, возраст артефактов определялся четырьмя разными способами, чтобы четырежды убедиться в результатах. Археологи считали, что найденным предметам около 22 тыс. лет, и просто хотели получить научное подтверждение. Однако возраст артефактов оказался 250 тыс. лет! После этого Макинтайр дали конкретно понять, что ей "лучше отказаться от своих заблуждений". Упрямство было наказано: ее научные труды перестали печатать, а вскоре уволили из департамента и запретили преподавать. Собственно, ей повезло, что наше время вполне вегетарианское, ведь каких-то 300 лет назад с еретиками обходились немного по-другому.

Вот еще один характерный пример непризнания наукой доказательств, противоречащих общепринятым установкам. В Западном Китае антропологи идентифицировали в раритетных находках тип людей, принадлежавших к ранее неизвестной народности европейского типа, заселявших эти земли еще до появления первых императорских династий в Китае. Они были светловолосыми и голубоглазыми, носили одежду и обувь ярких расцветок. Открытие не вызвало оптимизма ни у ученых, ни у властей. Несмотря на то что в ряде случаев вместе с мумиями таинственных людей находили мумии обычных китайцев. Дабы не будоражить публику, захоронения просто закопали.

Несколько лет назад материалы указанной книги были использованы в вызвавшей потрясение в научных кругах передаче NBS "Тайна происхождения человека". В адрес авторов хлынул поток писем от разгневанных святил науки с обвинениями в мистификации, не говоря уже о попытке запрета дальнейшего показа федеральной комиссией по связи (FCC).

Помимо этого, существуют многочисленные свидетельства "чудес", в которые официальная наука вообще старается не вникать. Вот, к примеру, Италия 1972 г. — по всей стране источают слезы и кровь иконы и статуи Мадонны: плачущая статуя близ Ассизи в Калабрии, плачущая картина в Адриа-Ровиго, в Бергамо, Салерно, Флоренции и Сан-Витторио. Вообще-то существует достаточно много подобной информации.

А еще существует молоток возрастом 140 млн лет, найденный в куске известняка в Техасе в 1934 г., причем состав металла нехарактерен для современной металлургии. Золотая цепочка тонкой работы была найдена в куске угля возрастом 260 млн лет в 1891 г. в Иллинойсе. В 1974 г. в Румынии рядом с костями вымершего 1 млн лет назад мастодонта обнаружена деталь неизвестного механизма из алюминиевого сплава. В 1978 г. в Танзании обнаружены окаменевшие следы практически "современного человека" возрастом свыше 3,5 млн лет. А еще был железный болт в куске кремния из Калужской области возрастом 300 млн лет. И много еще чего было и есть, о чем пишут разные "мошенники" и "шарлатаны", пона-

прасну отвлекая просвещенных современников от священного процесса потребления.

Древние знания

Поток информации, идущий к нам из глубин тысячелетий, поражает своим высоким уровнем. И сколько ни углубляемся в историю ранних цивилизаций, сталкиваемся с одним и тем же феноменом: знания высокого уровня присутствуют везде в "готовом" виде и подчас без какого-либо технологического намека на то, что мы называем доказательствами. Как будто эти "готовые" знания были рождены в какие-то другие времена. И все попытки проследить ход возникновения того или иного знания в древнем мире приводят к тому, что мы можем разглядеть лишь вершину "древа познания", в лучшем случае — крону, но не видим ствола и корней [4].

Когда Европа едва считала по пальцам, народы Междуречья уже оперировали в своих вычислениях бесконечно большими величинами. Кубические, биквадратные уравнения, отрицательные и трансцендентные числа, кривые третьего и четвертого порядков и т. п. — все это знали и в Индии, и в Китае за тысячи лет до греков... А египтянам было известно не только, что Земля — шар, но и то, что она вращается в пространстве, подчиняясь тем же законам, что и другие планеты солнечной системы. Открытый в XVII веке Уильямом Гарвеем закон кровообращения был известен им более 6 тыс. лет назад так же, как функции сердца и мозга.

Халдейские источники трехтысячелетней давности утверждают, что радиус земного шара — 6310,5 км. По последним данным, он равен 6371,03 км (незначительная разница объяснима сегодня гипотезой о расширении Земли). Календарь майя был рассчитан на длину солнечного года 365,2420 дня. Современными учеными подсчитано: для достижения подобной точности движения светил их следует наблюдать не менее 10 тыс. лет!

Шесть тысячелетий назад протоиндейцы считали, что причина болезней — это бактерии, о которых мы узнали лишь после изобретения микроскопа. Разделяя пространство на 360 градусов, а время — на 60 минут и секунд, мы продолжаем традицию Шумера (3—4 тыс. лет до н. э.), в основе которой — концепция о единстве пространства и времени. Египтяне 6 тыс. лет назад имели точные знания о магнитных полюсах-планеты...

Современные представления о строении материи на самом деле, в глубинном ее уровне, очень близки по своей сути к теории Демокрита, датирующейся V веком до н. э. Сегодняшние взгляды на бесконечность и дискретность пространства и времени были сформулированы Эпикуром в IV веке до н. э. Современник Эпикура Теофраст говорил о химической войне и химической взаимопомощи растений. Мы поняли это лишь в 30-х годах XX века, с открытием фитонцидов. У

Эмпедокла (V век до н. э.) существовал разделенный генезис флоры и фауны, а учение Галена о происхождении человека от человекообразных обезьян на два тысячелетия предвосхитило Дарвина...

В чем же парадокс? В том, что вопреки логике глубокие и верные, с точки зрения сегодняшней науки, знания о теории принадлежат не позднейшим мыслителям (Птолемей, Аристотель и др.), а их ранним предшественникам — Фалесу, Солону, Анаксагору, Гераклиту, Пифагору... Они дали мощный импульс зарождению греческой науки, что нередко объясняется их приобщенностью к "тайным" знаниям, полученным в древнем Египте, Месопотамии, Индии, Тибете — государствах, интеллектуальный потенциал которых до сих пор не познан.

Действительно, все свои открытия в астрономии и математике первый корифей греческой науки Фалес Милетский сделал после посещения Египта и Месопотамии. То же самое можно сказать о Демокрите, изучавшем астрономию у египетских жрецов и вавилонян, а медицину — у индийских йогов. Гераклит, проведя несколько лет в Персии, первым сформулировал нам диалектическое миропонимание, сказав, что в основе всего — непрерывная борьба противоположностей, образующих высшее единство — гармонию мира.

Что же касается загадочной, даже для его современников, фигуры Пифагора, принесшего грекам учение о числе как о скрытой сути вещей, то он не только объездил многие страны Востока и Азии, но, проведя 22 года в Египте, был принят в касту жрецов, пройдя для посвящения невероятные испытания воли. Посвященные во вращались из своих странствий с готовой доктриной, теорией, системой. Часто они говорили о непостижимых вещах, которые оставались непонятными не только современникам, но и потомкам на протяжении тысячелетий...

Невероятные совпадения

Существует информация, которая вообще трудно поддается осмыслению. Ниже приведена лишь малая толика совпадений, почерпнутых на просторах Интернета.

Пятого декабря 1664 г. у побережья Уэльса затонул пассажирский корабль. Погибли все члены экипажа и пассажиры, кроме одного. Счастливчика звали Хью Уильямс. Пятого декабря 1785 г., на этом же месте опять было крушение, и вновь спасся единственный человек по имени... Хью Уильямс. В 1860 г., опять-таки пятого декабря, здесь же пошла ко дну рыбацкая шхуна, а единственного спасшегося рыбака звали Хью Уильямс!

Людovicу XVI предсказали, что он умрет 21-го числа. Перепуганный король 21-го числа каждого месяца заперся в спальне, никого не принимал, не назначал никаких дел. Но 21 июня 1791 г. Людовика и его жену

Марию-Антуанетту арестовали. 21 сентября 1792 г. во Франции была провозглашена республика и отменена королевская власть. А 21 января 1793 г. короля казнили.

Однажды в лондонском Гринберри-Хилле были повешены трое убийц. Их фамилии: Грин, Берри и Хилл.

В 1944 г. газета "Дейли телеграф" напечатала кроссворд, содержащий все кодовые названия секретной операции по высадке союзнических войск в Нормандии. В кроссворде были зашифрованы слова: "Нептун", "Юта", "Омаха", "Юпитер". Разведка, конечно, "встала на уши", но составителем кроссворда оказался старенький школьный учитель, не меньше спецслужб озадаченный столь невероятным совпадением (впрочем, даже если бы он был законспирированным штурмбанфюрером СС, то зачем публиковать-то?).

Пожалуй, лишь сама жизнь вправе так "расправляться" со временем и человеческими судьбами.

Следы "другой" технологии

Кстати, если представить себе цивилизацию, которая использует принципиально другой способ познания мира (информационное общество другой природы) и развивается отнюдь не по пути усложнения механизмов, то материальные следы ее присутствия так не будут найдены. Вычислить ее существование можно только по нематериальным следам — наличию знаний, обретенных словно бы ниоткуда или необъяснимой мудрости (как, например, в древнем Шумере). А теперь пару слов по поводу чудес.

Помимо трех известных законов двух Исааков (Ньютона и Азимова) существуют три закона Артура Кларка:

1. Если заслуженный, но пожилой ученый заявляет, что нечто возможно, он, скорее всего, прав. Когда же он заявляет, что это невозможно, он, вероятнее всего, ошибается (в физике, математике и астрофизике Кларк считал "пожилым" ученого после 30 лет, а в других областях — после 40).

2. Единственный путь обнаружения пределов возможного состоит в том, чтобы сделать шаг в невозможное.

3. Любая развитая технология неотличима от волшебства.

Ну раз такое дело, то где "волшебство" — там и "чудо"... О том, какие "чудеса" подвластны непосредственно человеку, поговорим в следующий раз.

ЛИТЕРАТУРА

1. Завтра глазами сегодня. — <<http://www.newsland.ru/News/Detail/id/241215/cat/69/>>.
2. Арутюнов Г. О чем помнит поле. — Природа и человек (Свет), 1998, № 1.
3. Кремо М., Топсон Р. Неизвестная история человечества. Запрещенная археология. — М.: Философская книга, 1999.
4. Гречаник Н. "Интересная газета. Магия и мистика", 2008, № 19.

ТОКАРЕВ Н. Универсальный блок регуляторов на микросхеме LM1040. — Радио, 2007, № 3, с. 16, 17.

Печатная плата.

Чертеж возможного варианта печатной платы устройства представлен на **рис. 1**. На ней размещены все детали, кроме переменных резисторов R6, R8, R12, R13. Плата рассчитана на установку микросхемы LM1040N (в корпусе MDIP N24A), постоянных резисторов МЛТ, пленочных конденсаторов К73-17 (C1—C3, C9, C11) и К73-9 (C5, C6), керамических К10-17 (C8, C12, C15—C17) и оксидных серии ТК фирмы Jamicon (остальные). Каждый из конденсаторов C9, C11 составлен из двух: емкостью 0,33 (C9', C11') и 0,068 мк (C9'', C11'').

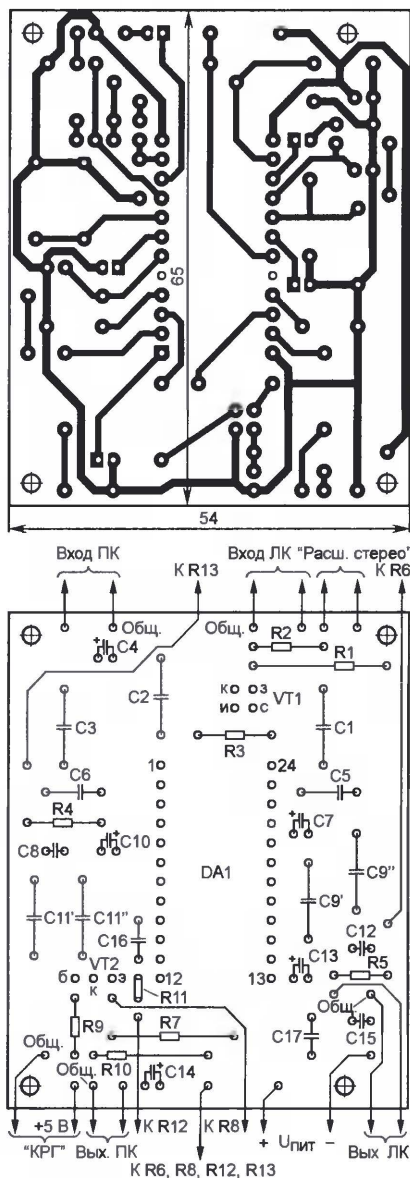


Рис. 1

ГАСАНОВ Р. Автомат для подачи звонков. — Радио, 2008, № 8, с. 44, 45.

О печатной плате и трансформаторе Т1.

Устройство можно смонтировать на печатной плате, чертеж которой изображен на **рис. 2**. На ней размещены все детали, кроме трансформатора Т1 и выключателей SA1, SA2. Плата рассчитана на применение постоянных резисторов МЛТ, подстроечного СПЗ-19а, керамических конденсаторов КТ-1, КД-1 (C1, C3) и оксидных серии ТК фирмы Jamicon (остальные), кварцевого резонатора в миниатюрном цилиндрическом корпусе МТФ38. Диоды VD1—VD5 — 1N4005, реле К1 — РЭН34 исполнения ХП4.500.000-01 (сопротивление обмотки — 288...352 Ом, ток срабатывания — 40 мА). Конденсатор C6 (КМ емкостью

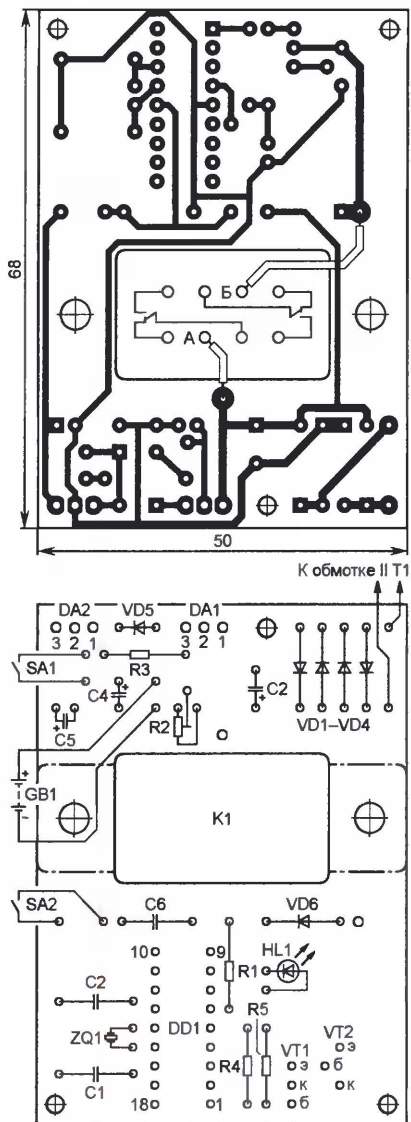


Рис. 2

0,047—0,068 мкФ) — блокировочный в цепи питания микросхемы DD1.

Во избежание выхода микроконтроллера из строя во время пайки, а также для удобства замены его в процессе эксплуатации рекомендуется использовать 18-гнездную панель. Реле на плате закрепляют винтами М4 с гайками. Выводы его обмотки (на рис. 2 обозначены буквами А и Б) соединяют с соответствующими контактными площадками отрезками монтажного провода. Нагрузку (звонки) подключают к выводам контактов реле проводами соответствующего сечения.

Для питания устройства пригоден любой понижающий трансформатор с вторичной обмоткой на напряжение 12...13 В при токе нагрузки не менее 250 мА. Подойдут, например, унифицированные трансформаторы ТН1-127/220-50, ТН3-127/220-50, ТН4-127/220-50 и их модификации, предназначенные для работы только от сети напряжением 220 В. Обе вторичные обмотки этих трансформаторов включают последовательно, для чего вывод 8 соединяют с выводом 9, переменное напряжение 12,6 В снимают с выводов 7 и 11. Сетевое напряжение 220 В подают на выводы 1 и 5 (при этом у трансформаторов, рассчитанных на два напряжения сети, соединяют выводы 2 и 4).

ОБРАТИТЕ ВНИМАНИЕ

НЕЧАЕВ И. Радиоканал охранной сигнализации на базе радиостанции "Урал". — Радио, 1999, № 5, с. 29—31 (редактор — О. Долгов).

На схеме сторожевого устройства (см. рис. 2 в статье) транзистор VT1 — КТ972Б.

МУРАДХАНИЯ Э. Управляемый инвертор для питания трехфазного двигателя. — Радио, 2004, № 12, с. 37, 38 (редактор — А. Долгий).

На схеме инвертора (см. рис. 2 в статье) выводы 6 и 14 микросхемы DD4 должны быть соединены с общим проводом ($-U_{\text{рег}}$).

БАШИРОВ А., БАШИРОВ С. Простой четырехканальный усилитель с микроконтроллерным управлением. — Радио, 2008, № 9, с. 9—12 (редактор — В. Фролов).

На схеме блока управления (см. рис. 1 в статье) контакты 2 и 3 разъема Х4 должны быть соединены с выводом 1 микросхемы DA1.

ОЗОЛИН М. Электронный предохранитель с цифровым индикатором. — Радио, 2008, № 10, с. 27, 28 (редактор — И. Нечаев).

На чертеже печатной платы устройства (см. рис. 2 в статье) проводник, идущий от контактной площадки под вывод 13 микросхемы DD1, должен быть соединен с правым (по рисунку) выводом кнопки SB1 (а не с левым, как показано на чертеже).

Редактор — В. Фролов, графика — В. Фролов

LeCroy ОСОБЕННОСТИ ИСПОЛЬЗОВАНИЯ ОСЦИЛЛОГРАФОВ WaveAce

В статье представлен модельный ряд осциллографов серии WaveAce компании LeCroy (США) — технические возможности, функциональность при эксплуатации и обработке данных, особенности применения.

Компания LeCroy, хорошо зарекомендовавшая себя в производстве высокоэффективных и производительных моделей цифровых запоминающих осциллографов, расширила свой модельный ряд выпуском серии WaveAce (WA) из шести бюджетных цифровых осциллографов. Серия WaveAce представляет собой линейку современных недорогих (цена от 48350 руб.) и удобных в эксплуатации компактных двухканальных осциллографов с полосой пропускания 60, 100, 200, 300 МГц для разных моделей.

Высокая частота дискретизации осциллографа в реальном времени (максимум до 2 ГГц), возможность изменения полосы пропускания, наличие стандартных и прикладных режимов сбора информации (усреднение, послесвечение, пиковый детектор, цифровой регистратор), широкое меню видов и условий синхронизации упрощают захват даже сложных сигналов. Осциллографы выполняют автопоиск сигнала, автоматическую установку коэффициента развертки, коэффициента вертикального отклонения и уровня запуска в полосе частот от 10 Гц до верхней частоты полосы пропускания. В осциллографах имеется возможность блокировки запуска развертки при наступлении условий синхронизации на время от 100 нс до 1,5 с. Входные каналы моделей WA 222 и WA 232 имеют переключаемое сопротивление 50 Ом/1 МОм, что обеспечивает согласование нагрузки при необходимости и снимает ряд ограничений на подключение пассивных пробников. Все перечисленные выше достоинства в совокупности делают WaveAce ценным инструментом для разработки электронно-цифровых устройств, отладки трактов и поиска неисправностей. На фото **рис. 1** показана модель WaveAce 102.

Широкий выбор полосы пропускания осциллографов серии WaveAce в сочетании с большой скоростью выборки и длиной внутренней памяти от 4 до 18 кбайт делает их лидерами в своем классе. Объем памяти позволяет осуществлять захват и запись входных сигналов с максимальной частотой дискретизации длительностью, в 2—3 раза большей, чем у аналоговых осциллографов других производителей.

Автоматические измерения. Встроенные 32 автоматические функции измерения, включая такие, как измерение временных задержек между сигналами, разности фаз между двумя сигналами и другие измерения между фронтами сигнала, дают расширенные возможности

пользователю для анализа формы входных сигналов и обнаружения артефактов. Комплекс автоматических измерений в стандартных ситуациях сокращает число необходимых манипуляций и общее время операций, связанных с настройкой курсоров в ручном режиме. Это касается таких измерений, как время нарастания, спада, размаха амплитуды и т. д.

Режим "Таблица". Интересное решение разработчиков заключается в том, что при необходимости можно обеспечить режим отображения на экране *таблицы всех измерений* (одновременно до 32-х параметров). Причем этот режим доступен как при анализе действующего сигнала, так и при исследовании выведенной из памяти осцил-

производится с закрытием полезной площади. Но даже при этом доступно примерно 20 % видимой части экрана для наблюдения формы сигнала. Смена отображения табличной информации по разным входным каналам (Канал 1 или Канал 2) производится циклически всего одним нажатием на кнопку "Источник".

Контекстные подсказки и всплывающие сообщения обеспечивают максимальную гибкость и удобство в работе с прибором. Например, если по какой-то причине параметр не может быть корректно вычислен, то в информационной строке появится предупреждающий символ "*****", что позволяет сделать вывод о его текущем состоянии и скорректировать дальнейшие действия.

Дополнительные функции. Режим пикового детектора — еще один исследовательский ресурс, имеющий важное прикладное значение. Он используется для обнаружения всплесков длитель-

ностью не менее 10 нс и снижения вероятности возникновения искажений при отображении сигнала. Данный режим может эффективно использоваться при положении переключателя коэффициента развертки от 5 мкс/дел. и более.

Среди дополнительных ресурсов и возможностей — сегментированная развертка в режиме "цифрового магнитофона" на 2500 кадров, функция допускающего контроля (с выдачей исполнительного сигнала "Годен/Не годен"). Цифровые фильтры, в том числе и программируемые пользователем, упрощают поиск и значительно сокращают время отладки различных радиотехнических устройств.

Новая серия от LeCroy призвана расширить применение современных цифровых осциллографов в сфере образования, а также делает доступным переход с устаревших аналоговых осциллографов на более современные цифровые модели в сегментах промышленного производства электроники, для регулировки цифровых трактов радиоборудования, сопровождения научных разработок РЭА и на предприятиях сервиса.



Рис. 1

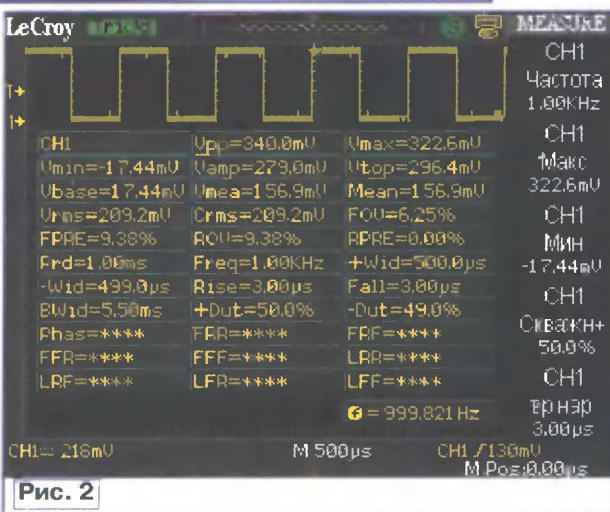


Рис. 2

логаммы. Таблицу можно формировать по принципу "Все измерения" ("All Mea") или "Параметр по выбору" из трех групп: напряжение/ время/ задержка.

При выводе полной таблицы в режиме "Все измерения/ Канал 1" (скриншот на **рис. 2**) отображение осциллограмм

Подробные технические характеристики приборов можно найти на сайте <WWW.prist.ru>. Консультации по вопросам измерительной техники — по тел. (495) 777-55-91 и по e-mail <info@prist.com>.



ИСТОЧНИКИ ПИТАНИЯ

- Постоянного и переменного тока
- Одно- и многоканальные (до 4 каналов)
- Импульсные и линейные
- Малой (до 100 Вт), средней (до 200 Вт) и большой (до 1000 Вт) мощности
- Цифровая и аналоговая индикация
- 2-х и 4-х проводная схема подключения нагрузки
- Самодиагностика
- Дистанционное управление
- Интерфейсы USB, RS-232, GPIB, LAN
- Приборы внесены в Госреестр



Москва, ул. Орджоникидзе, д. 8/9;
Факс: (495) 633-85-02;
prist@prist.ru

777-5591

www.prist.ru

Журнал «Радио» предлагает набор для радиолюбителей «USB программатор микроконтроллеров AVR и AT89S, совместимый с AVR910»

Уважаемые читатели журнала «Радио», редакция совместно с ООО «Чип набор» распространяет набор для радиолюбителей «USB программатор микроконтроллеров AVR и AT89S, совместимый с AVR910», описание которого опубликовано в статье А. Рыжкова («Радио», 2008, № 7, с. 28, 29).

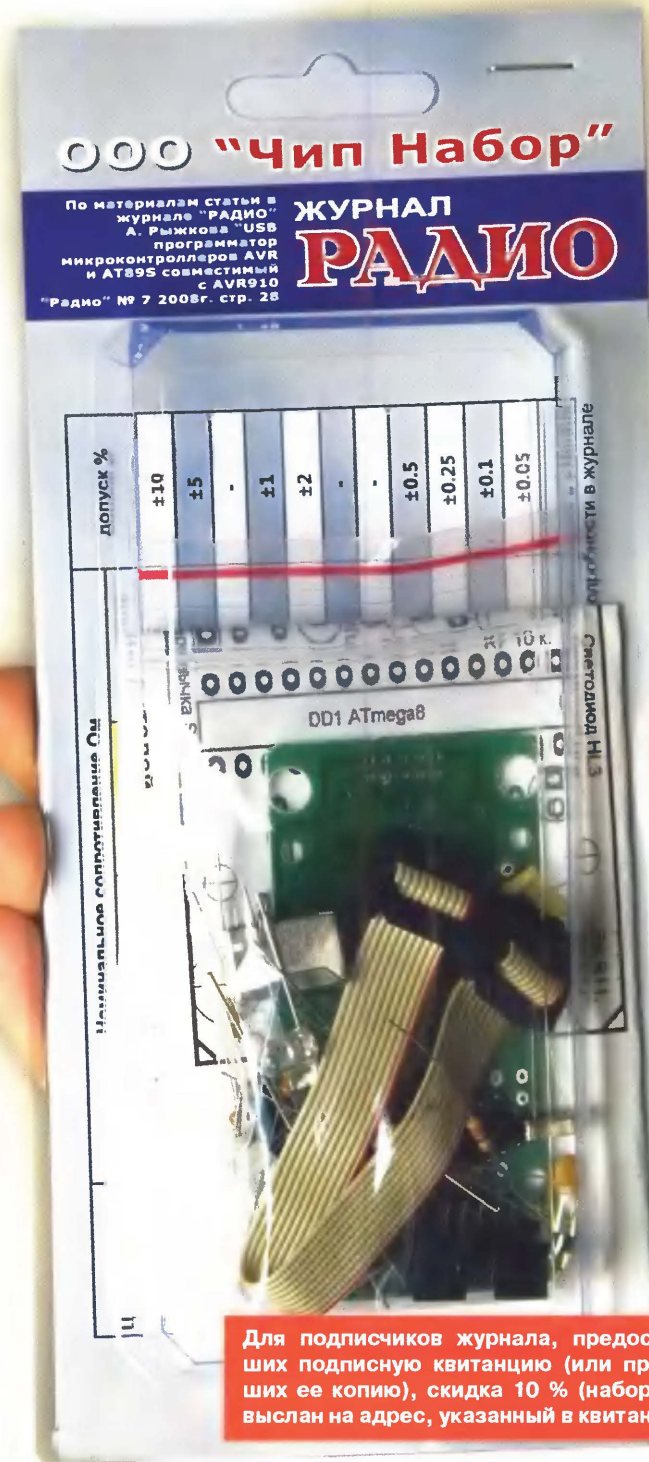
При изготовлении набора учтены пожелания читателей, и программатор соответствующим образом доработан.

Стоимость набора в редакции (в скобках — с отправкой по почте ценной бандеролью по России):

1. Набор для сборки "USB программатор" — 500 руб. (602 руб.);
2. Набор для сборки "Переходник для программирования МК ATmega" — 150 руб. (235 руб.);
3. Корпус — 70 руб. (152 руб.);
4. Кабель соединительный "USB A-B 1,5 метра" — 70 руб. (152 руб.).

Стоимость всего комплекта (четыре наименования) с отправкой по почте ценной бандеролью по России — 906 руб.

Более подробную информацию об условиях приобретения набора можно получить по тел. (495) 608-81-79 или по электронной почте <sale@radio.ru>.



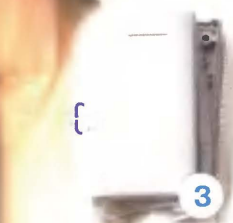
ООО «Чип Набор»

По материалам статьи в журнале «РАДИО» А. Рыжкова «USB программатор микроконтроллеров AVR и AT89S совместимый с AVR910» «Радио» № 7 2008г. стр. 28

ЖУРНАЛ РАДИО

допуск %	±10	±5	-	±1	±2	-	±0.5	±0.25	±0.1	±0.05
Исполнительное сопротивление Ом										
Сметовая плата										

Для подписчиков журнала, предоставивших подписную квитанцию (или приславших ее копию), скидка 10 % (набор будет выслан на адрес, указанный в квитанции).



«USB программатор микроконтроллеров AVR и AT89S, совместимый с AVR910» в собранном виде.

Редакция журнала планирует выпустить еще несколько наборов, и нам интересно ваше мнение.

Присылайте свои пожелания в редакцию по обычной или электронной почте <mail@radio.ru> с пометкой на конверте или в теме электронного письма: «Радио»-набор, о том, какие устройства из описанных в журнале вы хотели бы приобрести в виде наборов.